

2006

SECRETÁRIA  
DE  
PÓS-GRADUAÇÃO  
I. B.

UNIVERSIDADE ESTADUAL DE CAMPINAS - UNICAMP  
INSTITUTO DE BIOLOGIA  
DEPARTAMENTO DE GENÉTICA MÉDICA

**ESTUDO MOLECULAR DE UMA SEQÜÊNCIA  
DE DNA ISOLADA DO CROMOSSOMO Y  
HUMANO**

**EDI LÚCIA SARTORATO**

**Orientador: Profa. Dra. SOLANGE BENTO FARAH**

Dissertação apresentada ao Instituto de Biologia da Universidade Estadual de Campinas (UNICAMP) para a obtenção do grau de Mestre em Ciências Biológicas, área de concentração Genética Humana.

Este exemplar corresponde à redação final  
da tese defendida pelo (a) candidato (a)

Edi Lúcia Sartorato

e aprovada pela Comissão Julgadora.

1994

Solange Farah

UNICAMP  
BIBLIOTECA CENTRAL

UNIDADE	IB
N.º CHAMADA:	T UNICAMP
V.	Ex.
TOMBO	50/23962
PROC.	438151
C	<input type="checkbox"/>
D	<input checked="" type="checkbox"/>
PREÇO	R\$ 11,50
DATA	14/10/94
N.º CPD	CM.00067644-4

Sartorato, Edi Lucia  
 Sa77e      Estudo molecular de uma seqüência de DNA isolada do cromossomo  
 Y humano / Edi Lucia Sartorato. - - Campinas, SP : [s.n.], 1994.

Orientador : Solange Bento Farah.  
 Dissertação (mestrado) - Universidade Estadual de Campinas.  
 Instituto de Biologia.

1. Cromossomo Y. 2. Sondas DNA. 3. Regiões promotoras  
 (genética). I - Farah, Solange Bento. II. Universidade Estadual  
 de Campinas. Instituto de Biologia III. Título.

20. CDD -574.873 22 - 574.873 28  
 -575.1

#### Índices para catálogo sistemático:

1. Cromossomo Y 574.873 22
2. Sondas DNA 574.873 28
3. Regiões promotoras (genética) 575.1

*ao meu avô,  
Valentim,  
in memoriam*

## **AGRADECIMENTOS**

À Profa. Dra. Solange Bento Farah, Departamento de Genética Médica, FCM, Unicamp.

À Profa. Dra. Christine Hackel, Departamento de Genética Médica, FCM, Unicamp.

Ao Prof. Dr. Walter Pinto Jr., Departamento de Genética Médica, FCM, Unicamp.

À Profa. Dra. Anete Pereira de Souza, Departamento de Genética e Evolução, IB, Unicamp.

Ao Prof. Dr. Bernardo Beiguelman, Departamento de Genética Médica, FCM, Unicamp.

Ao Prof. Dr. Paulo Arruda, Coordenador do Centro de Biologia Molecular e Engenharia Genética, Unicamp.

À Profa. Dra. Andréa Trevas Maciel Guerra, Departamento de Genética Médica, FCM, Unicamp.

À Profa. Dra. Laura Maria Mariscal Ottoboni, Centro de Biologia Molecular e Engenharia Genética, Unicamp.

À Profa. Dra. Carmem Silvia Bertuzzo, Departamento de Genética Médica, FCM, Unicamp.

Ao Prof. Dr. Adilson Leite, Centro de Biologia Molecular e Engenharia Genética, Unicamp.

Ao Prof. Dr. Horálio Schneider da Universidade Federal do Pará.

Aos professores do Departamento de Genética Médica, FCM, Unicamp.

Aos professores do Centro de Biologia Molecular e Engenharia Genética, Unicamp.

Aos funcionários, alunos, estagiários e residentes do Departamento de Genética Médica, FCM, Unicamp.

Aos funcionários, alunos e estagiários do Centro de Biologia Molecular e Engenharia Genética, Unicamp.

À Cláudia de Lourdes Soraggi, Departamento de Bioquímica, IB, Unicamp.

Ao Emilton da Diretoria de Recursos Didáticos, FCM, Unicamp.

À diretoria da Faculdade de Ciências Médicas, Unicamp.

Às secretárias da Sub-comissão da Pós-graduação em Genética, IB, Unicamp.

Às minhas amigas de sempre, Ercília e Mirna.

Ao Sr. Tercílio Ventura e Sra. Rosária Corrêa Ventura.

Aos meus pais e meus irmãos.

## **AGRADECIMENTOS ESPECIAIS**

Ao meu marido **Alejandro**, que com carinho, amor e paciência fez possível a realização desse trabalho.

À minha filha **Luna**, que com sorrisos, beijos, choros, brincadeiras... deu mais cor à minha vida.

## ABREVIATURAS

°C - graus Celsius  
μg - micrograma  
μl - microlitro  
12E7 - anticorpo monoclonal  
ACTGP2 - pseudogene relacionado com o gene gama-actina do citoesqueleto  
AI - amelogênese imperfeita  
Amp - ampicilina  
AMG - gene relacionado com desenvolvimento dentário  
AMGL - pseudogene localizado no cromossomo Y relacionado com o gene AMG  
ASSP6 - pseudogene relacionado com a enzima arginosuccinato sintetase  
AZF - fator de azoospermia  
*Bkm* - banded krait minor satellite DNA  
bp - pares de base  
CAT - gene que codifica a enzima cloranfenicol acetil transferase  
cDNA - ácido desoxiribonucleico complementar  
cen - centrômero  
cm - centímetros  
CSF2R - gene para receptor GM-CST  
ddNTPs - didesoxinucleotídeos trifosfatos  
DNA - ácido desoxiribonucleico  
dNTPs - desoxiribonucleotídeos trifosfatos  
DO - densidade ótica  
DTT - ditioteírol  
EDTA - ácido etilenodiaminetetracético  
eIF-3 - fator de iniciação  
EMBL - European Molecular Biology Laboratory  
g - grama  
GBY - locus gonadoblastoma do cromossomo Y  
GCY - gene relacionado com fator de crescimento  
GenBank - Genetic Sequence Data Bank  
GM-CSF - fator de estimulação de colônia granulócito-macrófago  
HMG - high mobility group  
hUBF - fator de transcrição  
H-Y - antígeno de histocompatibilidade  
kb - quilobase  
l - litro  
LB - meio de cultura Luria-Bertani

LINEs - *long interspersed elements*  
M - molaridade  
Mb - megabase  
Mc - proteína requerida na fissão de leveduras  
MES - ácido 2-N[ -morfolino] etano sulfônico  
mg/ml - miligramas por mililitro  
MIC2 - gene que codifica um antígeno de superfície celular  
ml - mililitro  
N - normalidade  
ng - nanogramas  
nm - nanômetros  
ORF - cadeia aberta de leitura de aminoácidos  
PAR - região pseudoautossômica  
q.s.p. - quantidade suficiente para  
RNA - ácido ribonucleico  
rpm - rotações por minuto  
RPS4 - gene que codifica proteína ribosomal  
SDS - dodecil sulfato de sódio  
SINEs - *short interspersed elements*  
SRY - região de determinação sexual do cromossomo Y  
*Sry* - região de determinação sexual do cromossomo Y em camundongo  
STE - sódio/tris/EDTA  
STS - gene relacionado com a enzima esteróide sulfatase  
STS - sequence-target sites  
TAE - tris/ácido acético/EDTA  
TDF - fator de determinação testicular  
*Tdy* - fator de determinação testicular em camundongos  
TBE - tris/ácido bórico/EDTA  
TCF-1 - fator de transcrição  
TE - tris-EDTA  
TEMED - N, N, N', N' - tetrametiletilenodiamina  
tris - tris-(hidroximetil)-aminometano  
UV - ultra -violeta  
XE7 - gene relacionado com controle da estatura  
X-gal - 5-bromo-4-cloro-3-indolil-β-D-galactopiranósideo  
XIC - centro de inativação do cromossomo X  
YAC - cromossomo artificial de levedura  
Yp - braço curto do cromossomo Y  
Yq - braço longo do cromossomo Y

# ÍNDICE

<b>Introdução.....</b>	<b>1</b>
1. Estrutura do cromossomo Y .....	1
2. Papel do cromossomo Y na diferenciação sexual.....	5
3. Genes e pseudogenes no cromossomo Y.....	9
4. Seqüências no cromossomo Y .....	15
5. A seqüência Y-1.....	17
<b>Objetivos .....</b>	<b>20</b>
<b>Material e métodos .....</b>	<b>21</b>
1. Extração em larga escala do plasmídio pIBI-76 contendo o inserto Y-1.....	21
2. Isolamento dos subfragmentos Y-1.a, b1, b2 e c.....	22
3. Análise dos subfragmentos quanto à localização e especificidade.....	23
a. Extração, digestão e eletroforese do DNA genômico .....	24
b. Transferência pelo método de Southern.....	26
c. Marcação das sondas .....	25
d. Hibridização.....	26
4. Sequenciamento dos subfragmentos .....	27
a. Clonagem dos subfragmentos no plasmídio pUC19 .....	27
b. Preparação das células competentes.....	28
c. Transformação bacteriana.....	28
d. Seleção das colônias e mini-preparação.....	29
e. Reação de sequenciamento .....	29
e.1. Desnaturação .....	29
e.2. Anelamento .....	30
e.3. Reação.....	30
e.4. Preparação do gel .....	31
5. Análise das seqüências .....	32
6. Estimativa do número de cópias .....	32
7. Técnica de PCR.....	33
8. Conservação da seqüência Y-1 .....	34
a. Espécies utilizadas.....	34
b. Extração de DNA de sangue total de macacos .....	35
c. Extração de DNA de amostras de tecidos de coelho e camundongo .....	36

<b>Resultados e discussão.....</b>	<b>38</b>
1. Análise quanto à especificidade.....	38
2. Localização da seqüência no cromossomo Y .....	42
3. Estimativa do número de cópias .....	45
4. Homologias e conservação da seqüência .....	47
5. Sequenciamento do subfragmento Y-1.c, seleção dos <i>primers</i> e padronização da PCR .....	50
6. Pesquisa de regiões promotoras .....	53
<b>Conclusões .....</b>	<b>58</b>
<b>Resumo.....</b>	<b>60</b>
<b>Abstract .....</b>	<b>61</b>
<b>Bibliografia .....</b>	<b>62</b>
<b>Apêndice I.....</b>	<b>74</b>
<b>Apêndice II .....</b>	<b>78</b>

## ÍNDICE DAS FIGURAS E TABELAS

<b>Figura 1.</b> Cromossomo Y humano.....	1
<b>Figura 2.</b> Evolução da região pseudoautossômica.....	3
<b>Figura 3.</b> Subdivisão do intervalo 1 do mapa de Vergnaud .....	7
<b>Figura 4.</b> Principais genes e pseudogenes do cromossomo Y e seus homólogos no cromossomo X. ....	10
<b>Figura 5.</b> Mapa de restrição do fragmento Y-1. ....	18
<b>Figura 6.</b> Subfragmentos Y-1.a, Y-1.b1, Y-1.b2 e Y-1.c hibridizados com DNA genômicos de homem (46,XY) e mulher (46,XX) digeridos com as enzimas <i>Hind</i> III, <i>Eco</i> RI, <i>Bgl</i> II e <i>Hae</i> III. ....	39
<b>Figura 7.</b> Sonda Y-1.b1 hibridizada com DNA genômico de homem (46,XY) e mulher (46,XX) digeridos com <i>Hind</i> III em condições de baixa estringência. ....	40
<b>Figura 8.</b> Mapa de restrição do subfragmento Y-1.b2. ....	41
<b>Figura 9.</b> Subfragmento Y-1.b2B hibridizado com DNA genômico de homem (46,XY) e mulher (46,XX) digeridos com as enzimas <i>Hind</i> III e <i>Bgl</i> II.....	42
<b>Figura 10.</b> Esquema representativo mostrando a porção do cromossomo Y presente em cada linhagem celular e a localização das sondas utilizadas. ....	43
<b>Figura 11.</b> Sonda Y-1.c hibridizada com DNA genômico de homem (46,XY), mulher (46,XX), do paciente JPSN e do irmão do paciente JPSN, digeridos com a enzima <i>Eco</i> RI. ....	45
<b>Figura 12.</b> Hibridização da sonda Y-1.c com filtro contendo 100, 50, 20 e 1 cópia da seqüência Y-1, DNA genômico de homem (46,XY) e mulher (46,XX) digeridos com a enzima <i>Eco</i> RI. ....	46
<b>Figura 13.</b> Sonda Y-1.c hibridizada com DNA 46,YYYY, 46,XYY, 46,XY e 46,XX digeridos com a enzima <i>Eco</i> RI.....	47
<b>Figura 14.</b> Hibridização da sonda Y-1c com (a) espécies animais (b) espécies de macacos. ....	48

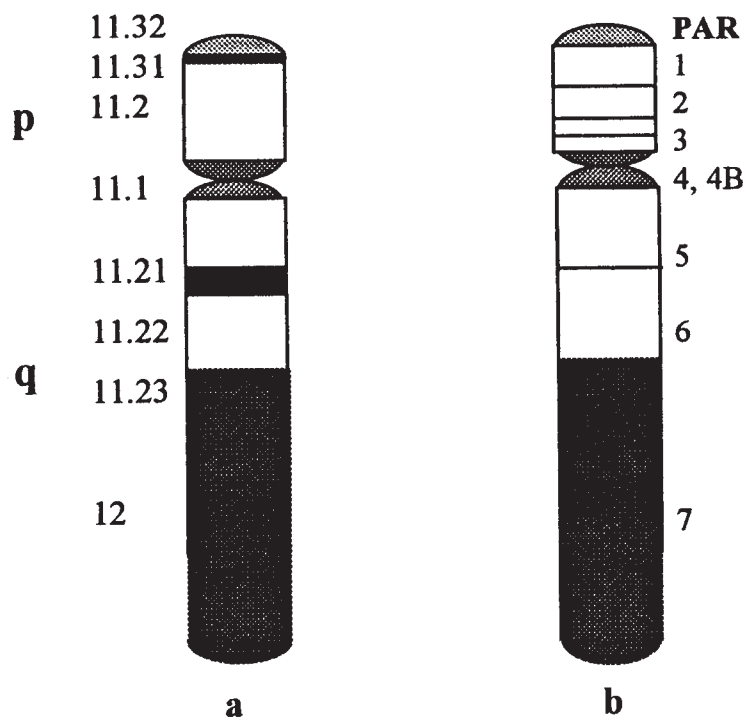
<b>Figura 15.</b> Resultado da reação de PCR .....	51
<b>Figura 16.</b> Seqüência Y-1.c mostrando os <i>primers</i> E1 e E2.....	52
<b>Figura 17.</b> Plasmídio pKK232-8 contendo o fragmento Y-1.b2 como inserto.....	54
<b>Figura 18.</b> Esquema das regiões promotoras encontradas na seqüência Y-1.b2.....	55
<b>Figura 19.</b> Seqüência Y-1.b2 contendo um trecho da seqüência do plasmídic pKK232-8. ....	57
<b>Tabela 1.</b> Cariótipo das linhagens celulares dos pacientes. ....	23
<b>Tabela 2.</b> Sondas Y-específicas utilizadas na análise das linhagens e dos pacientes... .	24
<b>Tabela 3.</b> Resultado das hibridizações do subfragmento Y-1.c com diferentes espécies.....	49

## *INTRODUÇÃO*

# INTRODUÇÃO

## 1. Estrutura do cromossomo Y:

O cromossomo Y é um dos menores cromossomos humanos, possui um tamanho estimado de 60 Mb compondo 1% do genoma de uma célula diplóide. Apresenta uma região heterocromática de tamanho variável, aparentemente sem atividade genética, que representa 50 a 70% do seu total de DNA. Localizada na parte distal do braço longo (Yq), esta região apresenta intensa fluorescência quando corada com quinacrina e observada sob luz UV (COOKE *et al.*, 1979; SCHEMPP & MÜLLER, 1982; CASPERSSON, *et al.*; 1970) (figura 1a).



**Figura 1 -** Cromossomo Y humano; a parte hachurada representa a região heterocromática; (a) bandas G; (b) intervalos do mapa de Vergnaud (VERGNAUD, *et al.*, 1986), PAR - Região pseudoautossômica.

A parte remanescente do cromossomo Y, ou seja, o braço curto (Yp), centrômero e eucromatina distal do braço longo, possui um tamanho mais constante nos indivíduos. Apresenta também, blocos de seqüências homólogas ao cromossomo X, famílias de seqüências Y-específicas repetidas e todos os seus outros genes.

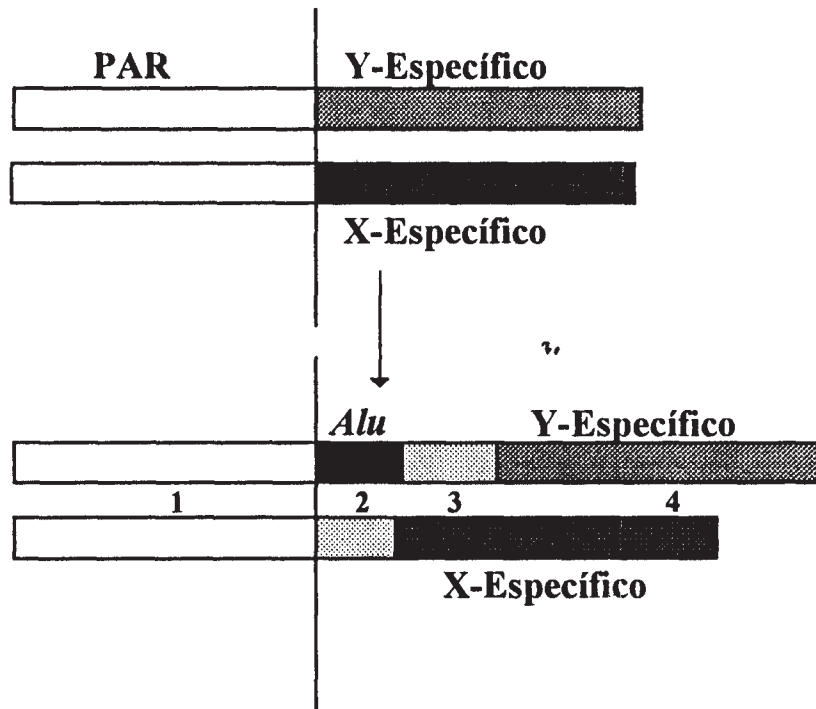
Embora observações morfológicas no cromossomo Y suscitem interessantes questões, o significado dessas observações só pode ser entendido após estudos moleculares do DNA contido neste cromossomo. Era intrigante o fato de que em fêmeas humanas, todos os cromossomos se emparelham com um homólogo de tamanho e conteúdo genético equivalente mas, os cromossomos X e Y formam um par heteromórfico com padrão de bandas diferentes onde uma pequena porção do cromossomo Y se emparelha com o cromossomo X, além do cromossomo X ser 2 a 3 vezes mais longo que o cromossomo Y. Esta porção de emparelhamento, situada no braço curto dos cromossomos X e Y, sofre recombinação obrigatória na meiose masculina (ROUYER, *et al.*, 1986). Os genes situados nesta região não são estritamente ligados ao sexo e determinam uma herança autossômica, desta forma o adjetivo pseudoautossômico foi introduzido para descrever esse comportamento genético.

A existência de uma região pseudoautossônica (PAR) foi observada pela primeira vez na meiose masculina pela formação de quiasmas na região de emparelhamento dos cromossomos sexuais (KOLLER & DARLINGTON, 1934). Este emparelhamento ocorre no paquíteno e envolve mais da metade do cromossomo Y, sendo a região de emparelhamento muito maior que a região de seqüências homólogas entre os dois cromossomos.

A PAR possui 2,6 Mb e através do seqüenciamento de 1 kb do DNA localizado no ponto de transição da PAR para seqüências cromossomo específicas, quatro regiões distintas foram descritas pela clonagem e estudo deste intervalo e de seqüências próximas:

1. a região pseudoautossônica, apresentando alta homologia entre os dois cromossomos X e Y com somente 2 bases diferentes em cada 245;
2. a inserção de um elemento *Alu* somente no cromossomo Y, sendo que a primeira base da seqüência *Alu* repetida no cromossomo Y é a primeira base que começa a diferir no cromossomo X;

3. uma região de 225 pares de base com homologia parcial (77%) entre os cromossomos X e Y;
4. finalmente, uma região sexo-específica que difere abruptamente entre os cromossomos X e Y (figura 2).



**Figura 2-** Evolução da região pseudoautossômica e sua estrutura atual.  
(ELLIS, *et al.*, 1989).

Uma outra região de homologia foi observada, envolvendo as regiões Xq/Yq. Esta região possui 0,4 Mb mas, nenhuma informação é disponível ainda a respeito de sua estrutura (FREIJE *et al.*, 1992).

Segundo ELLIS *et al.*, 1989, o elemento *Alu*, cujas evidências indicam ser derivado de retro-transposons, foi inserido no cromossomo Y há 25 milhões de anos. Estes dados combinam com a hipótese de que os cromossomos X e Y foram uma vez homólogos como autossomos, com um simples alelo para a determinação sexual (OHNO, 1967).

Por recombinação e acúmulo de mutações no proto-cromossomo Y, outros *loci* se envolveram na determinação sexual, restringindo a recombinação dos cromossomos X e Y. Resultou que a maioria das seqüências que estavam no

cromossomo Y tornaram-se extintas exceto os genes envolvidos na diferenciação sexual.

De acordo com a teoria da evolução, a seleção atua quantitativamente e qualitativamente sob os vários níveis de organização, seja à nível de genoma, indivíduo, espécie, etc. O fenômeno evolutivo observado é resultado de interações positivas e negativas entre os diferentes níveis. Segundo Müller, 1983, existe uma interação positiva em todos os níveis, no que diz respeito à diferenciação em ambos os sexos, favorecendo esta em relação ao hermafroditismo.

Especula-se muito, mas pouco é conhecido, acerca das pressões evolutivas que levaram à divergência do par autossômico que gerou os cromossomos sexuais. É vantajoso para qualquer animal ter cromossomos sexuais distintos, pois evita a recombinação entre eles. A presença dos cromossomos sexuais traz consigo, também, as vantagens da reprodução sexuada, ou seja, a variabilidade genética aumenta devido à recombinação entre os patrimônios genéticos dos progenitores. O aumento da variabilidade genética torna o indivíduo mais flexível às mudanças ambientais sendo a heterozigosidade em muitos casos vantajosa.

A PAR tende, entretanto, a se expandir por recombinação não homóloga, sendo necessários outros rearranjos durante a evolução, como por exemplo, um evento de inversão, para conter essa expansão. Esta região, portanto, poderá se expandir e (ou) contrair durante o processo evolutivo, por isso se apresenta em grande variabilidade entre as espécies (YEN *et al.*, 1988).

O cromossomo Y tem sido estudado ostensivamente pela sua importância, tanto à nível evolutivo quanto em relação ao seu papel na diferenciação sexual. Atualmente ele é dividido em 7 intervalos (VERGNAUD *et al.*, 1986), definidos arbitrariamente segundo padrões de hibridização, obtidos através de 23 fragmentos de restrição Y-específicos com o genoma de 27 indivíduos portadores de alterações estruturais nesse cromossomo.

Deste modo o braço curto (Yp) é dividido em quatro intervalos, excluindo a região pseudoautossômica. A parte eucromática do braço longo (Yq) contém os intervalos 5 e 6 e a parte heterocromática, o intervalo 7. Esta nomenclatura tem

sido utilizada sistematicamente pela maioria dos autores no estudo desse cromossomo (figura 1b).

A viabilidade de indivíduos com deleções no cromossomo Y, relativamente freqüente nas populações humanas, permitiu a construção de vários mapas físicos de deleção. Entretanto, um mapa físico completo deste cromossomo foi construído recentemente, baseado na detecção de STS (*sequence-target sites*), ou seja, pequenas seqüências alvo que são detectadas pela técnica de PCR e mapeadas em um ponto particular do genoma, onde o próprio STS funciona como referência (VOLLRATH *et al.*, 1992).

A ordem das seqüências geradas foi feita pela sobreposição de clones construídos em YAC (cromossomo artificial de levedura) como vetor. Os 160 STS foram obtidos através de centenas de seqüências do cromossomo Y não caracterizadas. Este mapa permite a comparação de mapas feitos por diferentes investigadores, além de sugerir uma interessante estratégia de mapeamento simplificando a análise dos *contigs* de YAC (FOOTE *et al.*, 1992).

## 2. Papel do cromossomo Y na diferenciação sexual:

Há muito tempo se conhece o papel do cromossomo Y na diferenciação sexual mas, o mecanismo pelo qual o sexo dos indivíduos é determinado, tem sido objeto de especulação desde os tempos de Aristóteles. Até 1900 pensava-se que o sexo dos indivíduos era decidido por fatores ambientais como a nutrição materna. Após a redescoberta das leis de Mendel ficou mais claro que em muitas, mas não em todas as espécies de vertebrados e invertebrados, o sexo era determinado pela constituição cromossômica (McCLUNG, 1902; STEVENS, 1905; WILSON, 1905; MORGAN, 1910; PAGE *et al.*; 1987). Mais tarde, ao ser observado que em insetos com dismorfismo sexual como a *Drosophila*, o sexo era determinado pelo número de cromossomos X independente do número de cromossomos Y, o sexo dos mamíferos, por analogia, também ficou definido desta forma (BRIDGES, 1916).

A existência de cromossomos X e Y em humanos foi demonstrada citologicamente em 1923 (PAINTER, 1923). Em 1959 contudo, estudos de cromossomos sexuais anormais em ratos e humanos (XXY e X0) revelaram a

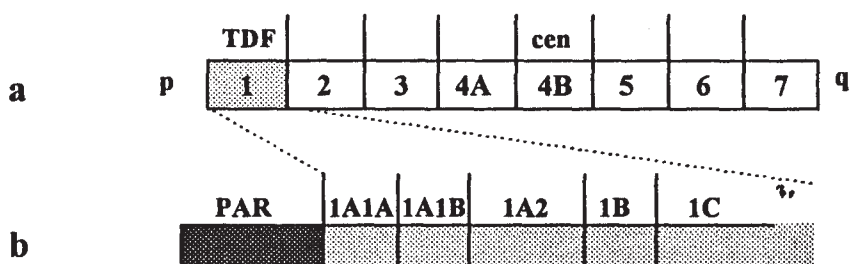
influência do cromossomo Y na função gonadal masculina independente do número de cromossomos X, já que, embriões carregando pelo menos um cromossomo Y (XY ou XXY) desenvolvem-se como machos e embriões sem cromossomo Y (XX ou X0) desenvolvem-se como fêmeas (WELSHONS & RUSSELL, 1959; FORD *et al.*, 1959; JACOBS & STRONG, 1959).

Até a sétima semana o embrião ainda é sexualmente neutro. A gônada primitiva, formada por células germinativas que migraram do saco vitelino para a superfície das pregas urogenitais, é constituída por células pequenas, em grande número, e por poucas células grandes, as células sexuais primitivas. Esse epitélio germinativo prolifera produzindo cordões sexuais que penetram no mesênquima. Diferenciam-se então, duas regiões, uma cortical e outra medular e nessa fase a gônada é dita bisexual. Na presença do cromossomo Y, haverá desenvolvimento da medula e a gônada primitiva dará origem a um testículo. Caso contrário, na ausência do cromossomo Y, o desenvolvimento do córtex resultará num ovário (WILSON *et al.*, 1981). Desse instante em diante o processo de diferenciação sexual parece ser fundamentalmente hormonal.

Assim, o cromossomo Y, através da sua presença ou ausência constitui o ponto inicial da diferenciação sexual. Entretanto, mesmo nas gônadas bissexuais, são requeridas algumas funções controladas por autossomos. Por exemplo, a mutação no cromossomo 17 de embriões de rato XY, resulta no desenvolvimento de ovários (WASBURN & EICHER, 1983). Dessa forma, muitos genes podem atuar em conjunção com o cromossomo Y na diferenciação sexual, incluindo também alguns genes do cromossomo X.

Ainda em 1959, com a demonstração de que a herança do cromossomo Y resulta na determinação do sexo masculino, aventou-se a existência de um ou mais genes nesse cromossomo que induz à diferenciação testicular. Desde então, a natureza bioquímica desse gene, referido como TDF (fator de determinação testicular), tem sido objeto de grande interesse e especulação. Trabalhos correlacionando o fenótipo com alterações estruturais do cromossomo Y permitiram restringir a localização do TDF ao Yp. Entretanto, foi somente após o desenvolvimento de técnicas de clonagem e isolamento de seqüências Y-específicas, que foram alcançados avanços significativos nessa área.

Através de estudos com homens de cariótipo 46,XX e mulheres com cariótipo 46,XY, os quais são resultado de uma transferência accidental de material do cromossomo Y para o cromossomo X na meiose paterna, PAGE *et al.* em 1987, definiram a posição para o TDF dentro de 140 kb, a região 1A2 (figura 3). Nesta região foi localizado o gene **ZFY** que codifica uma proteína do tipo *zinc finger*, na época, um sério candidato ao TDF, já que uma das mulheres XY estudada não possuía seqüências derivadas deste gene.



**Figura 3 -** (a) Mapa de Vergnaud, (b) Subdivisão do intervalo 1 do mapa de Vergnaud, (cen) centrômero, (p) braço curto, (q) braço longo.

Entretanto, posteriormente PALMER *et al.*, (1989), descreveram quatro indivíduos com inversão sexual XX que possuíam seqüências derivadas do cromossomo Y, mas entre as quais não estava incluído o gene **ZFY**. Analisando o genoma destes indivíduos foi possível definir uma região de 60 kb adjacente ao **ZFY**, região 1A1 (figura 3), que foi depois reduzida à 35 kb. Nessa região observaram-se muitas seqüências repetidas e dentre elas foi isolado um gene de cópia simples.

Este gene, chamado **SRY** (região de determinação sexual do Y), codifica uma seqüência de aminoácidos altamente conservada, homóloga à um tipo de proteína Mc requerida na fissão de leveduras de *Schizosaccharomyces pombe*, com a proteína nuclear não histônica **HMG** (*high mobility group*) e também com dois fatores de transcrição humanos, **hUBF** e **TCF-1** (SINCLAIR, *et al.*, 1990).

Dessa forma, fatos importantes puderam ser evidenciados: o **ZFY** não é o TDF e o gene **SRY**, altamente específico, parece até o momento ser consistente com a regra de determinação sexual. Este gene foi também isolado em camundongos, chamado *Sry* e possui uma homologia de 80% com o **SRY** humano.

Mutações identificadas no gene *Sry* provocaram a incapacidade desse gene para determinar testículos em camundongos, produzindo fêmeas XY. O DNA de camundongos machos normais XY, quando hibridizados com o gene *Sry*, mostra uma banda de 3,5 kb. Esta banda, em DNA de fêmeas mutantes XY, não é observada, uma vez que, esta seqüência está alterada (GUBBAY *et al.*, 1990).

Tem sido sugerido que o produto do gene **SRY/Sry** seja um fator de transcrição, ou seja, uma proteína regulatória. Genes regulatórios podem controlar a transcrição por diversos mecanismos. A proteína codificada pela seqüência **SRY/Sry** clonada, a qual na verdade acredita-se ser o produto codificado pelo último exon do gene, contém 80 resíduos de aminoácidos, os quais são similares aos encontrados em diversas proteínas conhecidas como fator de transcrição pela função de ligação ao DNA. As primeiras proteínas conhecidas neste grupo foram as chamadas **HMG box** (*high mobility group*). Recentes estudos de homologia do **SRY/Sry** e proteínas com funções de ligação no DNA, mostraram que a proteína codificada pelo gene **SRY/Sry** se liga eficientemente à seqüência AACAAAG (HARLEY *et al.*, 1992). Ainda são necessários mais estudos para definir os domínios funcionais de tal proteína, como por exemplo, análise de mutantes criados por mutagênese sítio dirigida. Além disso, seria interessante saber também que genes esta proteína regularia.

Alguns autores partiram por fim, para experimentos que consagrariam o **SRY/Sry** como candidato ao **TDF**, estudando, por exemplo, o padrão de expressão desse gene em testículo de camundongo. SINCLAIR *et al.*, (1990), mostraram um transcrito de 1,1 kb expresso em testículo de camundongo adulto e GUBBAY *et al.*, (1990), mostraram a expressão do *Sry* nas gônadas masculinas 11,5 dias após o coito, mas não nas gônadas femininas do embrião. Estes resultados são consistentes com o padrão esperado para o gene da determinação testicular, cuja ação induziria à formação de células de Sertoli, e que, na sua ausência, induziria ao aparecimento das células foliculares no ovário.

Um fragmento de DNA de 14 kb contendo o gene *Sry* foi também suficiente para induzir à formação de testículos em embriões transgênicos de camundongos XX, resultando em um fenótipo de inversão sexual. Embora outros genes sejam requeridos no processo de desenvolvimento masculino, os genes **SRY/Sry** têm

mostrado propriedades genéticas e biológicas suficientes para afirmar que este é o suposto TDF (KOOPMAN *et al.*, 1991).

### 3. Genes e pseudogenes no cromossomo Y:

Na região pseudoautossômica foi isolado e clonado o primeiro gene do cromossomo Y, o **MIC2**, codificando um antígeno de superfície celular de função desconhecida, reconhecido através de anticorpos monoclonais 12E7. O antígeno determinante detectado por este anticorpo é uma proteína expressa em todos os tecidos humanos com possível exceção nos espermatozóides. Este antígeno não é encontrado na superfície celular de ratos, hamster ou camundongos, por isso híbridos celulares humano-roedores têm sido utilizados no estudo da sua expressão. Em híbridos humano-roedores o antígeno é expresso na superfície celular somente quando está presente o cromossomo X humano.

Por análise de deleção, o gene **MIC2** foi mapeado no braço curto do cromossomo X (Xp22.3-pter) e pelo mesmo tipo de estudo, isto é, com híbridos humano-roedor contendo translocações X-Y, o gene foi mapeado também no cromossomo Y (Yq1:1-Ypter), figura 4.

A descoberta de que o antígeno 12E7, que é restrito ao homem, chimpanzé e gorila, é codificado por seqüências em ambos os cromossomos X e Y, levou alguns autores a concluírem que o antígeno 12E7 tenha surgido recentemente, ou seja, que tenha havido pelo menos uma troca entre os cromossomos X-Y subsequente à divergência do *Homo sapiens* (GOODFELLOW *et al.*, 1983).

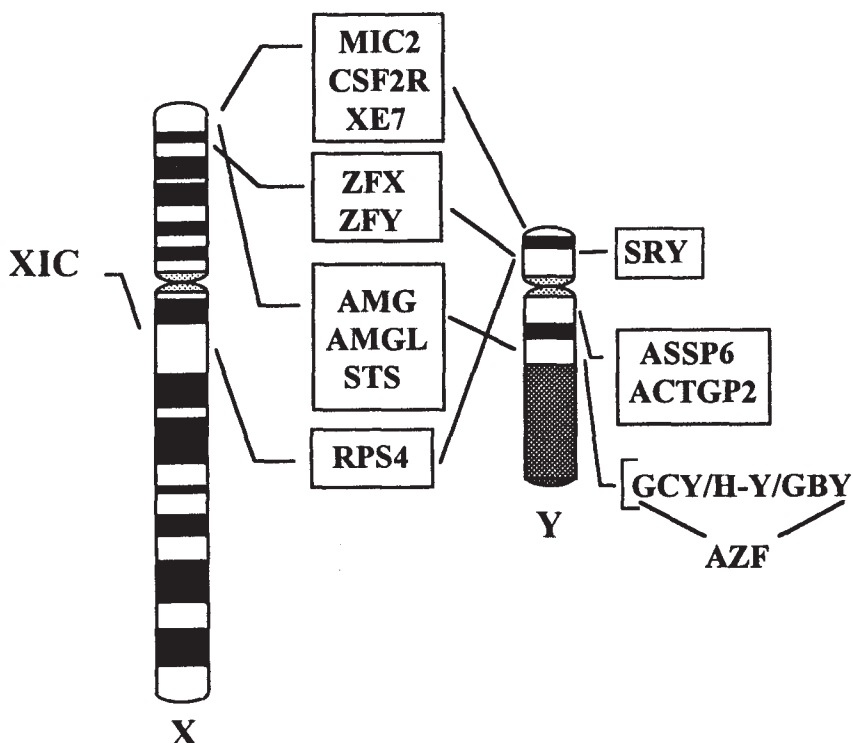
O produto primário do gene **MIC2** foi isolado através de um clone de cDNA pelo sistema de expressão do fago λgt11 em *E.coli* (DARLING, 1986). Este gene tem sido, uma ferramenta importante no estudo da base molecular da inativação do cromossomo X, associada à uma modificação covalente na estrutura do DNA, já que este gene, e todos os genes da região pseudoautossômica, escapam à inativação do cromossomo X (GOODFELLOW *et al.*, 1988).

O gene para receptor GM-CST (fator de estimulação de colônia granulócito-macrófago) que estimula a proliferação, diferenciação e ativação funcional de granulócitos e macrófagos, também foi localizado na região

pseudoautossômica. Acredita-se que este gene, denominado **CSF2R**, possa estar envolvido na geração de um tipo de leucemia mielóide aguda do subtipo *M2* (GOUGH *et al.*, 1990).

Além dos genes **MIC2** e **CSF2R**, um terceiro *locus* na região pseudoautossônica foi sugerido, que controlaria a estatura (ELLISON *et al.*, 1992). Tem sido proposto que este *locus* estaria próximo à região telomérica mas, HENKE *et al.*, 1991, sugere que ele seja mais proximal. O mais recente gene clonado na PAR é o **XE7**. Embora o gene **XE7**, ainda não esteja precisamente localizado dentro da região pseudoautossônica, é possível que ele seja o gene que controla a estatura. Ele codifica para duas isoformas de proteínas, determinadas por processamento alternativo do RNA. A localização do gene **XE7** concomitante com estudos das proteínas por ele codificadas são ainda necessários para revelar qual seria realmente a função deste gene (ELLISON *et al.*, 1992).

Seguindo-se os três genes presentes na PAR, aparecem os gene **SRY** e **ZFY** discutidos no item anterior (figura 4).



**Figura 4** - Principais genes e pseudogenes do cromossomo Y e seus homólogos do cromossomo X.

Ainda no braço curto do Y encontra-se o gene **RPS4Y** com sua cópia correspondente (**RPS4X**), mapeado no braço longo do cromossomo X (Xq13.1), muito próximo ao centro de inativação (**XIC**), figura 4. Ambos os genes, **RPS4X** e **RPS4Y**, codificam isoformas de uma das 33 proteínas existentes na subunidade menor dos ribossomos. A proteína **RPS4** no ribossomo dos mamíferos está localizada na interface das subunidades 40S e 60S (NYGARD & NIKA, 1982; UCHIUMI *et al.*, 1986) onde aparece associada ao fator de iniciação **eIF-3**. Em mamíferos não se conhece nenhuma outra proteína do ribossomo que possua isoformas ou que seja codificada por mais de um gene.

Desde que, uma das isoformas é codificada pelo gene **RSP4Y**, no cromossomo Y, o qual está presente em machos mas, não em fêmeas, aventou-se a possibilidade de que poderia haver uma diferença estrutural entre os ribossomos de machos e fêmeas. Fêmeas normais, não têm o cromossomo Y e, portanto, não têm o gene **RPS4Y** e sua proteína. Como existem duas isoformas da proteína de **RPS4** por ribossomo, então ribossomos de machos poderiam ser de dois tipos: aqueles contendo o produto do gene **RPS4Y** e aqueles contendo o produto do gene **RPS4X**. Todos os ribossomos das fêmeas, entretanto, conteriam o produto do gene **RPS4X**. É possível que as isoformas codificadas pelos cromossomos X e Y sejam funcionalmente distintas em algum aspecto (FISCHER, *et al.*; 1990).

Acredita-se que a Síndrome de Turner seja resultado da monossomia para um ou mais genes comuns aos cromossomos X e Y. No cromossomo Y este gene tinha sido mapeado nos intervalos 1 e 2 (ROSENFIELD *et al.*, 1979; MAGENIS *et al.*, 1984; DITECHE *et al.*, 1986; BLAGOWIDOW *et al.*, 1989; LEVILLIERS *et al.*, 1989). No entanto, em 1990 PAGE *et al.*, através de estudos com fêmeas 46,XY e uma fêmea X,t(Y;22), que não exibem fenótipo de Turner, restringiu o intervalo para a região 1A1B (figura 3). Isto torna os genes **RPS4**, sérios candidatos ao fenótipo da Síndrome de Turner, pois o gene **RPS4Y**, está mapeado justamente na região 1A1B e não há evidências da existência de outros genes neste intervalo, que compreende 90 kb. Além disso, o gene responsável por este fenótipo teria que escapar da inativação senão não haveria diferença entre os fenótipos 45,X e 46,XX e, embora o gene **RPS4X** seja muito próximo ao **XIC**, ele certamente escapa da inativação (FISCHER *et al.*, 1990).

O antígeno de histocompatibilidade H-Y, foi por muitos anos considerado como o indutor de testículos atribuído ao cromossomo Y, já que fêmeas da linhagem isogênica de camundongos C57BL/6, quando enxertadas com pele de macho da mesma linhagem, rejeitavam o transplante (GOLDBERG et al., 1971; WACHTEL et al., 1975b). Esta hipótese foi abandonada desde que demonstrou-se que camundongos possuíam desenvolvimento de testículos mesmo na ausência do antígeno H-Y. LAU, et al., em 1986, demonstraram o envolvimento de um *locus* autossômico na determinação gonadal. Usando anticorpo monoclonal anti-H-Y, uma seqüência muito conservada foi isolada de um banco construído a partir de testículos de camundongo. Esta seqüência, sem expressão em células ovarianas, foi mapeada no cromossomo 6 humano sugerindo que no cromossomo Y encontra-se somente o gene regulador para o antígeno H-Y, sendo que o gene estrutural estaria localizado no cromossomo 6.

Após a descoberta do gene SRY, responsável pela determinação testicular, uma especial importância tem sido dada ao gene que no homem seria responsável pela espermatogênese normal. Tanto dados citogenéticos (TIEPOLO & ZUFFARDI, 1976) como os resultados obtidos com a utilização de sondas de DNA em pacientes azoospérmicos (ANDERSON et al., 1988), sugerem a região Yq11, intervalos 5-6 do mapa de Vergnaud, como a localização mais provável do fator de controle da espermatogênese, o AZF como foi denominado em humanos.

Atualmente, por estudos moleculares associados à dados citogenéticos, a região mais provável do AZF tem se restringido ao intervalo 6 do mapa de Vergnaud, o qual foi dividido em 14 subintervalos designados I a XIV (MA et al., 1992). A busca de microdeleções em pacientes azoospérmicos ou com azoospermia severa leva a inferir a existência de mais de um gene no controle da espermatogênese. Microdeleções afetando as regiões proximal ou distal do intervalo 6, normalmente causam uma parada na espermatogênese antes da fase de proliferação celular (VOGHT et al., 1991b, 1992), enquanto que microdeleções centrais no intervalo 6 normalmente estão associadas à uma parada da espermatogênese durante o estágio de paquíteno (RAMOS et al., 1993). Estas observações indicam que o cromossomo Y humano é portador de uma série de genes envolvidos no controle da espermatogênese, cada um com expressão em diferentes e específicos estágios do processo de formação de gametas.

Ainda nos intervalos 5-6, dois genes têm sido propostos, um que codifica para um fator de crescimento (GCY), proximal ao AZF, e outro envolvido com o crescimento dentário, podendo inclusive se tratarem os dois de um mesmo gene (ALVESALO & DE LA CHAPELLE, 1981).

Por outro lado, a constatação de que pacientes com disgenesia gonadal e presença de cromossomo Y apresentam um risco aumentado para desenvolver gonadoblastoma, levou PAGE (1987) a sugerir que nestes pacientes o gene de controle da espermatogênese poderia atuar como um oncogene, causando desenvolvimento do tumor. O autor nominou tal gene hipotético como GBY significando *locus* gonadoblastoma do cromossomo Y, situado no intervalo 5-6 do mapa de Vergnaud. Tendo em vista que os genes GCY, GBY, H-Y e AZF não foram ainda isolados e clonados na espécie humana, e que a existência destes genes é inferida por suas funções, persiste a dúvida se realmente tratam-se de vários genes ou de um único com várias funções.

Além dos genes aqui citados, alguns pseudogenes também são encontrados no cromossomo Y. O primeiro mapeado foi o STS que codifica a enzima esteróide sulfatase, cuja cópia funcional está localizada no cromossomo X. Nesse cromossomo o gene está situado na região pseudoautossômica, mas no cromossomo Y, ele se encontra no braço longo, no intervalo 6 do mapa de Vergnaud (FRASER *et al.*, 1987).

O índice de similaridade entre o STS-X e STS-Y, está entre 85-94%, não havendo diferença deste índice para introns ou exons. Isto indica que o *locus* STS-Y se tornou não funcional simultaneamente com a divergência evolutiva entre os dois genes.

O pseudogene STS-Y, em processo de degeneração, não possui nenhuma atividade de transcrição, já que a divergência ocorrida gerou numerosos códons de terminação na cadeia de leitura da seqüência. Além de possuir deleções, com relação à cópia funcional (STS-X), também exibe inserções. Essas inserções constituem-se principalmente de seqüências LINEs (*long interspersed elements*), descritas no próximo item. Essas seqüências contêm características estruturais de retro-transposons (YEN *et al.*, 1988).

A deficiência da enzima esteróide sulfatase no homem é uma doença que afeta 1 em 5000-6000 homens, em diversos grupos étnicos e localizações geográficas. A alta prevalência desta doença pode ser explicada não por mecanismos clássicos de mutações, mas pelo evento de recombinação desigual X/Y resultando a perda do *locus STS* ligado ao cromossomo X ou na troca pela cópia não funcional do cromossomo Y (YEN *et al.*, 1988).

Uma seqüência de cDNA, que foi inicialmente clonada em bovino, codifica uma proteína extracelular responsável pelo desenvolvimento dentário, a qual se expressa exclusivamente nas células germinativas do dente (SNEAD *et al.*, 1985 & SHIMOKAWA *et al.*, 1987). Posteriormente, o gene responsável por esta proteína foi mapeado no braço curto do cromossomo X (AMG; Xp22.1-22.3) e o pseudogene correspondente, próximo ao centrômero do cromossomo Y (AMGL) (NAKAHORI *et al.*, 1991). A deficiência de tal proteína, denominada amelogenina, causa a doença genética amelogênese imperfeita (AI) cujo padrão de herança é geneticamente heterogêneo (WITKOP & RAO, 1971; McKUSICK, 1988).

Além da hipótese de que as seqüências dos cromossomos X e Y divergiram há 25 milhões de anos, YEN *et al.* (1988), sugerem que um evento de inversão ocorreu no cromossomo Y há 40 milhões de anos, baseado na localização do gene STS-X e do pseudogene STS-Y. O gene STS-Y estaria inicialmente na região pseudoautossômica e com o evento de inversão, uma parte teria sido perdida, gerando a cópia não funcional no cromossomo Y. Os genes AMG e AMGL foram descritos posteriormente e, estão próximos do STS em suas cópias nos cromossomos X e Y. Isto confirma a hipótese de que ambos os genes AMGL e STS-Y em humanos, pertenceram um dia à região pseudoautossômica e que realmente ocorreu tal inversão no cromossomo Y.

Em camundongo o gene análogo, o *Sts*, ainda se encontra na região pseudoautossômica, já que não ocorreu a inversão. O evento de inversão é reafirmado quanto se observa a localização do gene TDF, que em humanos está próximo à região pseudoautossômica, mas em camundongo o *Tdy* ainda está no braço longo.

Outros pseudogenes são encontrados no intervalo 5 do cromossomo Y, como o gene que codifica a enzima arginosuccinato sintetase (ASSP6), o qual participa do ciclo da uréia cujo gene funcional é expresso ativamente no braço longo do cromossomo 9 (9q34-qter) (DAIGER *et al.*, 1982). Nesta mesma região do Y, encontra-se também o pseudogene relacionado ao gene gama-actina do cito-esqueleto (ACTGP2) (GOMEZ-PEDROZO *et al.*, 1987).

Uma outra seqüência de DNA, com restrição *Eco RI*, Y-específica com 2,8 kb, denominada 49f, que poderia ser um pseudogene, foi mapeada no intervalo 6 (BISHOP *et al.*, 1984). Esse fragmento foi identificado por hibridização com um transcrito de mRNA de 4 kb de testículo humano codificado por um gene localizado no cromossomo 3 (SEBOUN *et al.*, 1986). A seqüência 49f se encontra repetida no cromossomo Y cerca de 20-30 cópias e é altamente polimórfica (NGO *et al.*, 1986).

#### 4. Seqüências no cromossomo Y:

Muitas seqüências no cromossomo Y humano possuem homologia com seqüências do cromossomo X e autossomos humanos mas, a maioria das seqüências não possui homologia com o cromossomo Y de outros primatas. Isto se deve talvez ao fato de que estas seqüências foram adquiridas em humanos quando ocorreu a divergência entre humanos e os outros primatas há milhões de anos.

A evolução de organismos eucarióticos resultou no aumento de seqüências no genoma, seqüências estas que não codificam para nenhuma proteína e, para as quais, têm-se especulado a função de regulação da expressão gênica. Desta forma, encontram-se espalhados no genoma eucariótico várias famílias de seqüências de DNA repetido.

O cromossomo Y é o cromossomo que possui seqüências repetidas em maior número e variedade, é também altamente heterocromático e, pelo menos 50% desse cromossomo, é composto por seqüências repetidas. Em termos gerais, são três as categorias de seqüências de DNA repetidas:

- seqüências SINEs (*short interspersed elements*), da qual a maior família é representada por seqüências *Alu*, que estão repetidas 300.000 vezes em todo genoma (RINEHART *et al.*, 1981). No cromossomo Y ela está presente numa

seqüência repetida em tandem, isolada por sítios de restrição *Msp I*, possuindo na verdade somente 60% de homologia com as seqüências *Alu* espalhadas nos outros cromossomos (SMITH *et al.*, 1987);

- seqüências **LINEs** (*long interspersed elements*), também designadas de família *Kpn*, estão vastamente espalhadas no genoma podendo atingir até 6 kb, e no cromossomo Y são indistinguíveis dos outros cromossomos (SCHMECKPEPER *et al.*, 1981);

- seqüências repetidas em tandem, também chamadas de DNA satélites, dentre as quais existem as seqüências **Alfóides**, que são seqüências cromossomo-específicas com uma periodicidade particular para cada cromossomo (MITCHELL *et al.*, 1985; WOLFE *et al.*, 1985). No cromossomo Y o bloco destas seqüências, situado na região centromérica, possui aproximadamente 400 kb, consistindo de unidades repetidas em tandem em intervalos de 5 - 7 kb que, por sua vez, é formado por subunidades de 170 bp também repetidas em tandem (TYLER-SMITH & BROWN, 1987).

Entretanto, as principais seqüências Y-específicas repetidas são fragmentos espaçados por sítios *Hae III* de 3,4 e 2,1 kb (COOKE, 1976). Estas seqüências não são homólogas entre si e constituem 70% das seqüências repetidas nesse cromossomo. Elas se encontram também espalhadas por todo o genoma mas, devido ao seu grande número de cópias, são muito mais específicas para o Y do que para outros cromossomos.

O DNA satélite **Bkm** (*Banded krait minor satellite DNA*), associado ao sexo heterogamético em cobras, está presente em muitos genomas eucarióticos, consistindo de dinucleotídeos e tetranucleotídeos repetidos de bases GACA e GATA (ARNEMANN, *et al.*, 1986). No cromossomo Y as seqüências **Bkm** são encontradas na região pericentromérica (SINGH & JONES, 1986)

Seqüências que são repetidas do cromossomo Y humano têm sido encontradas, em autossomos de machos e fêmeas de gorila mas, estas mesmas seqüências não têm sido relatadas em chimpanzés. Se o homem e o chimpanzé são parentes mais próximos do que o homem e o gorila, como tem sido mostrado em estudos de reassociação de DNA (BENVENISTE *et al.*, 1976) e estudos de bandas cromossômicas (YUNIS *et al.*, 1982), a evolução de tais seqüências deve ter envolvido um processo de redistribuição e perda.

Se tais seqüências estavam presentes no genoma do ancestral comum ao homem, chimpanzé e gorila, e em alguns cromossomos autossômicos dos gorilas, pode-se supor que no homem essas cópias presentes no cromossomo Y têm sido multiplicadas e mantidas como um bloco homogêneo de seqüências por *crossing-over* desigual. No chimpanzé, entretanto, tais blocos não são mais encontrados e essas cópias acham-se dispersas com outras seqüências.

A hipótese de *crossing-over* desigual pode explicar a manutenção da homogeneidade das seqüências repetidas em um simples cromossomo, mas é difícil imaginar como este mecanismo poderia operar na distribuição de diferentes cromossomos. Deve ter havido algum mecanismo de transferência submetendo tais seqüências à conversão gênica (COOKE *et al.*, 1982).

A aquisição de técnicas de DNA-recombinante para isolar e caracterizar segmentos de DNA de cópia simples no cromossomo Y, tem permitido definir melhor a natureza das seqüências nesse cromossomo, que tem tão poucos genes mapeados quando comparado com qualquer outro cromossomo humano.

## 5. A seqüência Y-1:

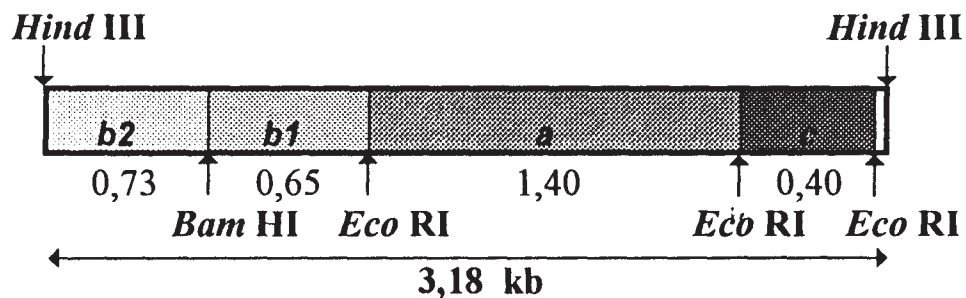
A determinação sexual em mamíferos é sem dúvida o principal papel do cromossomo Y, mas entender o seu atraente mecanismo de regulação tem sido um desafio aos pesquisadores. Caracterizar segmentos de DNA significa uma minúscula, mas importante contribuição para o entendimento do genoma humano.

O isolamento de seqüências Y-específicas tem despertado grande interesse devido às suas aplicações em estudos clínicos, na determinação da evolução deste cromossomo, na compreensão da sua estrutura e na detecção de genes. Até o momento, foram mapeadas mais de 200 seqüências de DNA nesse cromossomo (GOODFELLOW & WEISSENBACH, 1991).

Na expectativa de se isolar novas seqüências Y-específicas e possíveis genes, procedeu-se a triagem de um banco do cromossomo Y, construído pelo método de citometria de fluxo na Divisão de Ciências Biomédicas do Laboratório Nacional Lawrence Livermore, Califórnia. A partir desse banco, o fragmento Y-1

foi isolado, e clonado no plasmídio pBI-76 para posterior caracterização (FARAH *et al.*, 1992).

A seqüência Y-1 de aproximadamente 3,2 kb, quando digerida com as enzimas de restrição *Bam* HI e *Eco* RI, exibe o mapa de restrição ilustrado na figura 5, o qual foi determinado por NOVAIS (1990).



**Figura 5 -** Mapa de restrição do fragmento Y-1.

Embora a seqüência Y-1 hibridize com DNA humano de origem masculina e feminina, algumas bandas Y-específicas são observadas após a digestão do DNA genômico com *Bgl* II, *Xmn* I, *Hinc* II e *Taq* I. O fragmento Y-1, portanto, representa uma seqüência repetida, com características semelhantes à muitas outras encontradas no cromossomo Y, ou seja, apresenta bandas Y-específicas e bandas que mostram homologia com autossomos e cromossomo X. Além disso, a seqüência Y-1 quando hibridizada com DNA genômico de 15 homens e 15 mulheres normais não aparentados, digeridos com diversas enzimas de restrição, revelou um padrão consistente de bandas não tendo sido detectado portanto, qualquer polimorfismo. Com o objetivo de aumentar a especificidade para o cromossomo Y, NOVAIS (1990) hibridizou separadamente cada um dos subfragmentos determinados no mapa de restrição e observou que o subfragmento Y-1.*b*<sub>1</sub> era o mais específico em condições de alta estringência.

O fragmento Y-1, foi também subclonado no plasmídio pKK232-8. Este vetor é chamado "caça-promotor", pois, além do gene que confere à bactéria transformada resistência à ampicilina, ele possui o gene para resistência ao cloranfenicol (**CAT**). Entretanto, este gene não apresenta sua região promotora. Quando um fragmento de DNA é clonado neste plasmídio anteriormente ao gene

CAT, se existir alguma região promotora neste inserto, o gene poderá ser transcrito, conferindo à bactéria transformada resistência também ao cloranfenicol (BROSIUS, 1984).

O fragmento Y-1, ao ser clonado no plasmídio pKK232-8, conferiu à bactéria resistência ao cloranfenicol, sugerindo a possibilidade de conter uma região promotora. Pela posição de clonagem foi demonstrado que o subfragmento Y-1.b2 está localizado imediatamente anterior ao gene CAT sendo, portanto, o mais provável candidato a conter a região promotora (NOVAIS, 1990).

Pelas características aqui apresentadas, a seqüência Y-1 merece um estudo mais aprofundado, constituindo o objetivo principal deste trabalho. Além da sua potencial importância em diagnósticos clínicos, guarda grandes expectativas na localização de um gene devido a possível presença de regiões promotoras. Por outro lado, o sequenciamento do fragmento Y-1 permitiria a determinação de *primers* para a amplificação dessa seqüência pela técnica de PCR (reação em cadeia da polimerase), bem como a identificação de seqüências repetidas e específicas, abrindo novos caminhos para estudos evolutivos, de expressão e dos produtos gênicos.

## ***OBJETIVOS***

**OBJETIVOS:**

1. Localizar o fragmento Y-1 no cromossomo Y para estudos clínicos em indivíduos portadores de aberrações estruturais nesse cromossomo.
2. Estimar o número de cópias do subfragmento mais específico bem como sua distribuição no cromossomo Y.
3. Estudar a homologia e conservação desta seqüência com DNA genômico de algumas espécies animais.
4. Sequenciar um subfragmento com vistas à construção de *primers* que permitam a amplificação Y-específica pela técnica de PCR para aplicações em diagnóstico clínico.
5. Otimizar as condições da reação de PCR de forma a amplificar especificamente o DNA genômico de origem masculina.
6. Pesquisar a presença de possíveis regiões promotoras no subfragmento Y-1.b2.

## ***MATERIAL E MÉTODOS***

## MATERIAL E MÉTODOS

### 1 -Extração em larga escala do plasmídio pIBI-76 contendo o inserto Y-1:

Inoculou-se 10ml de meio LB (10g bacto-triptone; 5g extrato de levedura; 10g NaCl/litro de solução, pH7,0) contendo 50µg/ml de ampicilina a partir de uma única colônia da bactéria transformada com o plasmídio pIBI-76 (APÊNDICE I) que contém como inserto o fragmento Y-1. A cultura foi mantida durante à noite a 37°C sob agitação a 250rpm.

Foram então inoculados em 500ml do mesmo meio LB com ampicilina, 500µl da cultura obtida na etapa anterior. Incubou-se à noite a 37°C sob agitação a 300rpm.

Cada 250ml do cultivo foi centrifugado a 7000rpm em rotor Beckman JA-14 por 10 minutos a 4°C. Para provocar a lise das células o sedimento obtido foi ressuspensionado em 2ml de solução I (tris-HCl 1M; EDTA 0,5M pH8,0; glicose 2M). A suspensão foi transferida para tubo de polipropileno e acrescentou-se mais 1ml de solução I contendo 25mg/ml de lisozima. Manteve-se à temperatura ambiente por 10 minutos.

Adicionou-se 10ml de solução II (NaOH 2N; SDS 10%) recentemente preparada, o conteúdo foi misturado repetidas vezes lentamente por inversão e mantido no gelo por 10 minutos.

A cada tubo adicionou-se 7,5ml de solução gelada de acetato de potássio 3M. Manteve-se no gelo por mais 10 minutos. O precipitado floculoso formado foi separado por centrifugação em rotor Beckman JA-20 a 12.000rpm por 20 minutos a 4°C. O sobrenadante foi filtrado com 4 camadas de gaze e o filtrado distribuído em dois tubos novos de centrífuga.

Adicionou-se 0,6 volumes de isopropanol em cada tubo. Após misturar bem, manteve-se à temperatura ambiente por 10 minutos. Centrifugou-se então, a 11.000rpm em rotor Beckman JA-20 por 10 minutos à temperatura ambiente. O sedimento foi lavado uma vez com etanol 70% e depois seco.

O material obtido foi ressuspensionado com 1ml de TE (tris-HCl 10mM, pH7,5; EDTA 1mM) para cada tubo. A concentração de DNA foi lida em espectrofotômetro em 260nm.

## 2 - Isolamento dos subfragmentos Y-1.a, Y-1.b1, Y-1.b2 e Y-1.c:

Após a extração em larga escala do plasmídio pIBI-76 contendo o fragmento Y-1, o plasmídio foi digerido com as enzimas de restrição *Hind* III, *Bam* HI e *Eco* RI, para se obter cada subfragmento de interesse, segundo o mapa de restrição do fragmento Y-1 (figura 5).

Em cada reação, utilizou-se um excesso de 5 vezes de enzima e foram digeridos 50 $\mu$ g do plasmídio. Os produtos de digestão foram separados em gel de agarose e os subfragmentos foram purificados com auxílio do kit *Gene clean* (laboratório Bio 101 Inc., cat. 3105), da seguinte forma:

A banda correspondente foi excisada do gel de agarose com o auxílio de um bisturi estéril, colocada em um tubo tipo Falcon e pesada. Foram adicionados 2,5 volumes de solução de NaI (90,8g NaI; 2g Na<sub>2</sub>SO<sub>3</sub>/100ml de solução) em relação ao peso obtido e incubou-se 5 minutos a 55°C.

Adicionou-se a esse tubo uma resina composta por uma matriz silicosa denominada *Glassmilk*. Para cada 5 $\mu$ g de DNA a ser recuperado teoricamente, acrescentaram-se 5 $\mu$ l da resina e para cada 0,5 $\mu$ g de DNA adicional, mais 1 $\mu$ l de resina. O material foi deixado durante à noite a 4°C.

Na manhã seguinte, o material foi centrifugado e o sedimento foi lavado por 3 vezes com a solução *New wash* que acompanha o kit. Após a última lavagem com *New wash* o DNA foi eluído da resina em quantidade apropriada de tampão TE (para cada 10 $\mu$ l de *Glassmilk* colocou-se 10 $\mu$ l de TE) e incubado a 60°C por 15 minutos. Essa suspensão foi centrifugada a 12000 rpm por 10 minutos e o DNA foi recuperado no sobrenadante. Parte desse DNA foi colocado em um mini-gel para estimar a concentração.

### 3 - Análise dos subfragmentos quanto à localização e especificidade:

Os subfragmentos isolados foram analisados quanto à sua especificidade para o cromossomo Y através da hibridização com DNA genômico de homem e mulher normais. Para a localização do fragmento Y-1 no cromossomo, foram hibridizados com os subfragmentos isolados, filtros de DNA genômico extraído de leucócitos periféricos de indivíduos normais do sexo masculino e feminino, assim como de indivíduos com aberrações estruturais no cromossomo Y.

Algumas linhagens celulares de indivíduos com aberrações estruturais no cromossomo Y foram obtidas no Human Genetic Repository, Copewood St., Camden NY 08103 (GM6967, GM1709, GM9403). A amostra do paciente J.Reed foi cedida pela Unidade de Genética Reprodutiva da Universidade da Califórnia, os pacientes DIC(Y) e PDR foram cedidos pelo Departamento de Imunologia do ICB da USP, o homem XX, o paciente BR e JPSN, pelos Ambulatórios do Hospital de Clínicas da UNICAMP.

A tabela 1 apresenta os cariótipos descritos em cada linhagem ou paciente e a diferenciação sexual observada.

LINHAGEM	CARIÓTIPO	GENITÁLIA EXTERNA
GM6967	45,X/46,X,dic(Y)(p11)/47,X,dic(Y),+dic(Y)	Ambígua
GM1709	46,X,dic(Y)(p11.2)	Feminina
GM9403	46,X,t(X;Y)(p22.3;q11.2)	Feminina
DIC(Y)	46,X,dic(Y)(q11.2101)	Masculina
J.REED	46,X,t,(Y;D?)(p12;p12)	Masculina
PDR	45,X/46,XYnf	Feminina
HOMEM XX	46,XX	Masculina
JPSN	46,XY	Masculina
BR	45,Xt,(Y;15)(?;Yq11.23)	Masculina

Tabela 1 - Cariótipo das linhagens celulares e pacientes.

Para melhor caracterizar as alterações estruturais do cromossomo Y, o DNA dos pacientes e das linhagens celulares foram também analisados com

sondas já bem caracterizadas. A tabela 2 mostra o intervalo detectado por cada uma dessas sondas com a enzima usada para a digestão do DNA genômico.

<b>SONDA</b>	<b>ENZIMA</b>	<b>LOCALIZAÇÃO</b>	<b>REFERÊNCIA</b>
pDP1007	<i>Eco RI</i>	Yp(1A)	PAGE <i>et al.</i> , 1987
pDP105	<i>Eco RI</i>	YP(3)	PAGE (comunicação pessoal)
pDP97	<i>Eco RI</i>	Ycen(4B)	WOLFE <i>et al.</i> , 1985
pY-5	<i>Eco RI</i>	Yq(6)	FARAH <i>et al.</i> , 1992

**Tabela 2** - Sondas Y-específicas utilizadas na análise das linhagens e dos pacientes.

#### a) Extração, digestão e eletroforese do DNA genômico:

Utilizando-se como anticoagulante o EDTA (1,2mg/ml), foram coletados 15ml de sangue periférico dos indivíduos de interesse. O plasma foi descartado após centrifugação por 10 minutos a 2500 rpm a 4°C. O sedimento foi ressuspenso em 9 volumes de tampão A (10ml triton-X 100; 5ml tris-HCl 2M pH7,5; 109,55g sacarose; 1,02g MgCl<sub>2</sub>/litro de solução) e mantido 5 minutos no gelo. Centrifugou-se novamente a 3000 rpm por 15 minutos a 4°C. Ressuspendeu-se em PBS (NaCl 137mM; KCl 2,7mM; Na<sub>2</sub>HPO<sub>4</sub>.7H<sub>2</sub>O 4,3mM; KH<sub>2</sub>PO<sub>4</sub> 1,4mM) resultando um volume final de 1,5ml. O material foi então colocado no Extrator de Ácidos Nucleicos modelo 340A da *Applied Biosystems*.

A extração de DNA de cultura de células, no caso das linhagens celulares, foi realizada a partir de culturas com aproximadamente 90% de confluência em frascos com 850cm<sup>2</sup>. As células foram lavadas com 30ml de tampão PBS e foram removidas gentilmente do fundo do tubo. A suspensão foi transferida para um tubo tipo Falcon e centrifugada a 2500rpm a 4°C por 15 minutos.

O sobrenadante foi descartado e as células foram ressuspendidas para extração automática em um volume final de 1,5ml de tampão de lise que acompanha o Extrator de Ácidos Nucleicos modelo 340A da *Applied Biosystems*.

O DNA obtido foi então ressuspêndido em quantidade apropriada de TE e a concentração foi lida em espectrofotômetro. A seguir, 10 $\mu$ g de DNA genômico foram digeridos durante à noite com a enzima de restrição apropriada de modo a manter um excesso de 5 vezes de enzima e 200 $\mu$ l de volume final da reação. Os fragmentos digeridos foram então precipitados com 0,1 volume de acetato de sódio 2M e 2,5 volumes de etanol absoluto e incubados durante à noite a -20°C. O sedimento é recuperado por centrifugação e lavado 2 vezes com etanol 70%.

As amostras foram ressuspêndidas em 15 $\mu$ l de TE mais 3 $\mu$ l de azul de bromofenol e aplicadas em um gel de agarose 0,8% preparado com TBE (tris-base 0,089M; ácido bórico 0,089M; 0,75g EDTA). A eletroforese foi feita à uma voltagem média de 40 volts, em tampão TBE. Como marcador de peso molecular utilizou-se DNA de fago  $\lambda$  digerido com enzima de restrição *Hind* III.

**b) Transferência pelo método de Southern:**

Antes da transferência pelo método de Southern (Southern, 1975) dos fragmentos de DNA contidos no gel para membrana de níquel (S&S Nytran lote nº04199, Keene nit03431), procedeu-se a desnaturação do gel de acordo com o seguinte tratamento:

1. lavagem com solução de HCl 0,25N por 15 minutos;
2. duas lavagens com solução alcalina (NaOH 2N, NaCl 1,5N) por mais 15 minutos;
3. duas lavagens com solução neutralizante (NaCl 3M, tris-HCl 0,5M) por 40 minutos.

Após este tratamento o gel foi colocado em uma cuba contendo solução de 20xSSC (NaCl 3M, citrato de sódio 0,3M) e procedeu-se a transferência dos fragmentos de restrição nele contido com o auxílio de pontes de papel Whatmann 3MM previamente embebidas em uma solução de 20xSSC. Sobre o gel colocou-se uma membrana de níquel umidecida com água estéril, mais duas folhas de papel Whatmann e mais 10cm de toalhas de papel absorvente. Sobre todo o conjunto acrescentou-se um peso homogeneamente distribuído. Após um período de 12 a 18 horas o sistema foi desmontado e a membrana foi secada por duas horas a 80°C.

**c) Marcação das sondas:**

A marcação dos subfragmentos foi feita pelo método de *random primer* (FEINBERG & VOGELSTEIN, 1983) com nucleotídeos radioativos adquiridos pela Amersham International, Amersham UK PB10204. A reação foi realizada da seguinte forma:

Foram diluídos em água estéril para um volume final de 9µl, 100ng de DNA a ser marcado, e a sonda foi desnaturada a 95°C por 10 minutos. Acrescentou-se 1µl de cada dNTP exceto aquele que foi usado marcado, 2µl da mistura de reação que consiste numa mistura de oligonucleotídeos de 6bp, 5µl do nucleotídeo marcado com  $^{32}\text{P}$  e, finalmente, 1µl da enzima de polimerização *Klenow*. O volume final da reação foi de 20µl e esta foi incubada por no mínimo 30 minutos a 37°C. Para parar a reação, utilizou-se 130µl de STE (tris-HCl 10mM, pH7,5; NaCl 10mM; EDTA 1mM) e passou-se por uma coluna de sílica G-50 saturada com TE para retirar os nucleotídeos não incorporados.

**d) Hibridização:**

Após a transferência pelo método de Southern, o filtro obtido foi colocado em um saco plástico onde foi adicionado 10ml de uma solução de pré-hibridização que tem a seguinte composição:

formamida desionizada	50ml
20xSSC	25ml
tris-HCl 2M pH 7,5	1ml
100x <i>Denhart's</i>	10ml
SDS 10%	10ml
q.s.p. H <sub>2</sub> O	100ml

100x *Denhart's*  
 10g Ficoll 400  
 10g polivinilpirrolidona  
 10g albumina bovina  
 q.s.p. H<sub>2</sub>O 500ml

A pré-hibridização foi feita por no mínimo 4 horas a 42°C, após este período a solução foi descartada. A solução foi trocada por uma solução de hibridização semelhante à solução de pré-hibridização, isto é, o mesmo tampão onde a concentração da solução de *Denhart's* é diminuída de 1 para 0,2 vezes. Além disso nesta solução são adicionados sulfato de dextrana numa concentração final de 25% e a sonda, previamente desnaturada a 95°C por 10 minutos (contida num volume total de 150µl). O material foi incubado então por 16 horas à 42°C sob agitação.

A lavagem dos filtros foi realizada em condições de alta estringência. Após retirar a sonda os filtros foram lavados por duas vezes por 15 minutos à temperatura ambiente, com uma solução contendo 2xSSC e 0,1% de SDS.

"

Uma terceira lavagem foi feita por 30 minutos a 55°C com uma solução contendo 0,1% de SSC e 0,1% de SDS. Finalmente, o filtro foi lavado rapidamente com uma solução de 0,1% de SSC e envolvido em vitafilme. Alguns filtros foram lavados em condições de baixa estringência onde a terceira lavagem foi feita com a solução 2xSSC e 0,1% de SDS à temperatura de 50°C.

A membrana foi a seguir exposta à um filme X-OMAT AR (Kodak diagnostic film cat 1651454) na presença de placas intensificadoras (Quanta III - Sigma) por períodos variáveis de 3 a 15 dias a -70°C.

#### **4. Sequenciamento dos subfragmentos:**

##### **a) Clonagem dos subfragmentos no plasmídio pUC19:**

Para a determinação da seqüência, os subfragmentos foram clonados no plasmídio pUC19 (APÊNDICE I) de dupla fita o que permite o sequenciamento nos dois sentidos. O vetor pUC19 (2686bp) foi preparado através da digestão com a enzima de restrição correspondente ao subfragmento sequenciado.

Para a reação de ligação utilizou-se 100ng de DNA do vetor e uma quantidade de subfragmento correspondente a 3 vezes o número de moles de DNA do vetor. Utilizou-se 1 unidade da enzima T4 DNA *ligase* e um volume final de reação de 10µl. A reação foi incubada durante à noite a 14°C.

**b) Preparação das células competentes:**

Os produtos das reações de ligação do plasmídio pUC19 com cada um dos subfragmentos foram transformados pelo método modificado de MANDEL, M. & HIGA, A. (1970) na linhagem DH5 $\alpha$  da bactéria *E.coli* (APÊNDICE I).

Para preparação das células competentes uma única colônia de *E.coli* DH5 $\alpha$  foi crescida em 5ml de meio LB por 16 horas a 37°C. Inoculou-se 500ml de meio LB com 1ml do pré-inóculo obtido durante à noite. Incubou-se sob agitação moderada (250rpm) até atingir a densidade aproximada de  $5 \times 10^7$  células/ml ( $DO_{550}=0,2-0,4$ ).

A cultura foi transferida para tubos de polipropileno e resfriada por 10 minutos no gelo, em seguida centrifugada a 3000 rpm por 10 minutos a 4°C. O sobrenadante foi descartado e o sedimento ressuspensionado em 1/3 do volume inicial da cultura (33ml) em solução SB (1,85g KCl; 2,22g MnCl<sub>2</sub>.4H<sub>2</sub>O; 0,38g CaCl<sub>2</sub>.2H<sub>2</sub>O; 5ml K-MES 0,5M pH 6,3/250ml solução), todas as suspensões foram transferidas para um mesmo tubo e incubadas por uma hora no gelo. A suspensão celular foi centrifugada novamente à 3000 rpm por 10 minutos a 4°C e o sobrenadante foi descartado. As células foram ressuspensionadas em um 1/12,5 do volume da cultura original (8ml) em solução SB e separadas em alíquotas de 200 $\mu$ l em tubos de microcentrífuga.

**c) Transformação bacteriana:**

Às células competentes, adicionou-se 2 $\mu$ l da reação de ligação. Misturou-se gentilmente e incubou-se no gelo por uma hora. Incubou-se a 42°C por 90 segundos e transferiu-se imediatamente para o gelo. Adicionou-se a seguir 0,8ml de meio LB e incubou-se a 37°C.

Uma alíquota de 200 $\mu$ l das células foi espalhada em placas de meio LB contendo ampicilina (50 $\mu$ g/ml) e X-gal previamente preparadas, e incubou-se durante a noite a 37°C. As colônias transformadas são reconhecidas pela cor branca, uma vez que as não transformadas desenvolvem coloração azul.

**d) Seleção das colônias e mini-preparação:**

Inoculou-se 5ml de meio LB contendo ampicilina (50 $\mu$ g/ml) com uma única colônia branca. Incubou-se durante a noite a 37°C sob agitação. Transferiu-se para um tubo de microcentrífuga 1,5ml da cultura e centrifugou-se por 30 segundos.

O sobrenadante foi descartado e o sedimento ressuspensiondo em 200 $\mu$ l de solução I (tris-HCl 25mM; glicose 50mM; EDTA 10mM). Adicionou-se 400 $\mu$ l de solução II (NaOH 0,2N; SDS 1%) recentemente preparada. Após misturar por inversão manteve-se por 5 minutos no gelo. Adicionou-se 300 $\mu$ l de solução III gelada (60ml acetato de potássio 5M; 11,5ml ácido acético glacial; 28,5ml de água), misturou-se bem e manteve-se no gelo por mais 10 minutos.

Centrifugou-se por 5 minutos à temperatura ambiente e transferiu-se 800 $\mu$ l do sobrenadante para outro tubo de microcentrífuga sem remover o precipitado floculoso. Adicionou-se 0,6 volumes (480 $\mu$ l) de isopropanol e após misturar bem, manteve-se 10 minutos à temperatura ambiente. Centrifugou-se 10 minutos à temperatura ambiente e o sedimento foi lavado com etanol 70%.

O sedimento foi ressuspensiondo em 50 $\mu$ l de TE contendo 20 $\mu$ g/ml de RNase. A análise dos insertos foi feita digerindo os plasmídios obtidos das mini-preparações com a devida enzima de restrição e observado em gel de agarose.

**e) Reação de sequenciamento:**

As reações de sequenciamento foram realizadas segundo o método de Sanger (SANGER *et al.*, 1977) utilizando-se o kit de sequenciamento *Sequenase*, versão 2.0, fabricado pela United States Biochemical. Para cada série de 8 reações, quatro diretas e quatro inversas, relativas a cada fita do DNA, utilizou-se 10 $\mu$ g de plasmídio ressuspensiondo num volume de 40 $\mu$ l de água. Os plasmídios obtidos nas mini-preparações foram previamente purificados por uma extração com fenol/clorofórmio/álcool isoamílico (5:24:1) e uma extração clorofórmio/álcool isoamílico (24:1) seguido de precipitação com 0,1 volume de acetato de sódio 2M e 2 volumes de etanol absoluto gelado. O precipitado foi finalmente lavado com etanol 70% e ressuspensiondo em água de forma a obter uma concentração final ajustada para 250 $\mu$ g/ml.

**e.1) Desnaturação:**

Adicionou-se 40 $\mu$ l de tampão de desnaturação (NaOH 0,4M; EDTA 0,4mM) em 40 $\mu$ l do plasmídio e incubou-se 5 minutos à temperatura ambiente. A seguir, adicionou-se 0,1 volumes de acetato de amônio 2M pH4,5 (8 $\mu$ l) e 2 vols. de etanol absoluto gelado (160 $\mu$ l), sendo os dois adicionados ao mesmo tempo.

Deixou-se precipitando à -20°C por uma hora. Centrifugou-se por 30 minutos a 4°C. O sedimento foi lavado com etanol 70% e ressuspensiondo em 15 $\mu$ l de água.

**e.2) Anelamento:**

Foram adicionados 2 $\mu$ l de tampão de reação e 1 $\mu$ l de *primer* (soluções que acompanham o kit) em 7 $\mu$ l do DNA e incubados a 37°C por 15 minutos. A seguir, manteve-se 10 minutos à temperatura ambiente. Para a reação direta adicionou-se *primer* universal, para a inversa o *primer* inverso.

**e.3) Reação:**

Preliminares: 2,5 $\mu$ l de cada um dos dideoxinucleotídeos (ddNTP) foram mantidos em banho-maria à 37°C. O *labelling mix* foi diluído em água na proporção de 2:8 e a enzima em um tampão específico (que acompanha o kit) na proporção de 1:7.

Foram colocados no tubo contendo o DNA anelado, 1 $\mu$ l de DTT 0,1M, 2 $\mu$ l do *labelling mix* diluído, 0,5 $\mu$ l de dATP marcado com  $^{35}$ S (correspondente à 5 $\mu$ Ci) e 2 $\mu$ l da enzima *Sequenase* diluída. Manteve-se 5 minutos à temperatura ambiente; 3,5 $\mu$ l da reação foram então colocados em cada um dos tubos contendo os ddNTPs e foram mantidos à 37°C por mais 5 minutos. Adicionou-se por fim 4 $\mu$ l da solução *stop* e levou-se ao gelo imediatamente. As reações foram mantidas a -20°C até o momento da aplicação no gel de poliacrilamida.

#### e.4) Preparação do gel:

Uma solução de acrilamida 40% foi preparada diluindo-se em água 38g acrilamida e 2g de N,N'-metilacrilamida num volume final de 100ml de solução. Essa solução foi desionizada colocando-se 1g de resina AG 501-X8(D) e mantendo-se sob agitação por uma hora. Preparou-se um gel contendo 5% de poliacrilamida para a corrida longa, e um gel a 6%, para uma corrida curta. A preparação do gel é feita colocando-se numa proveta de 100ml as seguintes substâncias:

33,6g de uréia

12ml de acrilamida 40% (para o gel a 6%) ou

10ml de acrilamida 40% (para o gel a 5%)

8ml de TBE 10X.

Adicionou-se água até 75ml e dissolveu-se em banho-maria a 60°C, completando-se com água até 80ml. Filtrou-se com membrana marca Millipore de 0,45µm.

Procedeu-se então a preparação e montagem das placas. Estas foram mantidas durante à noite em uma solução de NaOH 0,4N e na manhã seguinte, lavadas com água e detergente. Para desengordurar, passou-se etanol seguido de acetona.

A placa que aderiu o gel, foi tratada com uma mistura de 5ml de etanol 95%, 175µl de ácido acético e 17µl de *bind-silane* (fabricado pela Pharmacia cod. N°80 1129-41) e em seguida com mais 5ml de etanol 95%. A placa que repeliu o gel foi tratada com 5ml de *repel-silane* (fabricado pela Pharmacia cod. N°80 1129-42).

As placas foram montadas com a parte tratada para dentro e utilizou-se espaçadores com gradiente de espessura. Para ocorrer a polimerização do gel, na hora do uso adicionou-se à solução de poliacrilamida 640µl de perossulfato de amônio (100mg/ml) e 40µl de TEMED (Sigma cat. n°T-7024), vertendo-se o gel entre as placas. As placas foram mantidas em geladeira durante à noite para completa polimerização do gel.

Foram aplicados 2 $\mu$ l da reação, previamente desnaturada, em cada canaleta de ambos os géis 5% e 6%. A aplicação foi feita na ordem G, A, T e C e cada gel foi corrido à uma potência constante de 50 watts e à 2000 volts. Para finalizar a corrida do gel, a reação aplicada apresenta uma mistura de corantes contidos na solução *stop*. O gel de corrida curta (6%) foi interrompido após a saída do primeiro corante (aproximadamente 3 horas de corrida) e o gel de corrida longa (5%), manteve-se, após a saída do segundo corante, por mais 2 horas.

Ao serem desmontadas as placas, o gel foi fixado com uma solução de metanol 10% e ácido acético 12%, por meia hora sob agitação. As placas contendo o gel fixo foram secas durante a noite a 45°C e a seguir expostas em um filme X-OMAT AR (Kodak diagnostic film cat 1651454) por 2 dias.

„

### **5 -Análise das seqüências:**

A seqüência dos subfragmentos foram analisadas, utilizando-se o programa DNASIS versão 6.0 (fabricado pela Hitachi Software Engineering CO., LTD.), quanto ao mapa de restrição, tradução e análise de possíveis regiões promotoras (APÊNDICE II). As seqüências foram também enviadas via Bitnet para o banco de dados EMBL e GenBanK à fim de serem comparadas com outras seqüências já descritas (ALTSCHUL, *et al.*, 1990).

Os *primers* foram desenhados com o auxílio do programa OLIGO versão 3.4 (fabricado pela Wojciech Rychlik), e foram confeccionados pela GIBCO, BRL.

### **6 - Estimativa do número de cópias:**

A estimativa de quantas vezes uma dada seqüência se repete no genoma foi feita, comparando-se as intensidades das bandas obtidas na hibridização dessa seqüência, com DNA genômico e quantidades relativas conhecidas dela mesma clonada em plasmídio (GLICK, *et al.*, 1993).

Estas quantidades relativas conhecidas, foram calculadas comparando-se o tamanho do plasmídio contendo esta seqüência como inserto e o tamanho do genoma haplóide. Utilizando-se, a seguinte fórmula:

$$Mp = \frac{Tp + Ti \times Mg}{Tgh} , \text{ onde}$$

Mp = massa relativa do plasmídio mais inserto (correspondente à 1 cópia)

Tp = tamanho do plasmídio em bp

Ti = tamanho do inserto em bp

Mg = massa em  $\mu\text{g}$  de DNA genômico ( $10\mu\text{g}$ )

Tgh = tamanho do genoma humano haplóide em bp ( $3 \times 10^9$  bp)

Preparou-se um filtro com quantidades de plasmídio mais inserto equivalentes à 100, 50, 20 e 1 cópia. O plasmídio utilizado foi o pIBI-76, contendo o fragmento Y-1 como inserto. A massa para os respectivos números de cópias foi calculada, a partir de uma digestão deste plasmídio com a enzima *Hind* III, para que o fragmento Y-1 fosse liberado. No mesmo filtro foram colocados  $10\mu\text{g}$  de DNA genômico de homem (46,XY) e  $10\mu\text{g}$  de DNA de mulher (46,XX). A hibridização foi feita com o subfragmento Y-1.c. A intensidade das bandas obtidas foi lida utilizando-se um densitômetro modelo ULTROSCAN XL (Pharmacia - LKB). A curva padrão foi feita comparando-se a absorbância das bandas obtidas com o número de cópias colocadas no filtro. A absorbância das bandas obtidas no DNA genômico foi relacionada no gráfico da curva padrão e, por regressão linear, foi calculado o número correspondente de cópias.

## 7 - Técnica de PCR:

Foi realizada a amplificação do subfragmento Y-1.c por PCR utilizando-se os primers E1 (GTT ATC TCC TCC ACT GTT CC) e E2 (AAT CCC AAC AAG ACC CAC TG), selecionados pelo programa OLIGO, que fornecem um produto de amplificação de 294 bp.

Foram testadas várias condições de reação, sendo que a que apresentou o resultado esperado foi a seguinte: 100ng de DNA genômico; 2mM de MgCl<sub>2</sub>; 50mM de KCl; 20mM de Tris-HCl pH 8,4; 3,5% de formamida; 15% de glicerol; 0,2mM de cada um dos dNTPs; 0,5µM de cada *primer* e 1,25U de *Taq* polimerase para um volume final de reação de 25µl.

Para a amplificação foram realizados 30 ciclos de 94°C, por 45 segundos, 55°C, por 30 segundos e 72°C, por 30 segundos. Finalmente um último ciclo foi realizado de 94°C, por 45 segundos, 55°C, por 30 segundos e 72°C, por 5 minutos.

Em todas as reações de amplificação, o material foi submetido a um ciclo inicial de 94°C, por 5 minutos, após este tempo a enzima era então acrescentada à reação.

Os produtos de amplificação foram separados por eletroforese em gel de agarose *Nusieve* 2% em tampão de corrida TBE. Foram colocados 5µl de cada reação no gel.

Foram realizadas reações de controle negativo (branco) e controle positivo (20pg de plasmídio contendo como inserto a seqüência Y-1.c).

#### **8 - Conservação da seqüência Y-1:**

A seqüência Y-1.c foi hibridizada pelo método de Southern com amostras de DNA de várias espécies de mamíferos para determinar a presença de seqüências homólogas e, caso existissem, se elas eram específicas de um sexo em particular.

##### **a) Espécies utilizadas:**

As amostras de sangue ou de DNA já extraído dos macacos analisados foram enviadas pelo Dr. Horálio Schneider da Universidade Federal do Pará, que detém tradição no estudo citogenético de espécies de primatas brasileiros. Dessa forma, as amostras com a classificação sistemática definida e as espécies estudadas foram as seguintes:

*Cebus nigrivitattus* (macaco prego)  
*Saimiri sciureus* (macaco-de-cheiro)  
*Ateles belsebuth* (macaco aranha)  
*Lagothrix lagotricha* (macaco barrigudo)  
*Aotus azarae* (macaco-da-noite)

Quanto às outras espécies de mamíferos, as amostras foram obtidas em laboratórios do Instituto de Biologia, UNICAMP, e referem-se à animais de uso corrente em pesquisa e são: boi, coelho e camundongo.

**b) Extração de DNA de sangue total de macacos:**

Foram coletados quantidades variáveis de sangue de diversas espécies de macacos com anticoagulante EDTA (1,2mg/ml). Centrifugou-se o sangue total a 3000rpm, à temperatura ambiente por 20 minutos. Transferiu-se cuidadosamente a camada de células brancas para um outro tubo de 15ml com tampa .

Adicionou-se a esse tubo, 4,75ml de STE, 0,125ml de SDS 20% e 0,1ml de ribonuclease a 10mg/ml . Incubou-se em banho-maria a 37°C por 1 hora, agitando suavemente os tubos de 15 em 15 minutos. A seguir, foram adicionados 100µl de proteinase K (10mg/ml) e incubou-se a 55°C durante a noite sob agitação suave.

Procedeu-se uma extração com 5ml de fenol. Agitou-se manualmente por inversão delicadamente durante 10 minutos. Incubou-se em gelo por 10 minutos e a seguir, centrifugou-se a 4000rpm na temperatura de 4°C , por 30 minutos.

A camada superior (sobrenadante) foi transferida para outro tubo tipo Falcon. Em seguida, uma outra extração foi feita com 5 ml de uma mistura 1:1 de fenol e clorofórmio/álcool isoamílico (24:1). Agitou-se por 10 minutos e centrifugou-se a 4000rpm por 30 minutos a 4°C.

A última extração foi feita com 5ml de clorofórmio/álcool isoamílico. O sobrenadante foi transferido para um tubo de polipropileno e o DNA foi precipitado adicionando-se igual volume de etanol absoluto gelado e 1/20 volumes de acetato de sódio 3M, pH5,2 e mantendo-se a -20°C durante à noite.

Centrifugou-se a 7500rpm, a 4°C, por 30 minutos. O sedimento foi lavado com etanol 70%. Depois de seco o DNA foi ressuspensido com quantidade apropriada de TE e a concentração foi lida em espectrofotômetro.

**c) Extração de DNA de amostras de tecidos de coelho e camundongo:**

Coletou-se os órgãos (figado, rins ou baço) de coelho e camundongo. A amostra foi colocada em tubo tipo Falcon e congelada no freezer a -70°C até o momento de sua extração.

Retirou-se os órgãos do freezer para descongelar em cima de uma placa de Petri esterilizada, incubada sobre gelo. Retirou-se 500mg de material que foi macerado até se tornar homogêneo .

Ao tecido macerado foi acrescentado 50ml de STE com 0,5ml de proteinase K (10mg/ml) e 2,5ml de SDS a 10%. Colocou-se num tubo de centrífuga e deixou-se sob agitação a 51°C durante a noite.

Adicionou-se igual volume de fenol/clorofórmio/álcool isoamílico (25:24:1) e misturou-se por inversão durante 10 minutos. Incubou-se em gelo por 10 minutos e em seguida centrifugou-se a 3000rpm por 20 minutos na temperatura de 4°C.

Outras duas extrações foram repetidas com fenol. A seguir, foram feitas duas extrações com igual volume de clorofórmio/álcool isoamílico (24:1) nas mesmas condições das extrações anteriores.

O sobrenadante foi transferido para um tubo de polipropileno. Adicionou-se igual volume de etanol absoluto gelado e 1/20 do volume total de acetato de sódio 3M, pH 5,2 para precipitar o DNA. O tubo foi mantido em freezer a -20°C durante a noite.

Na manhã seguinte, centrifugou-se por 20 minutos, a 7500rpm na temperatura de 4°C. O sedimento foi lavado com 10ml de etanol 70% e, depois de seco, ressuspensido com volume apropriado de TE. A concentração do DNA foi aferida em espectrofotômetro.

A digestão, eletroforese, transferência para o filtro e hibridização foram feitas como descrito para o DNA genômico humano (ítem 3).

## *RESULTADOS E DISCUSSÃO*

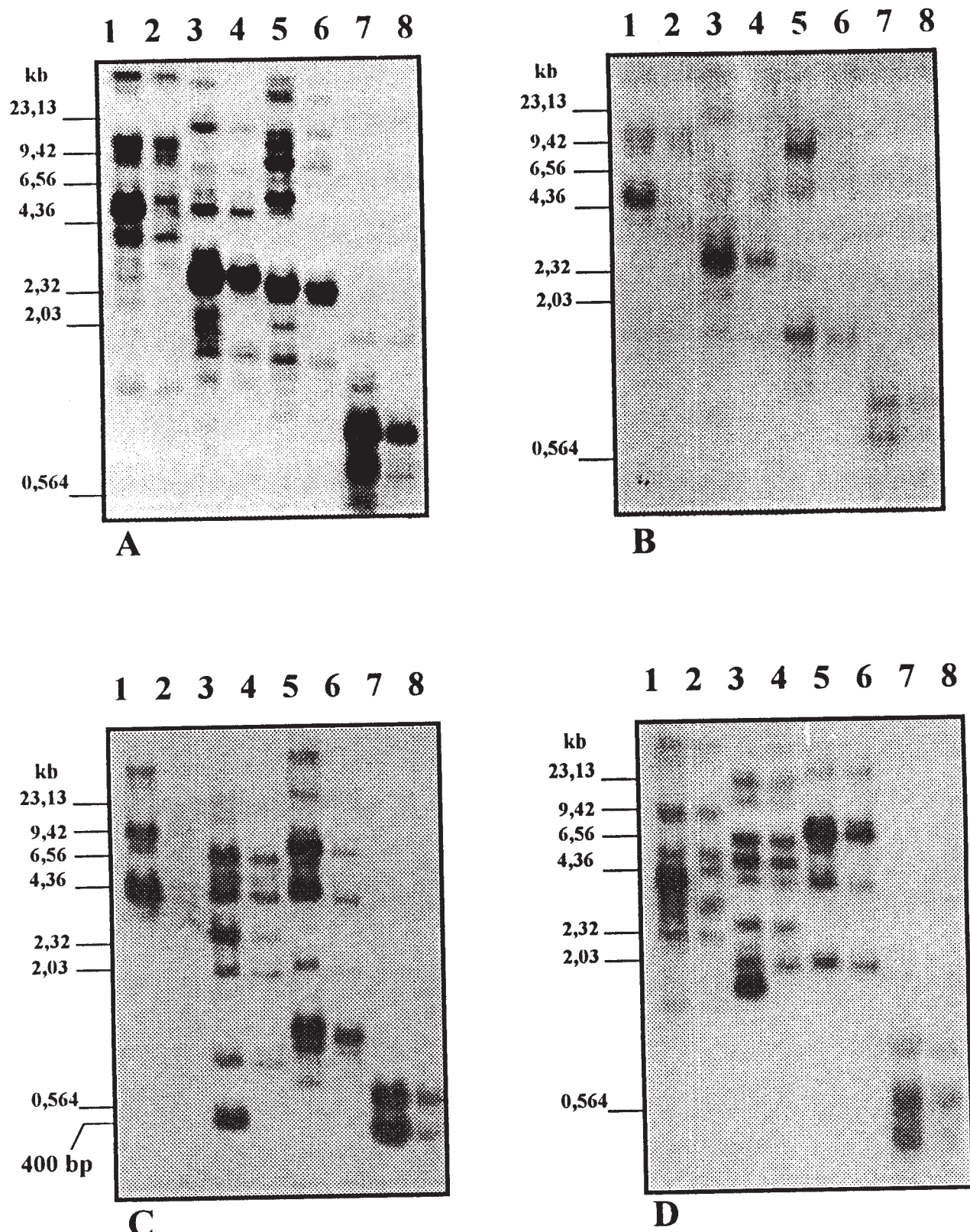
## RESULTADOS E DISCUSSÃO

### 1 -Análise quanto à especificidade:

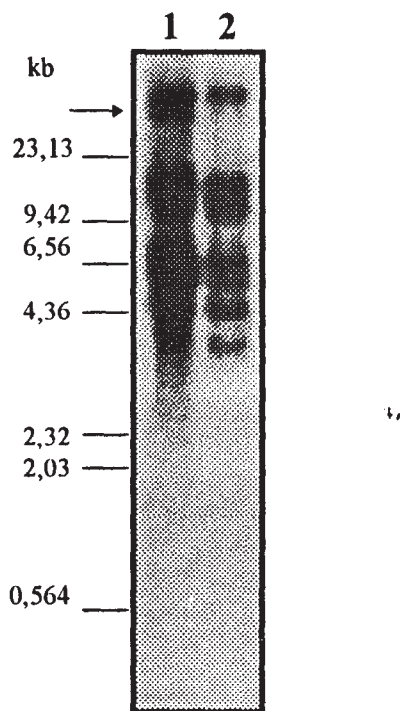
O estudo da especificidade da seqüência Y-1 foi iniciado repetindo-se experimentos realizados por NOVAIS (1990). Cada subfragmento, obtido através do mapa de restrição da seqüência Y-1 (figura 5), foi hibridizado com DNA genômico de origem masculina (46,XY) e feminina (46,XX), digeridos com as enzimas *Hind* III, *Eco* RI, *Bgl* II e *Hae* III. Estas enzimas foram escolhidas ao acaso e a hibridização foi feita em condições de alta estringência. As bandas detectadas por estes subfragmentos são mostradas na figura 6.

Quando se observa o resultado da hibridização com o subfragmento Y-1.b1 (figura 6B) o qual foi determinado como o mais Y-específico por NOVAIS (1990), são realmente visualizadas bandas Y-específicas para as diferentes enzimas usadas. Entretanto, posteriormente observou-se que este resultado é muito sensível à variação nas condições do experimento, ou seja, uma pequena diminuição da estringência resulta em um padrão muito menos específico. Na figura 7, pode-se observar a hibridização deste subfragmento com DNA de homem 46,XY e mulher 46,XX, digeridos com *Hind* III em condições de baixa estringência. Apenas uma banda, supostamente Y-específica é visualizada. Entretanto, esta banda deve ser atribuída à uma homologia parcial, já que ela nem aparece nas condições de alta estringência.

O subfragmento Y-1.c de 400 bp (figura 6C), outro lado, embora exiba diversas bandas homólogas em homem e mulher evidencia uma banda Y-específica de 400 bp, quando o DNA genômico é digerido com a enzima *Eco* RI. Este resultado é muito interessante porque esta banda por ser do mesmo tamanho do subfragmento, representa o seu próprio *locus*.



**Figura 5** - Subfragmentos (A) Y-1.b2, (B) Y-1.b1, (C) Y-1.c e (D) Y-1.a, hibridizados com DNAs de homem (46,XY - 1, 3, 5 e 7) e mulher (46,XX - 2, 4, 6 e 8) digeridos com *Hind* III (1 e 2), *Eco* RI (3 e 4), *Bgl* II (5 e 6) e *Hae* III (7 e 8).



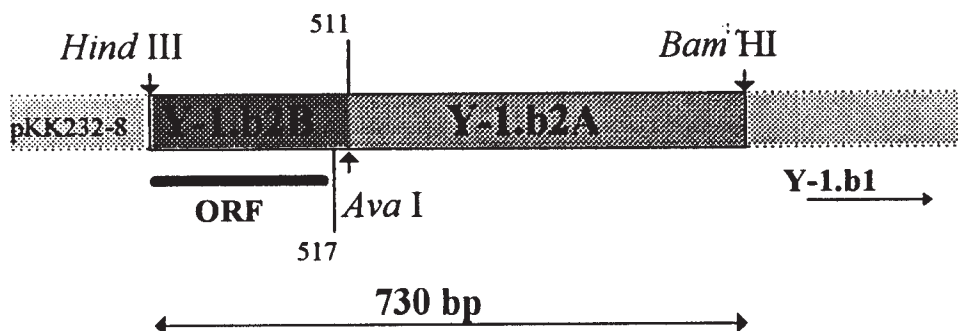
**Figura 7** - Sonda Y-1.b1 hibridizada com DNA de homem (46,XY - 1) e mulher (46,XX - 2) digeridos com *Hind III*, em condições de baixa estringência. A flecha indica a banda Y-específica.

Esta banda, que é, portanto, *locus*-específica, foi utilizada em outras abordagens, tais como, estudos de homologias e conservação nas espécies, estimativa do número de cópias, determinação de *primers* para utilização da técnica de PCR e localização do fragmento Y-1 no cromossomo Y.

O subfragmento Y-1.b2, por outro lado, quando foi sequenciado para a pesquisa de regiões promotoras (resultados discutidos no item 5) demonstrou ser uma seqüência de 730 bp que apresenta uma cadeia aberta de leitura de 71 aminoácidos (ORF - *open reading frame*) com início na base 517 da seqüência e no sentido de restrição *Bam HI* → *Hind III*.

A descoberta deste ORF no subfragmento Y-1.b2, sugere a presença de uma seqüência única nesta região, que talvez estivesse somente presente no cromossomo Y.

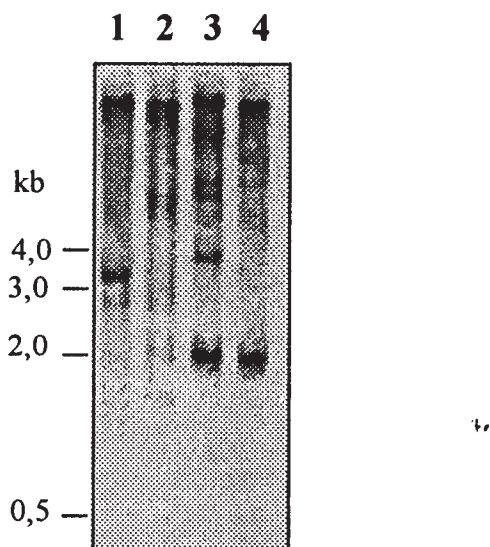
À fim de se analisar a especificidade deste ORF, o subfragmento Y-1.b2 foi digerido com a enzima de restrição *Ava* I, a qual corta na base 511 e gera dois outros subfragmentos como mostra a figura 8.



**Figura 8 - Mapa de restrição do subfragmento Y-1.b2.**

Destes novos subfragmentos gerados (Y-1.b2A e Y-1.b2B) o subfragmento Y-1.b2B, que contém praticamente só o ORF, foi hibridizado com DNA genômico de origem masculina e feminina digeridos com as enzimas *Hind* III e *Bgl* II. Um padrão específico é observado (figura 9), evidenciando a importância da seqüência pela presença de regiões promotoras (resultados discutidos no item 5).

Desta forma, tanto o subfragmento Y-1.c quanto o subfragmento Y-1.b2B se prestam para a utilização como sondas quando a intenção é detectar o cromossomo Y, uma vez que ambos apresentam um padrão diferencial que permite distinguir o DNA de origem masculina daquele de origem feminina.

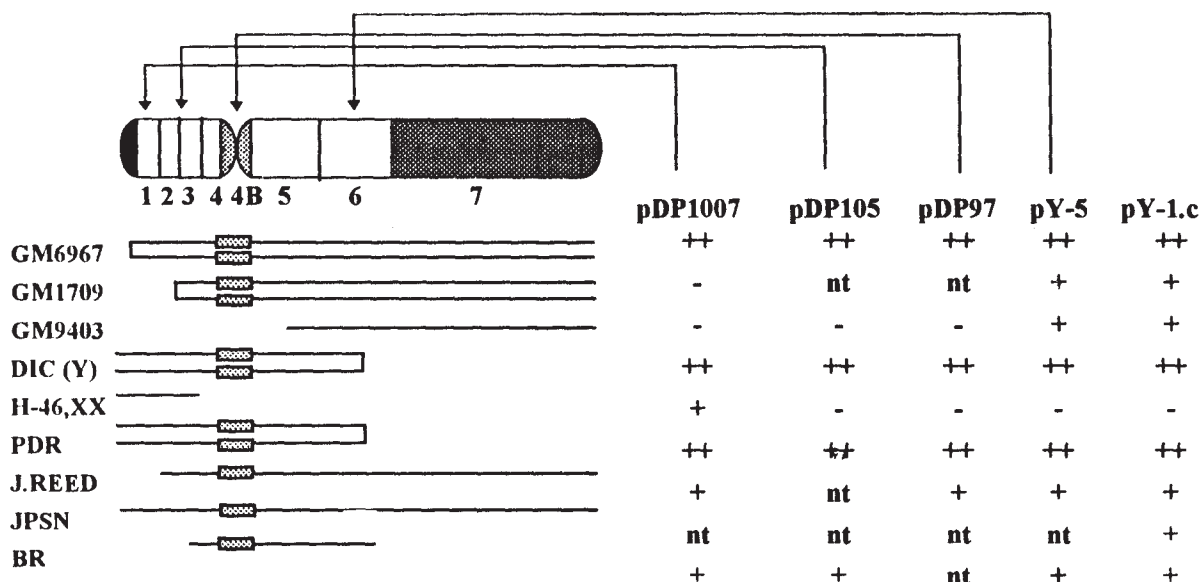


**Figura 9** - Subfragmento Y-1.b2B hibridizado com DNA genômico de origem masculina (46,XY - 1 e 3) e feminina (46,XX - 2 e 4), digeridos com as enzimas *Hind* III (1 e 2) e *Bgl* II (3 e 4).

## 2 - Localização da seqüência no cromossomo Y:

O mapeamento do fragmento Y-1 foi feito utilizando um conjunto de linhagens celulares que apresentavam diferentes aberrações estruturais no cromossomo Y. O subfragmento Y-1.c foi utilizado como referência para a localização, mais precisamente, observou-se a presença ou ausência da banda *locus*-específica de 400 bp.

O esquema da figura 10, mostra a porção do cromossomo Y presente em cada linhagem celular, bem como, os resultados obtidos nas hibridizações e a região do cromossomo Y detectada por cada sonda previamente descrita por outros pesquisadores. Deve ser salientado que a porção do cromossomo Y descrita estar presente em cada linhagem celular baseou-se, inicialmente, em dados citogenéticos (cariótipos na tabela 1) e, portanto, está sujeita à imprecisões. Por isso, utilizamos outras sondas para incrementar o nível de resolução.



**Figura 10** - Esquema representativo mostrando a porção do cromossomo Y presente em cada linhagem celular e a localização das sondas utilizadas (nt = não testado).

Analizando os resultados, observa-se que a banda de 400 bp do subfragmento Y-1.c, somente não apareceu na hibridização com a linhagem de um homem 46,XX (H-46,XX) que contém a região pseudoautossômica (PAR), os intervalos 1, 2 e parte do intervalo 3 do cromossomo Y (FARAH *et al.*, 1991). A partir destes resultados, duas hipóteses podem ser formuladas à respeito deste mapeamento: 1) o fragmento Y-1 se encontra nos intervalos 5-6, pois esta é a região comum à todas as linhagens que apresentaram resultado positivo, ou 2) esta seqüência se encontra dispersa por todo o cromossomo, exceto na região presente no homem XX.

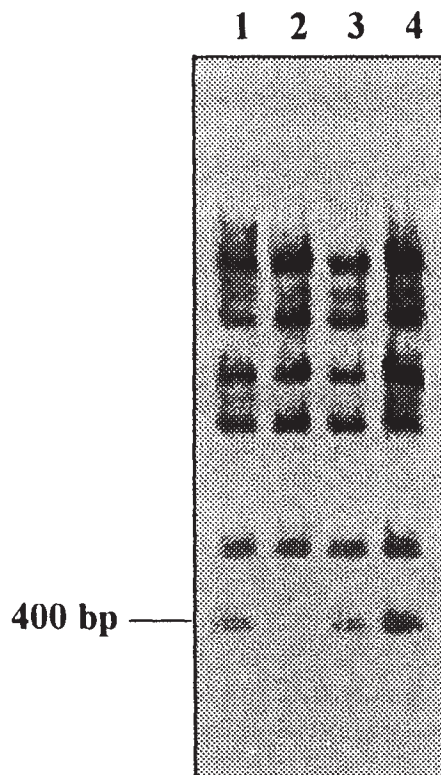
A hibridização com DNA do paciente JPSN foi realizada, na tentativa de se obter um resultado mais preciso por exclusão. Este paciente foi selecionado para estudo em um projeto em desenvolvimento no laboratório de Genética Humana do

CBMEG (Centro de Biologia Molecular e Engenharia Genética), o qual pretende relacionar pacientes que apresentam azoospermia idiopática com a presença de microdeleções no intervalo 6 do cromossomo Y. Uma vez que o gene **AZF**, que controla a espermatogênese, foi mapeado no intervalo 6, acredita-se que a presença de microdeleções nesta região poderia interromper a função deste gene levando ao desenvolvimento de homens estéreis.

Realmente usando-se um painel de 15 sondas demonstrou-se no paciente JPSN uma microdeleção no intervalo 6, a qual se estende dos intervalos VII à VIII e que poderia justificar, sua azoospermia (RAMOS *et al.*, 1993) Desta forma, a hidridização da seqüência Y-1.c com DNA deste paciente poderia trazer informações interessantes sobre a localização da seqüência Y-1 no cromossomo Y. Se o resultado fosse negativo, poderíamos afirmar que o 'subfragmento Y-1.c se encontra na região deletada no cromossomo Y do paciente. Entretanto, o resultado da hibridização foi positivo (figura 11), não sendo possível então concluir se este subfragmento se encontra realmente no intervalo 6. Nesta hibridização o irmão normal do paciente foi colocado como controle para afastar a possibilidade de polimorfismos. Por outro lado, deve-se considerar que a microdeleção presente no paciente não envolve toda a região de interseção das linhagens utilizadas na figura 10, não sendo possível também descartar a hipótese de que o subfragmento se encontra nas regiões 5-6.

Embora não tenhamos uma linhagem celular capaz de excluir ou de provar uma das duas hipóteses, a possibilidade da seqüência Y-1 estar restrita ao intervalo 5-6 nos parece a mais provável. Isto porque seria difícil se justificar o fato de uma seqüência, que aparece dispersa no cromossomo Y, não estar presente na PAR e nos intervalos 1, 2 e parte do 3, como ficou demonstrado no caso do homem 46,XX.

Evidentemente, seriam necessárias hibridizações com outras linhagens celulares para refinar o mapeamento da seqüência Y-1 no cromossomo Y. Mas, a simples possibilidade deste fragmento se encontrar no intervalo 6, já o torna especialmente importante em estudos de mapeamento do gene **AZF**. Por outro lado, a utilização da sonda Y-1.c em outros pacientes que apresentam microdeleções no intervalo 6, eventualmente nos fornecerá a precisa localização desta seqüência no cromossomo Y.



**Figura 11** - Sonda Y-1.c hibridizada com homem (46,XY - 1), mulher (46,XX - 2), paciente JPSN (3) e irmão do paciente JPSN (4), digeridos com a enzima *Eco RI*.

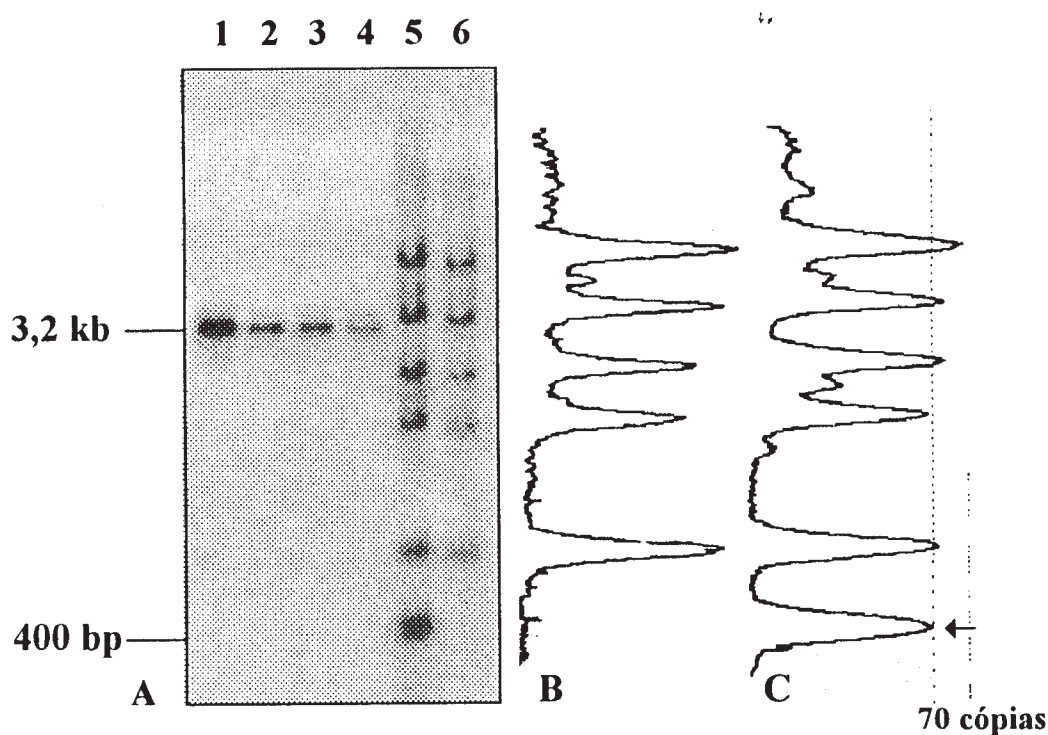
### 3 - Estimativa do número de cópias:

Um outro experimento para determinar o número de cópias do fragmento Y-1.c foi realizado, com a finalidade de se definir o quanto esta seqüência se encontra repetida no cromossomo Y.

Mais uma vez, seqüência Y-1.c foi utilizada como referência por ser *locus*-específica. Como já foi dito, ela apresenta a banda 400 bp que aparece quando o subfragmento é hibridizado com DNA de homem 46,XY, digerido com a enzima *Eco RI*. Esta banda representa o próprio subfragmento Y-1.c e foi usada para uma análise indireta da organização do resto da seqüência Y-1.

A figura 12-A mostra a autorradiografia obtida pela hibridização da sonda Y-1.c com quantidades conhecidas de cópias da seqüência Y-1 e DNA genômicos masculino e feminino digeridos com *Eco RI* (material e métodos página 32), a curva da figura 12-C mostra a absorbância de cada banda lida em densitômetro referente ao DNA genômico masculino.

Pelos resultados obtidos (figura 12-B e C), conclui-se que as bandas homólogas em DNA masculino e feminino apresentam aproximadamente o mesmo número de cópias e, considerando-se imprecisões inerentes ao método, estimou-se que a banda Y-específica de 400 bp se encontra repetida no cromossomo Y aproximadamente 70 vezes.

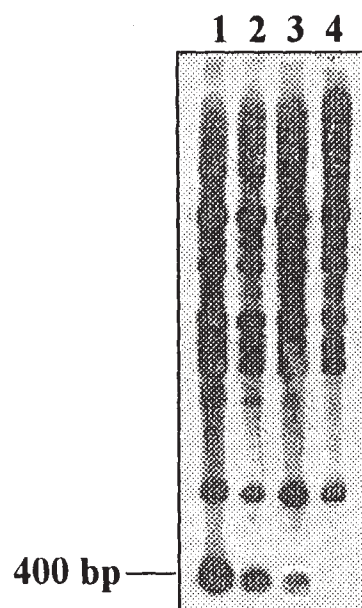


**Figura 12 - (A)** - Hibridização da sonda Y-1.c com filtro contendo: (1) - 100 cópias, (2) - 50 cópias; (3) - 20 cópias e (4) - 1 cópia da seqüência Y-1; (5) - DNA genômico masculino, 46,XY e (6) - DNA genômico feminino, 46,XX, digeridos com *Eco RI* - **(B)** - Absorbância lida em densitômetro referente à canaleta 6 (DNA genômico feminino) - **(C)** - absorbância lida em densitômetro referente à canaleta 5 (DNA genômico masculino). A flecha indica o pico de absorbância da banda Y-específica.

#### 4 - Homologias e conservação da seqüência:

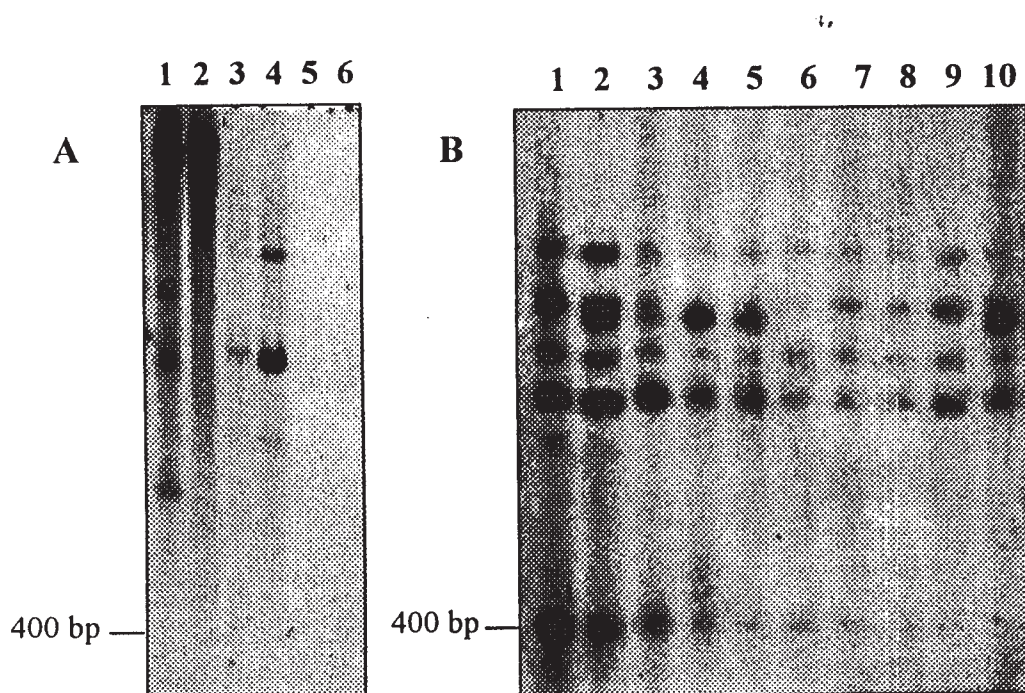
Dentre as diversas bandas detectadas pelo fragmento Y-1 quando é hibridizado com DNA genômico, algumas são Y-específicas, outras são comuns à DNAs de origem masculina e feminina.

O subfragmento Y-1.c também mostra este comportamento, isto é, exibe uma banda diferencial de 400 bp e bandas comuns à homem e mulher. Este padrão de bandas deve ser resultado da homologia entre o cromossomo Y e autossomos. Isto pode ser comprovado observando-se a figura 12, onde a intensidades das bandas comuns nos DNAs de origem masculina e feminina é praticamente a mesma. O mesmo pode ser concluído quando este subfragmento é hibridizado com linhagens celulares onde o número de cromossomos X é aumentado, neste caso as bandas comuns não variam de intensidade. Por outro lado, quando o número de cromossomos Y é aumentado, a banda de 400 bp aumenta de intensidade. Resultados mostrados na figura 13.



**Figura 13** - Sonda Y-1.c hibridizada com DNA 46,XXXX (1), 46,XYY (2), 46,XY (3) e 46,XX (4), digeridos com a enzima *Eco RI*.

A seqüência Y-1.c também foi hibridizada com DNA de origem masculina e feminina de várias espécies de macacos, boi, coelho e camundongo. Quanto à especificidade da banda de 400 bp, em macacos ela é conservada em todas as espécies estudadas mas, não é Y-específica, aparecendo em igual intensidade em machos e fêmeas. Em bovinos observa-se uma banda Y-específica mas, de tamanho maior que 400 bp. No coelho uma mesma banda de tamanho maior que 400 bp é visualizada em macho e fêmea. Entretanto, nenhuma banda é observada na hibridização com DNA genômico de camundongos macho ou fêmea. A figura 14, mostra o resultado das hibridizações com camundongo, coelho e boi e com algumas espécies de macacos. A tabela 3 mostra resumidamente o resultado obtido nessas hibridizações.



**Figura 14** - Hibridização da sonda Y-1.c com (A) boi (1), vaca (2), coelho (3), coelha (4), camundongo macho (5), camundongo fêmea (6); (B) macaco prego macho (1, 2) macaco-de-cheiro macho (3, 4), macaco aranha (5, 6), macaco barrigudo (7, 8) e macaco-da-noite (9, 10); (1, 3, 5, 7 e 9) machos e (2, 4, 6, 8 e 10) fêmeas.

<b>ESPÉCIE</b>	<b>MACHO</b>	<b>FÊMEA</b>	<b>TAMANHO (bp)</b>
cainundongo	-	-	-
coelho	+	+	≠ 400
boi	+	-	≠ 400
macaco	+	+	400
homem	+	-	400

**Tabela 3** - Resultado das hibridizações do subfragmento Y-1.c com diferentes espécies. Hibridização positiva (+) e negativa (-).

Como não foi observado qualquer homologia desta seqüência com camundongo, outras espécies de aves e anfíbios, por exemplo, nem foram testadas, por estarem ainda mais distantes na escala evolutiva.

A seqüência Y-1.c, portanto, de ausente em camundongos à Y-específica em humano, sofreu uma clara expansão no genoma em geral e uma tendência de particularização ao cromossomo Y. É possível que essa seqüência pertença ao grupo daquelas que se duplicaram e se tornaram dispersas no genoma, como ocorreu, por exemplo, com diversas famílias de multigenes.

Seqüências que sofreram expansão e contração durante o processo evolutivo, apresentam grande variabilidade como tem sido demonstrado com relação as seqüências da região pseudoautossômica (YEN et al., 1988). Isto poderia justificar a não conservação da seqüência Y-1.c, como foi verificado pela sua ausência já em camundongos.

Ao longo da evolução, seqüências homólogas à Y-1.c devem ter acumulado inúmeras mutações de forma que os sítios de restrição sofreram alterações gerando bandas de tamanhos diferentes de 400 bp. Esse fenômeno é bem descrito com relação ao cromossomo Y e resulta em genes não-funcionais, o que justifica a alta freqüências de pseudogenes nesse cromossomo em relação aos outros (NAKAHORI et al., 1991).

Por outro lado, a seqüência Y-1.c presente atualmente no cromossomo Y humano deve ter sofrido pressões evolutivas levando à sua particularização neste cromossomo.

Assim como a região pseudoautossômica indica os caminhos na evolução humana, estudos de homologias de seqüências do cromossomo Y podem francamente mostrar outros processos evolutivos ocorridos.

Estudos evolutivos com o DNA mitocondrial, com estrita herança materna têm indicado que a origem de todas as mitocôndrias contemporâneas humanas são descendentes de uma única mulher que viveu há 200.000 anos, da mesma forma, estudos nas regiões polimórficas do cromossomo Y têm buscado o "pai" de todos nós (GIBBONS, 1991).

#### **5- Sequenciamento do subfragmento Y-1.c, seleção dos *primers* e padronização da PCR:**

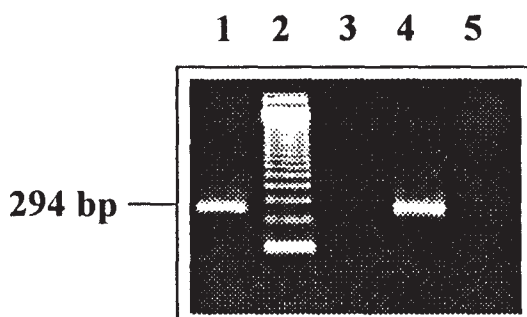
O subfragmento Y-1.c foi sequenciado por ser *locus*-específico e portanto, o mais favorável para ser amplificado em técnica de PCR para identificação desta seqüência em estudos clínicos. A seqüência Y-1.c possui 394 bp (APÊNDICE II). A análise da seqüência no programa DNASIS não revelou nenhuma região codificante, assim como a comparação com outras seqüências, quando enviada para os bancos EMBL e GenBank, não mostrou nenhuma homologia importante.

Para o desenho dos *primers* foram considerados diversos critérios. Procurou-se obter *primers* que não formassem dímeros entre si, ou pelo menos, que a formação dos dímeros não interferisse na reação de polimerização, por exemplo, obstruindo a extremidade 3' do *primer*. Foi levado também em conta o conteúdo de G+C, o qual influi diretamente na temperatura de anelamento garantindo-se que este conteúdo fosse no mínimo de 50%. Na escolha dos *primers* procurou-se alcançar a maior especificidade possível, isto é, que não apresentassem nenhuma homologia com o resto da seqüência e (ou) com a outra fita de DNA. A seleção dos *primers* foi feita utilizando-se o programa OLIGO, o qual considera também outros critérios, como entropia e energia livre, além de fornecer os dados teóricos para as condições de reação de PCR, como temperatura de anelamento e salinidade.

Os *primers* selecionados, **E1** (**GTT ATC TCC TCC ACT GTT CC**) e **E2** (**AAT CCC AAC AAG ACC CAC TG**), fornecem um produto de amplificação de 294 bp e estão localizados na seqüência na figura 16. As condições padronizadas para a reação de PCR a partir de DNA genômico utilizando os *primers* **E1** e **E2**, visou a amplificação específica do DNA de origem masculina. Após algumas tentativas, estas condições foram estabelecidas como descrito em material e métodos na página 33.

O resultado da reação de PCR é mostrado na figura 15, onde pode-se observar a presença da banda de 294 bp somente no controle positivo e no DNA genômico de homem 46,XY. A amplificação específica para DNA de origem masculina alcançada a partir destes *primers* torna a "seqüência Y-1.c uma importante ferramenta na identificação do cromossomo Y em qualquer linhagem com alteração neste cromossomo.

Uma vez obtida a localização precisa da seqüência Y-1 no cromossomo Y, os *primers* **E1** e **E2** terão também grande aplicação no emprego da técnica de PCR para a identificação de partes do cromossomo Y como acontece, por exemplo, em cromossomos marcadores



**Figura 15** - Resultado da reação de PCR utilizando os *primers* **E1** e **E2** da sonda Y-1.c. (1) Controle positivo - plasmídio pUC(19) + Y-1.c, (2) marcador 123 ladder, (3) controle negativo, (4) homem 46,XY e (5) mulher 46,XX.

10                          *primer superior* →                  40                  50  
 5' GAATTCAAAT TGTATCTGG TCCACTGTTG CCTGGAGTGC TAACAGGTGA

3' CTTAAGTTTA ACAATAGAGG AGGTGACAAG GGACCTCACG ATTGTCCACT

60                  70                  80                  90                  100  
 CAGAACATAGCT CAACTGTTGC TTTTACCAATA TGTAAAGTTA GGAGAAATCT

GTCTTATCGA GTTGACAACG AAAATGGTAT ACAATTCAAT CCTCTTTAGA

110                  120                  130                  140                  150  
 CAGAAAAAAA GGATATGGAG CACAAATCAG CAGGCAAGGC ACCCTATTGG

GTCTTTTTT CCTATACCTC GTGTTAGTC GTCCGTTCCG TGGGATAACC

160                  170                  180                  190                  200  
 TAAATCAAGC TCTGACAATA GTCCTATTGT AGGTCACTAT TCAAGGAAAA

ATTAGTTCG AGACTGTTAT CAGGATAACA TCCAGTGATA AGTTCCCTTT

210                  220                  230                  240                  250  
 CAATTTGAGG CTCTGGTCGA TACAGGAGCA GACGTGTCAT CATAGCTTT

GTTAAACTCC GAGACCAGCT ATGTCCTCGT CTGCACAGTA GTATCGAAAA

260                  270                  280                  290                  300  
 ATCAACGGCC CAAAAACTGA CCCAAACAAA AGGCCAGTG GGTCTTGTG  
 ← *primer inferior*  
 TAGTTGCCGG GTTTTGACT GGGTTGTTT TCCGGGTGAC CGAGAACAGA

310                  320                  330                  340                  350  
 GGATTGAGGA TTTGCTTATA TCTCACCAAGG AGAGAATCAA CTTCTTGTCT

CCTAACTCCT AAACGAATAT AGAGTGGTCC TCTCTTAGTT GAAGAACAGA

360                  370                  380                  390  
 GGGTACCCAC AAGACATCTT AAGCTGTGCC AGGAGCCAGA ATTC 3'

CCCCATGGGTG TTCTGTAGAA TTCGACACGG TCCTCGGTCT TAAG 5'

**Figura 16** - Sequência Y-1.c mostrando os *primers* E1 (superior) e E2 (inferior) selecionados para a amplificação da seqüência pela técnica de PCR.

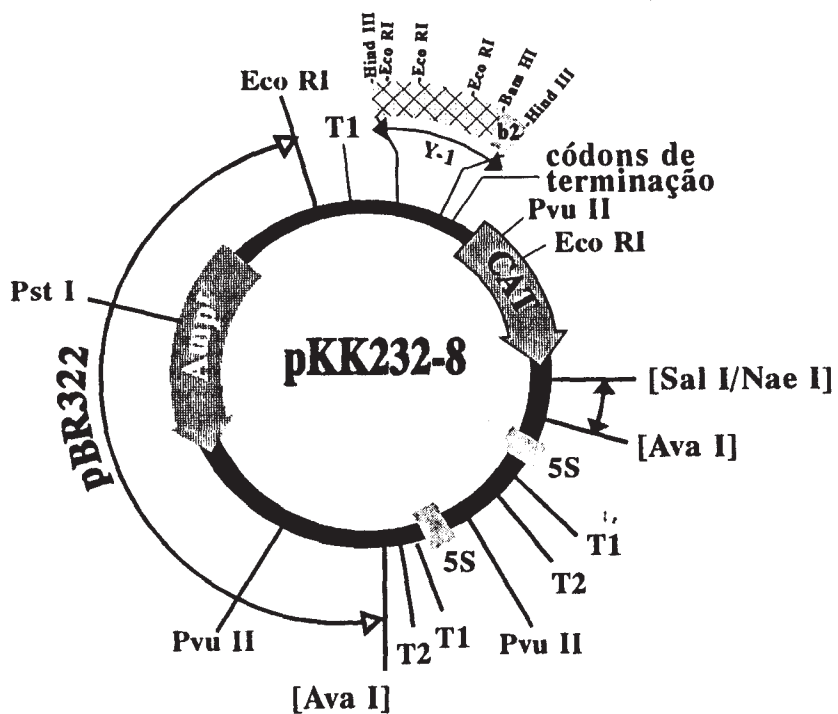
## 6 - Pesquisa de regiões promotoras:

O plasmídio pKK232-8 possui o gene que codifica a enzima cloranfenicol acetil-transferase (**CAT**) mas com ausência da sua região promotora. Os sítios de clonagem são situados antes do códon de iniciação deste gene, na construção do plasmídio. Desta forma, quando um inserto contendo uma região promotora é克lonado neste plasmídio, o gene **CAT** poderá ser transcrito, conferindo à bactéria transformada resistência ao cloranfenicol. O plasmídio pKK232-8 contendo a seqüência Y-1 como inserto, tornou a bactéria transformada resistente ao cloranfenicol numa concentração de 30 $\mu$ g/ml, sugerindo a presença de seqüências promotoras (NOVAIS, 1990).

Pela forma como o fragmento Y-1 foi克lonado no plasmídio, o subfragmento que se encontra mais próximo ao gene **CAT** é o Y-1.b2. Isto pode ser demonstrado por análise de restrição (NOVAIS, 1990). O mapa do plasmídio contendo o inserto é mostrado na figura 17. Este subfragmento foi então sequenciado à fim de se pesquisar regiões promotoras.

O subfragmento Y-1.b2, de restrição *Hind* III/*Bam* HI, possui 730 bp (APÊNDICE II). Sua seqüência foi enviada para os bancos de dados EMBL e GenBank via Bitnet, para ver se havia alguma homologia com outras já descritas. Nenhuma homologia significativa foi encontrada. Por outro lado, a análise no programa DNASIS mostra uma cadeia aberta de aminoácidos de 220 bp, com códon de iniciação metionina. Na posição -35 bp em relação a esta metionina, aparece uma TATA box e à -91 bp uma CAAT box, as quais são regiões promotoras consenso para organismos eucarióticos. Este esquema é mostrado na figura 18.

É difícil afirmar se foram as regiões promotoras detectadas no sequenciamento do fragmento Y-1.b2 que realmente provocaram a expressão do gene **CAT**. Outras análises seriam necessárias para esta confirmação como, por exemplo, experimentos que demonstram exatamente os sítios em que se ligam as subunidades da polimerase (*footprint*) ou a quantificação da enzima cloranfenicol acetil transferase. Entretanto, considerando-se os experimentos a que nos propomos realizar neste trabalho, não poderíamos esperar esclarecimentos maiores do que os obtidos com relação à regiões promotoras.

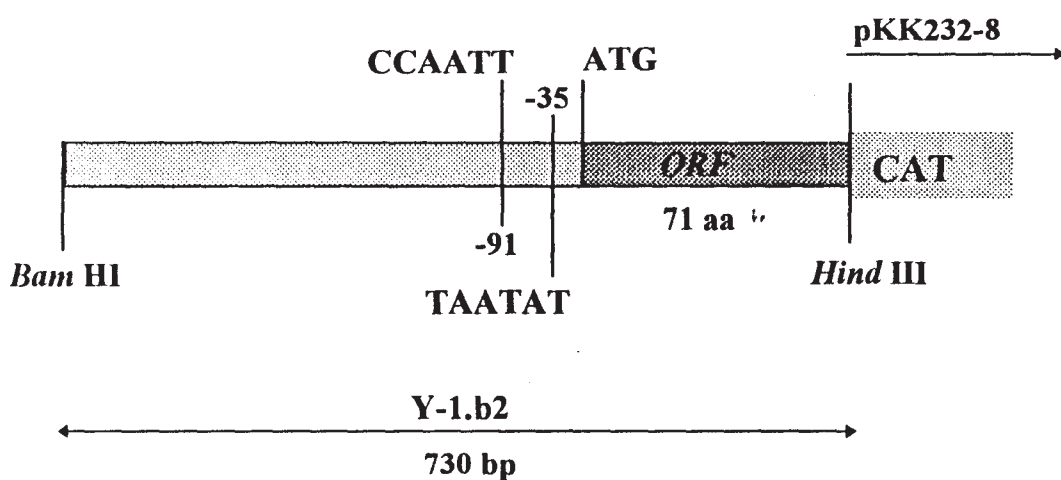


**Figura 17 - Plasmídio pKK232-8 contendo o fragmento Y-1 como inserto.**

Um fato importante a ser salientado, diz respeito às características do vetor pKK232-8, que foi construído exatamente com o objetivo de rastrear regiões promotoras. Este plasmídio possui códons de terminação nas três cadeias de leituras de aminoácidos anteriores à metionina de iniciação do gene **CAT**. Estes códons de terminação não permitem que haja a transcrição contínua do inserto clonado com o gene **CAT**, evitando a formação de um produto gênico híbrido, o que poderia impedir um estudo quantitativo da enzima cloranfenicol acetil transferase ou mesmo provocar a desestabilização da bactéria hospedeira.

A seqüência completa do subfragmento Y-1.b2 com uma parte do plasmídio pKK232-8 incluindo o códon de iniciação do gene **CAT** é mostrada na figura 19. Nesta seqüência são mostrados os códons de terminação, os sítios de clonagem e a cadeia aberta de aminoácidos (**ORF - open reading frame**) encontrada. As regiões promotoras consenso encontradas podem ter permitido a transcrição do gene **CAT**.

Embora, a expressão do ORF encontrado dentro do subfragmento Y-1.b2, não possa ser inferida nem na bactéria nem no genoma humano pelos resultados obtidos até então, a presença deste ORF sugere a existência de um gene. Deve-se considerar que, em organismos procariotos que não possuem introns, a probabilidade de se encontrar um ORF com 50 códons é menor que 10%, com 100 códons é menor que 1%, portanto, esta probabilidade seria ainda menor já que se trata de uma sequência em humano (BISHOP & RAWLINGS, 1987).



**Figura 18** - Esquema das regiões promotoras encontradas na seqüência Y-1.b2.

Apesar de alguns genes terem sido mapeados no cromossomo Y, são poucas as informações à respeito dos produtos por eles codificados. Embora o número de genes funcionais no cromossomo Y seja muito baixo em relação aos outros cromossomos, a possibilidade de se ter um gene ou parte dele já é argumento suficiente para maiores estudos. O ORF aqui encontrado poderia ser o início de um gene que foi restringido quando o fragmento Y-1 foi isolado, já que este segmento se encontra em um dos seus extremos. Esta seqüência assume uma especial importância quando considerarmos a possibilidade de ser parte de um gene ainda não isolado, uma vez que não apresenta homologia com genes já descritos e sequenciados. Além disso, provavelmente encontra-se no cromossomo Y humano dentro de uma região (intervalo 6) onde pelo menos três genes já foram mapeados (H-Y, GCY e AZF).

Embora seja discutível o fato de um promotor originário de um eucarioto estar se expressando num organismo procarioto, este sistema, já foi observado anteriormente por NEVE *et al.*, 1979. Entretanto, permanecem ainda incertas quais as regiões exatamente dos fragmentos eucarióticos que teriam sido reconhecidas pela RNA polimerase de *E.coli*.

**Bam HI**

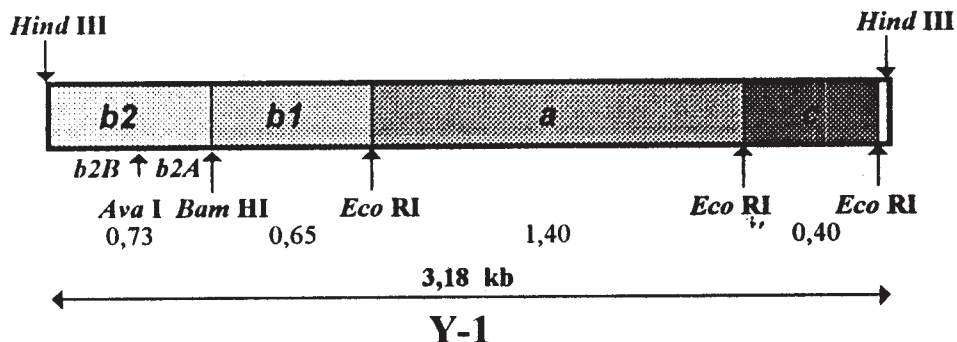
5'	10	20	30	40	50
	GGATCCTGTC	AAACTGAGTT	AAAAGAAGGA	TAATAGTAA	CAGGGTCATG
3'	CCTAGGACAG	TTTGACTCAA	TTTTCTTCCT	ATTATTCATT	GTCCCAGTAC
	↓ 60	70	80	90	100
	AATTTTTTC	CTGGTATCTT	CAGCATATA	TTCTGAGCTG	ATCAACAGCC
	TTAAAAAAAG	GACCATAGAA	GTCGTATATC	AAGACTCGAC	TAGTTGTCGG
	110	120	130	140	150
	TCATCACCCA	TTACCATCTG	TTGATTTACA	GTACCCAATG	CCTGTCCAAT
	AGTAGTGGGT	AATGGTAGAC	AACTAAATGT	CATGGGTTAC	GGACAGGTTA
	160	170	180	190	200
	TCCAAGCAAT	TGATCAGATG	TGATATTAAT	AAGAGGTTGG	GCCTGAGCAT
	AGGTTCGTTA	ACTAGTCTAC	ACTATAATTA	TTCTCCAACC	CGGACTCGTA
	210	220	230	240	250
	TTCTCGCCTG	CCTGACTTGT	TGCCCTTCATC	CTGTCCACCA	GGTTTTAAAT
	AAGAGCGGAC	GGACTGAACA	ACCGGAAGTAG	GACAGGTTGG	CCAAAATTAA
	260	270	280	290	300
	TGGAGAAATT	GAGATGGGGA	CAGGGTGGAT	TGAGGCTAATG	ACTCCAATCC
	ACCTCTTAA	CTCTACCCCT	GTCCCACCTA	ACTCGATTAC	TGAGGTTAGG
	310	320	330	340	350
	ATAGGTATTAA	AGGGCCTGTT	ATAAGCCGCG	AAATTATAAT	GAGGAATGAA
	TATCCATAAT	TCCCAGACAA	TATTGGCGC	TTTAATATTA	CTCCTTACTT
	360	370	380	390	400
	CCTCAGAAGA	ATTGCGCTA	TATTGTCCAA	TTGCTTTCTT	AAATTGCTTG
	GGAGTCTTCT	AAACCCGGAT	ATAACAGGTT	AACGAAAGAA	TTAACGAAC
	410	-91	430	440	450
	TCCAATTGCG	CCTATATTGT	<b>CCAAT</b> GCTT	TCTTAAATTG	CTTGTCCAAT
	AGGTTAAACC	GGATATAACA	GTGTTAACGAA	AGAATTAAAC	GAACAGGTTA
	460	470	-35	490	500
	TTGGGCCTAT	ATTGTCCAAT	TGCTTTTT <b>TAATAT</b> TTTAAA	AGAAAATGGC	
	AACCCGGATA	TAACAGGTTA	ACGAAAAATT	ATAAAAAATT	TCTTTTACCG
	510	<b>ORF</b> →	530	540	550
	TCCCAGCAGG	CCCGAGC	<b>ATG</b> TTCTCTGGGC	TCCTGAGCTG	GAGAAATAAT
	AGGGTCGTCC	GGGCTCGTAC	AAGAGACCCG	AGGACTCGAC	CTCTTTATTA
	560	570	580	590	600
	TACCAAGAAC	TGCCAAGCAT	CCAAATCCCC	CATTCTTGT	GCCTGTCAAA
	ATGGTCTTTC	ACGGTTCGTA	GTGTTAGGGG	GTAAAGAACAA	CGGACAGTTT
	610	620	630	640	650
	TGGATGCCCTG	AATTGCCCT	GCACCATAAT	TTGTATTTQG	ACTGGCTCAC
	ACCTACGGAC	TTAACGGGA	CGTGGTATTA	AACATAAAACC	TGACCGAGTG
	660	670	680	690	700
	AGCATTTC	TCCCACAAATT	ACAGGGTGGA	CAAGCCTGG	TCATTCCCTC
	TCGTAAAAAG	AGGGTGTAA	TTGTCCACCT	GTTGGACCT	AGTAAGGGAG
	710	720	Hind III pKK232.8 →	740	750
	ACCGTAATTG	GCTGTTGGGC	TGTTAACGCTT	GAGTAGGACA	AATCCGCCGA
	TGGCATTAAAC	CGACAACCCG	ACAATTGCAA	CTCATCCTGT	TTAGGGGGCT
	760	770	stop ↓	stop →	CAT → 800
	GCTTCGACGA	GATTTCAAGGAA	GCTAAAATG	AGAAATTAAT	
	CGAAGCTGCT	CTAAAAGTCC	TCGATTCCTT	CGATTTACG	TCCTTTTTTA

**Figura 19** - Seqüência Y-1.b2 contendo um trecho de seqüência do plasmídio pKK232-8.

## ***CONCLUSÕES***

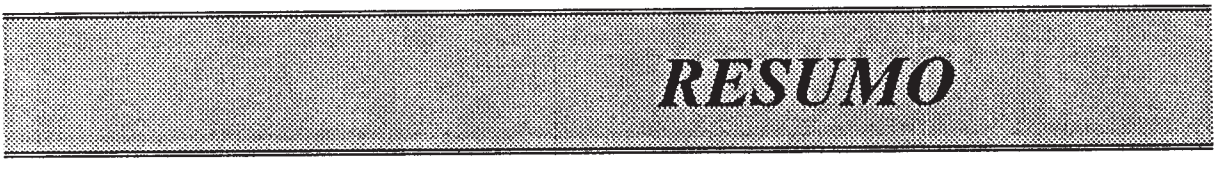
## CONCLUSÕES

A partir dos estudos realizados com a seqüência Y-1 isolada de um banco do cromossomo Y, a qual é composta pelos subfragmentos ilustrados abaixo, seguintes conclusões podem ser delineadas:



1. O subfragmento Y-1.b1, inicialmente considerado Y-específico, apresenta um padrão de hibridização extremamente variável com as condições de estringência, não sendo, portanto, ideal para ser utilizado como sonda na detecção do cromossomo Y humano.
2. O subfragmento Y-1.c é, por outro lado, a melhor região da seqüência Y-1 para reconhecer o cromossomo Y, pois produz uma banda *locus*-específica constante de 400 bp, somente quando hibridizado com DNA genômico humano de origem masculina. Por este motivo foi utilizado como sonda nos estudos de localização da seqüência no cromossomo Y, da estimativa do número de cópias, de homologia e conservação nas espécies e seleção de *primers* para posterior emprego da técnica de PCR.
3. Embora não tenha sido excluída a possibilidade da seqüência Y-1 estar distribuída ao longo de todo o cromossomo Y, com exceção da PAR e dos intervalos 1, 2 e parte do 3, os resultados das hibridizações da sonda Y-1.c com um painel de linhagens celulares apresentando alterações estruturais neste cromossomo, apontam fortemente que esta seqüência estaria restrita aos intervalos 5-6 do Yq.

4. A seqüência Y-1.c se repete no cromossomo Y humano aproximadamente 70 vezes e apresenta homologia com outras seqüências presentes nos autossomos.
5. A seqüência Y-1.c, durante a evolução, sofreu um processo de expansão e de particularização no cromossomo Y, passando de ausente em camundongos a Y-específica em humanos.
6. O sequenciamento do subfragmento Y-1.c revelou nas 394 bp, ausência de região codificante aparente e nenhuma homologia importante com outras seqüências já descritas.
7. Os *primers* selecionados a partir da seqüência Y-1.c, amplificam de maneira reproduzível em reações de PCR, um produto de 294 bp especificamente em DNA genômico de origem masculina.
8. O sequenciamento das 730 bp do subfragmento Y-1.b2, demonstrou a presença de um ORF de 71 aminoácidos com códon de iniciação para metionina, que se inicia na base 517 da seqüência sendo interrompido pelo sítio de restrição *Hind* III o qual encerra o fragmento Y-1. A presença de regiões promotoras consenso para eucariotos, com um TATA box à -35 bp e um CAAT box à -91 bp do códon de iniciação do ORF, sugere a existência de parte de um gene interrompido pela restrição do fragmento Y-1.
9. A porção do subfragmento Y-1.b2 que inclui o ORF (Y-1.b2B), apresentou um padrão de hibridização diferencial entre DNA genômico de origem masculina e feminina, se prestando também como sonda na identificação do cromossomo Y.
10. A caracterização da seqüência Y-1 permitiu identificar duas novas sondas para detecção do cromossomo Y (Y-1.b2B e Y-1.c), a produção de *primers* que amplificam uma seqüência Y-específica e a indicação de um gene em potencial.



## *RESUMO*

## RESUMO

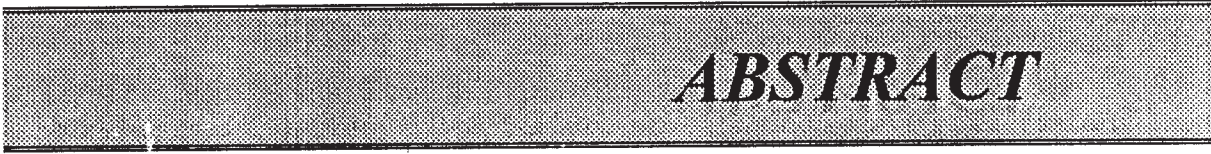
O cromossomo Y humano desempenha principalmente as funções de determinação do sexo masculino, relacionada com a presença do gene **SRY** no braço curto (Yp), e de controle da espermatogênese, regulada por gene(s) presente(s) no braço longo (Yq).

A relação entre a estrutura e função do cromossomo Y tem sido estudada através da análise molecular de seqüências de DNA derivadas deste cromossomo. Além disso, seqüências isoladas do cromossomo Y, quando bem caracterizadas, representam importantes ferramentas em estudos evolutivos e clínicos.

A seqüência de DNA Y-1 de aproximadamente 3,2 kb, foi isolada de um banco do cromossomo Y. Estudos prévios definiram quatro subfragmentos dentro desta seqüência (Y-1.a, Y-1.b1, Y-1.b2 e Y-1.c) a partir do mapa de restrição e sugeriram a presença de regiões promotoras.

Na expectativa de se isolar novas seqüências Y-específicas e possíveis genes, procedeu-se a caracterização detalhada do fragmento Y-1. Nossos resultados sugerem que o subfragmento Y-1.c sofreu uma expansão em mamíferos durante o processo evolutivo, tendendo a se restringir praticamente ao cromossomo Y, e que na espécie humana aparece repetida cerca de 70 vezes, provavelmente dentro dos intervalos 5-6 no braço longo deste cromossomo (Yq).

O subfragmento Y-1.c e parte do subfragmento Y-1.b2 (Y-1.b2B) apresentam padrão de hibridização Y-específico, tornando estas seqüências ideais para a utilização como sondas em estudos de identificação do cromossomo Y. O sequenciamento do subfragmento Y-1.c possibilitou a construção de *primers* que permitem a amplificação específica de DNA de origem masculina. A seqüência obtida a partir do subfragmento Y-1.b2 mostra regiões promotoras consenso para eucariotos e a presença de uma cadeia aberta de leitura (*open reading frame - ORF*) de 71 aminoácidos, sugerindo a existência de um gene.



***ABSTRACT***

## ABSTRACT

The main functions of the human Y chromosome are male sex determination, related to the presence of SRY on the short arm (Yp), and the regulation of spermatogenesis which is controlled by a gene(s) on the long arm (Yq).

The relationship between the structure and function of the Y chromosome has been studied by molecular analysis of DNA sequences derived from this chromosome. Isolated Y chromosome sequences, when well-characterized, represent important tools in evolutionary and clinical studies.

The DNA Y-1 sequence of approximately 3.2 kb,<sup>b</sup> was isolated from a Y chromosome library. Previous studies defined four fragments in this sequence (Y-1.a, Y-1.b1, Y-1.b2 and Y-1.c) based on restriction mapping and suggested the presence of promoter regions.

With the expectation of isolating new Y-specific sequences and possibly genes, we performed a detailed characterization of the Y-1 fragment. Our results suggest that the Y-1.c fragment has been expanded in mammals during their evolution, and is restricted almost exclusively to the Y-chromosome. The sequence is repeated about 70 times in humans, probably in the 5-6 intervals on the long arm of this chromosome (Yq).

The Y-1.c fragment and part of the Y-1.b2 fragment (Y-1.b2B) show a Y-specific hybridization pattern which makes these sequences ideal for use as probes in Y chromosome identification. The sequencing of the Y-1.c fragment allowed the design of primers for specific amplification of male DNA. The sequence obtained from the Y-1.b2 fragment reveals consensus promoter regions for eukaryotes as well as the presence of an open reading frame with 71 aminoacids, which suggest the existence of one gene.

***BIBLIOGRAFIA***

## BIBLIOGRAFIA

- ALTSCHUL, F. S.; GISH, W.; MILLER, W.; MEYERS, E. W.; LIPMAN, D. Basic local alignment search tool. *J. Mol. Biol.* **215**: 403-410, 1990.
- ALVESALO, L. & DE LA CHAPELLE, A. Tooth size in two males with deletions of long arm of the Y chromosome. *Am. Hum. Genet.* **54**: 49-54, 1981
- ANDERSON, M.; PAGE, D. C.; PETTAY, D.; SUBRT, I.; TURLEAU, C.; DE GROUCHY, J.; DE LA CHAPELLE, A. Y: autosome translocations and mosaicism in the aetiology of 45,X maleness: Assignment of fertility factor to distal Yq11. *Hum. Genet.* **79**: 2-7, 1988
- ARNEMANN, J.; JAKUBICZKA, S.; SCHÄFER, R.; EPPLEN, J. T. Clustered GATA repeats (*Bkm* sequences) on the human Y chromosomes. *Hum. Genet.* **73**: 301-303, 1986.
- BENVENISTE, R. S.; TODASO, C. J. Evolution of C type viral genes: evidence for any Asian origin of man. *Nature* **261**: 101-107, 1976.
- BISHOP, C. E.; GUELLAEN, G.; GELDWERTH, D.; FELLOUS, M.; WEISSENBACH, J. Extensive sequence homology between Y and other human chromosomes. *J. Mol. Biol.* **173**: 403-417, 1984.
- BISHOP, M. J.; RAWLINGS, J. *Nucleic acid and protein sequence analysis: a practical approach*. IRL Press Limited, Oxford, 1987.
- BOLIVAR, F.; BACKMAN, K. Plasmids of *Escherichia coli* as cloning vector. *Methods Enzymol.* **68**: 245, 1979.
- BOYER, H. W.; ROULLAND-DUSSOIX, D. A complementation analysis of the restriction and modification of DNA in *Escherichia coli*. *J. Mol. Biol.* **41**:469, 1969.

BLAGOWIDOW, N.; PAGE, D. C.; HUFF, D.; MENNTI, M.T. Ullrich-Turner syndrome in an XY female fetus with deletion of the sex-determining portion of the Y chromosome. *Am. J. Med. Genet.* 34: 159-162, 1989

BRIDGES, C. B. Non disjunction as proof of the chromosome theory of heredity. *Genetics* 1: 1-51, 107-163, 1916.

BROSIUS, J. Plasmid vectors for the selection of promoters. *Gene* 936:151-160, 1984.

CASPERSSON, T.; ZECH, L.; JOHANSSON, C.; MODEST, E. J. Identification of human chromosomes by DNA - binding fluorescent agents. *Chromosoma*, 30: 215-227, 1970. "

COOKE, H. Repeated sequence specific to human males. *Nature* 262: 182-186, 1976.

COOKE, H. J.; HINDLEY, J. Cloning of human satellite III: different components are on different chromosomes. *Nucl. Acids Res.* 6: 3177-3198, 1979.

COOKE, H. J.; SCHMIDTKE, J.; GOSDEN, J. R. Characterization of a human Y chromosome repeated sequence and related sequences in higher primates. *Chromosoma* 87: 491-505, 1982.

DAIGER, S. P. ; WILDIN, R. S.; SU T-S. Sequences on the Y-chromosome homologous to the autosomal gene for arginosuccinate syntetase. *Nature* 298: 682-684, 1982

DARLING, S. M.; BANTING, G. S. ; PYM, B.; WOLFE, J.; GOODFELLOW, P. N. Cloning and expressed gene shared by the human sex chromosome. *Proc. Natl. Acad. Sci. USA* 83: 135-135, 1986.

DITECHE, C. M.; CASANOVA, M.; SAAL, H.; FRIEDMAN, C.; SYBERT, V.; GRAHAM, J.; THULINE, H.; PAGE, D. C., FELLOUS, M. Small deletions of the short arm of the Y chromosome in 46,XY females. *Proc Natl. Acad. Sci. USA* 83: 7841-7844, 1986.

ELLIS, N. A.; GOODFELLOW, P. J.; PYM, B.; SMITH, M.; PALMER, M.; FRISCHAUF, A-M.; GOODFELLOW, P. N. The pseudoautosomal boundary in man is defined by an *Alu* repeat sequence inserted on the Y chromosome. *Nature* 337: 81-84, 1989

ELLISON, J.; PASSAGE, M.; YU, L-C.; YEN, P.; MOHANDAS, T. K.; SHAPIRO, L. Directed isolation of human genes that escape X inactivation. *Somat. Cell Mol. Genet.* 18: 259-268, 1992

ERLICH, H. A. GELFAND, D. H.; SAIKI, R. K. Specific DNA amplification. *Nature* 331: 461-462, 1988.

FARAH, S.B.; GARMES H.M.; CAVALCANTI D.P.; MELLO M.P.; PORRELLI R.N.; RAMOS, C.F.; SARTORATO E.L. Use of Y chromosome-specific DNA probes to evaluate an XX male. *Brazilian J. Med. Biol. Res.* 24: 149-156, 1991.

FARAH, S. B.; GRUENERT, D. C.; LEPERCQ, J. A.; CHUEH, J.; METZGER, A.; SARTORATO, E. L.; LEBO, R. V. GOLBUS, M. S. Isolation and characterization of Y chromosome DNA probes. *Biochem. Biophys. Res. Comm.* 189: 581-589, 1992.

FARAH, S. B.; RAMOS, C. F.; MELLO, M. P.; SARTORATO, E. L.; HORELLI-KUITUNEN, N.; LOPES, V. L. G. S.; CAVALCANTI, D. P.; HACKEL, C. Two cases of Y; autosome translocations: a 45,X male and a clinically trisomy 18 patient. *Am. J. Hum. Genet.* 49:388-392, 1994.

FEINBERG, A. P. & VOGELSTEIN, B. A technique for radiolabeling DNA restriction endonuclease fragments to high specific activity. *Anal. Biochem.* 132: 6, 1983.

FISCHER, E. M. C.; BEER-ROMERO, P.; BROWN, L. G.; RIDLEY, A.; McNEIL, J. A.; LAWRENCE, J. B.; WILLARD, H. F.; BIEBER, F. R. PAGE, D. C. Homologous ribosomal protein genes on the human X and Y chromosomes: Escapes from X inactivation and possible implications for Turner syndrome. *Cell* 63: 1205-1218, 1990

- FOOTE, S.; VOLLRATH, D.; HILTON, A. PAGE, D. C. The human Y chromosome: overlapping DNA clones spanning the euchromatic region. *Science* **258**: 60-66, 1992.
- FORD, C. E.; MILLER, O. J.; POLANI, P. E.; DE ALMEIDA, J. C.; BRIGGS, J. H. A sex-chromosome anomaly in a case of gonadal dysgenesis (Turner's syndrome). *Lancet* **I**: 711-713, 1959
- FRASER, N.; BALLABIO, A.; ZOLLO, M.; PERSICO, G.; CRAIG, I. Identification of complete coding sequences for steroid sulphatase on the human Y chromosome: evidence for an ancestral pseudoautosomal gene? *Development* **1015**: 127-132, 1987.  
"
- FREIJE, D.; HELMES, C.; MICHAEL, S. W.; DONIS-KELLER, H. Identification of a second pseudoautosomal region near Xq and Yq telomeres. *Science* **258**: 1784-1787, 1992.
- GIBBONS, A. Looking for the father of us all. *Science* **251**: 378-379, 1991.
- GLICK, R. B.; THOMPSON, J. E. *Methods in plant molecular biology and biotechnology*. CRC Press, Florida, 1993.
- GOLDBERG, E. H.; BOYSE, E. A.; BENNETT, D.; SCHEID, M.; CARSWELL, E. A. Serological demonstration of H-Y (male) antigen on mouse sperm. *Nature* **302**: 346-349, 1983.
- GOMEZ-PEDROZO, M.; MOHANDAS, T.; SPARKES, R.; SHAW, J-P.; HESS, J. F.; AYRES, T. M.; SHEN, C-KJ. Evolution of human cytoplasmatic actin gene sequences: chromosome mapping and structural characterization of three cytoplasmatic actin-like pseudogenes including one the Y chromosome. *J. Hum. Evol.* **16**: 215-230, 1987
- GOODFELLOW, P.; BANTING, G.; SHEER, D.; ROPERS, H. H.; CAINE, A.; FERGUSON-SMITH, M. A.; POVEY, S.; VOSS, R. Genetic evidence that a Y-linked gene in man is homologous to a gene on the X chromosome. *Nature* **302**: 346-349, 1983.

GOODFELLOW, P. N.; DARLING, S. M. Genetics of sex determination. *Development* 102: 251-258, 1988.

GOODFELLOW, P. N.; WEISSENBACH, J. Report of the committee on the genetic constitution of the Y chromosome. Human Gene Mapping. *Cytogenet. Cell. Genet.* 58: 967-985, 1991.

GOUCH, N. M.; GEARING, D. P.; NICOLA, N. A.; BAKER, E.; PRITCHARD, M.; CALLEN, D. F.; SUTHERLAND, G. R.; Localization of the human GM-CSF receptor gene to the X-Y pseudoautosomal region. *Nature* 345: 734-736, 1990

GUBBAY, Y. J.; COLLIGNON, J.; KOOPMAN, P.; CAPEL, B.; ECONOMOU, A.; MÜNSTERBERG, A.; VIVIAN, N.; GOODFELLOW, P.; LOVELL-BADGE, R. A gene mapping to the sex-determining region of the mouse Y chromosome is a member of a novel family of embryonically expressed genes, *Nature* 346: 245-250, 1990.

HANAHAN, D. Studies on transformation of *Escherichia coli* with plasmids. *J. Mol. Biol.* 166: 557.

HARLEY, V. R.; JACKSON, D. I.; HEXTALL, P. J.; HAWKINS, J. R.; BERKOVITZ, G. D.; SOCKANATHAN, S.; LOVELL-BADGE, R.; GOODFELLOW, P. N. DNA binding activity of recombinant SRY from normal males and XY females. *Science* 255: 453-456, 1992.

HENKE, A.; WAPENAAR, M.; VAN OMMEN, G. J.; MARASCHIO, P.; CAMERINO, G.; RAPPOLD, G. Deletions within the pseudoautosomal region help map three new markers and indicate a possible role of this region in linear growth. *Am. J. Hum. Genet.* 49: 811-819, 1991.

JACOBS, P. A. & STRONG, J. A. A case of human intersexuality having a possible XXY sex-determining mechanism. *Nature* 183: 302-302, 1959.

JAKUBICZKA, S; ARNEMANN, J; COOKE, HK.; KRAWCZAK, M;  
SCHMIDTKE, J. A search for restriction fragment length polymorphism on  
the human Y chromosome. *Hum. Genet.* **84**: 86-88, 1989.

KOLLER , P. C. & DARLINGTON, C. D. The genetical and mechanical  
properties of the sex chromosomes. *J. Genet.* **29**: 159-173, 1934.

KOOPMAN, P.; GUBBAY, J.; VIVIAN, N.; GOODFELLOW, P.; LOVELL-  
BADGE, R. Male development of chromosomally female mice transgenic for  
Sry. *Nature* **351**: 117-121, 1991.

LAU, E. C.; MOHANDAS, T. K.; SHAPIRO, L. J.; SLAVKIN, H. C.; SNEAD,  
M. L. Human and mouse amelogenin gene loci are on the sex chromosome.  
*Genomics* **4**: 162-168, 1989.

LEVILLIERS, J.; QUACK, B.; WEISSENBACH, J. PETIT, C. Exchange of  
terminal portions of X- and Y-chromosomal short arms in human X-Y  
females. *Proc. Natl. Acad. Sci. USA* **86**: 2296-2300, 1989.

MA, K.; SHARKEY, A.; KIRSCH, S.; VOGT, P.; KEIL, R.; HARGREAVE, T.  
B.; McBEATH, S.; CHANDLEY, A. C. Towards the molecular localization  
of the AZF locus: mapping of microdeletions in azoospermic men within 14  
subintervals of interval 6 of the human Y chromosome. *Hum. Mol. Gen.* **1**:  
29-33, 1992.

MANDEL, M. & HIGA, A. Calcium dependent bacteriophage DNA infection. *J.  
Mol. Biol.* **53**: 159, 1970.

MAGENIS, R. E.; TOMAR, D.; SHEEHY, R.; FELLOUS, M.; BISHOP, C.;  
CASANOVA, M. Y short arm material translocated to distal X short arm in  
XX males: evidence from in situ hybridization of a Y specific single copy  
DNA probe. *Am. J. Hum. Genet.* **36**: 1025, 1984.

MANIATIS,T.; FRITISCH,E.F. & SAMBROCK,J. *Molecular cloning: a  
laboratory manual*. Cold Spring Harbor Laboratory, New York, USA. 1990.

McCLUNG, C. E. The accessory chromosome-sex determinant? *Biol. Bull.* 3: 43-84, 1902.

McKUSICK, V. A. "Mendelian Inheritance in Man". Johns Hopkins Univ. Press, Baltimore, 1988.

MESSING, J. New M13 vector for cloning. *Methods Enzymol.* 101:20, 1983.

MITCHELL, A. R.; GOSDEN, J. R.; MILLER, D. A. A cloned sequence p82H, of the alphoid repeated DNA family found at the centromeres of all human chromosomes. *Chromosoma* 92: 369-377, 1985.

MORGAN, T. H. Sex-limited inheritance in *Drosophila*. *Science* 32: 120-122, 1910.

MÜLLER, U. Mechanisms of gonadal differentiation in vertebrates. *Differentiation* 23 (suppl.): S1-S2, 1983.

NAKAHORI, Y.; TAKENAKA, O.; NAKAGOME, Y.; A human X-Y homologous region encodes "Amelogenin". *Genomics* 9: 264-269, 1991.

NEVE, R. L.; WEST, R. W.; RODRIGUEZ, R. L. Eukaryotic DNA fragments which act as promoters for a plasmid gene. *Nature* 277: 324-325, 1979.

NGO, K. Y.; VERGNAUD, G.; JOHNSSON, C.; LUCOTTE, G.; WEISSENBACH, J. A DNA probe detecting multiple haplotypes of the human Y chromosome. *Am. J. Hum. Genet.* 38: 407-418, 1986.

NYGARD, O & NIKA, H. Identification by RNA-protein cross-linking of ribosomal proteins located at the interface between the small and large subunits of mammalian ribosomes. *EMBO J.* 1: 357-362, 1982.

NORRANDER, J.; KEMPE, T.; MESSING, J. Construction of improved M13 vectors using oligodeoxynucleotide direct mutagenesis. *Gene* 26:101, 1983.

- NOVAIS, R.C. *Caracterização molecular de uma seqüência do cromossomo Y humano.* Campinas, 1990. 88 páginas.Tese de Mestrado, Universidade Estadual de Campinas.
- OHNO, S. Sex chromosomes and sex-linked genes. New York: Springer-Verlag, New York, 1967.
- PAINTER, T. Studies in mammalian spermatogenesis II. The spermatogenesis of man. *J. Exp. Zoology* 37: 291-335, 1923.
- PAGE, D. C. Hypothesis: a Y-chromosomal gene causes gonadoblastoma in disgenic gonads. *Development* 101 (suppl.): 151-155, 1987.
- PAGE, D. C.; FISCHER, E. M. C.; McGILLIVRAY, B.; BROWN, L. G. additional deletion in sex-determining region of human Y chromosome resolves paradox of X, t(Y;22) female. *Nature* 346: 279-281, 1990
- PALMER, M. S.; SINCLAIR, A. H.; BERTA, P.; ELLIS, N. A.; GOODFELLOW, P. N.; ABBAS, N. E.; FELLOUS, M. Genetic evidence that ZFY is not the testis-determining factor. *Nature* 342: 937-939, 1989.
- RAMOS, C. F.; BORTOLETO, R. K.; CARDINALI, I. A.; VOGT, P.; FARAH, S. B. Estudo molecular da região cromossômica Yq11 em pacientes com azoospermia idiopática. *Brazil. J. Genetics* 16 (suppl. 3): 114, 1993.
- RAPPOLD, G. A. The pseudoautosomal regions of human sex chromosomes. *Hum. Genet.* 92:315-324, 1993.
- RINEHART, F. P.; RITCH, T. G.'DEININGER, P. L.; SCHMID, C. W. Renaturation rate of a single family of interspersed repeated sequences in human deoxyribonucleic acid. *Byochemistry* 20: 3003-3010, 1981.
- ROSENFIELD, R. G.; LUZZATTI, L.; HINTZ, R. L.; MILLER, O. J.; KOO, G. C.; WACHTEL, S. S. Sexual and somatic determinants of the human Y chromosomes: studies in a 46,XYp<sup>-</sup> phenotypic female. *Am. J. Hum. Genet.* 31: 458-468, 1979.

- ROUYER, F.; SIMMLER, M-C; JOHNSSON, C.; VERGNAUD, G.; COOKE, H. J.; WEISSENBACH, J. A gradient of sex linkage in the pseudoautosomal region of the human sex chromosomes. *Nature* **319**: 291-295, 1986.
- SANGER, F.; NICKLEN, S; COULSON, A. R. DNA sequencing with chain terminating inhibitors. *Proc. Nat. Acad. Sci. USA* **74**: 5463-5467, 1977.
- SEBOUN, E.; LEROY, P.; CASANOVA, M.; MAGENIS, E.; BOUCEKKINE, C.; DISTECHE, C.; BISHOP, C.; FELLOUS, M. A molecular approach to the study of the human Y chromosome and anomalies of sex determination in man. *Cold Spring Harbor Symp. Quant. Biol.* **51**: 237-248, 1986.
- SCHMECKPEPER, B. J.; WILLARD, H. F.; SMITH, K. D. Isolation and characterization of cloned human DNA fragments carrying reiterated sequences common to both autosomes and the X chromosome. *Nucl. Acids Res.* **8**: 1853-1872, 1981.
- SCHEMPP, W. & MULLER, U. High resolution replication patterns of the human Y chromosome. Intra and interindividual variation. *Chromosoma* **86**: 229-237, 1982.
- SHIMOKAWA, H.; SOBEL, M. E.; SASAKI, M.; TERMINE, J. D.; YOUNG, M. F. Heterogeneity of amelogenin mRNA in the bovine tooth germ. *J. Biol. Chem.* **262**: 4042-4047, 1987.
- SINCLAIR, A.H.; BERTA, P.; PALMER, M.S.; HAWKINS, J.R.; GRIFFITHS, B.L.; SMITH, M.J.; FOSTER, J.W.; FRISCHAUF, A.M.; LOVELL-BADGE, R.; GOODFELLOW, P.N. A gene from the human sex-determining region encodes a protein with homology to a conserved DNA-binding motif. *Nature* **346**: 240-244, 1990.
- SINGH, L & JONES, K. W. *Bkm* sequences are polymorphic in humans and are clustered in pericentric regions of various acrocentric chromosomes including the Y. *Hum. Genet.* **73**: 304-308, 1986.

SMITH, K. D.; YOUNG, K. E.; TALBOT, C. C.Jr; SCHMECKPEPER, B. J.  
Repeated DNA of the human Y chromosome. *Development* 101 (suppl.): 77-92, 1987.

SNEAD, M. L.; LAU, E. C.; ZEICHNER, D.; FINCHAM, A. G.; WOO, S. L.;  
SLAVKIN, H. C. DNA sequence for cloned cDNA for murine amelogenin  
reveal the amino acid sequence for enamel-specific protein. *Biochem.  
Biophys. Res. Commun.* 129: 812-818, 1985.

SOUTHERN, E. Detection of specific sequences among DNA fragments separated  
by gel electrophoresis. *J. Mol. Biol.* 98: 503, 1975.

STEVENS, N. M. *Studies in spermatogenesis with especial reference to the  
"accessory chromosome"*. Carnegie Institute Report 36 . Washington, DC,  
1905.

TIEPOLO, L. & ZUFFARDI, O. Localization of factors controlling  
spermatogenesis in the nonfluorescent portion of the human Y chromosome  
long arm. *Hum. Genet.* 34: 119-124, 1976.

TYLER-SMITH, C. & BROWN, W. R. A. Structure of the major block of alphoid  
satllite DNA on the human Y chromosome. *J. molec. Biol.* 195: 457-470,  
1987.

UCHIUMI, T.; KIKUCHI, M.; OGATA, K. Cross-linking study on protein  
neighborhoods at the subunit interface of rat liver ribosomes with 2-  
iminothiolane. *J. Biol. Chem.* 261: 9663-9667, 1986.

VERGNAUD, G.; PAGE, D. C.; SIMMLER, M. C.; BROWN, L.; ROYER, F.;  
NOEL, B.; BOTSTEIN, D.; DE LA CHAPELLE, A.; WEISSENBACH, J. A  
deletion map of the human Y chromosome based on DNA hybridization. *Am.  
J. Hum. Genet.* 38: 109-124, 1986.

- VOGT, P.; CHANDLEY, A. C.; HARGREAVE, T. B.; KEIL, R.; MA, K.; SHARKEY, A. Microdeletions in interval 6 of the Y chromosome of the males with idiopathic sterility point to disruption of AZF , a human spermatogenesis gene. *Hum. Genet.* **89**: 491-496, 1992.
- VOGHT, P.; KEIL, R.; KÖHLER, M.; LENE, D.; LENE, G. Selection of DNA sequences from interval 6 of the human Y chromosome with homology to a Y chromosomal fertility gene sequence of *Drosophila hydei*. *Hum. Genet.* **86**: 341-349, 1991a.
- VOGHT, P.; CHANDLEY, A. C.; HARDGREAVE, T. B.; KEIL, R.; MA, K.; SHARKEY, A. Towards the molecular localization of 3, a male fertility gene on the human Y chromosome by comparative mapping of microdeletions in the Y chromosome of men with idiopathic infertility. *Am. J. Hum. Genet.* **49**: 390, 1991b.
- VOLLRATH, D.; FOOTE, S.; HILTON, A.; BROWN, L. G.; BEER-ROMERO, P.; BOGAN, J. S.; PAGE, D. C. The human Y chromosome a 43-interval based on naturally occurring deletions. *Science* **258**: 52-59, 1992.
- WACHTEL, S.S.; KOO, G. C.; BREG., W. R.; ELIAS, S.; BOYSE, E. A. MILLER, O. J. Expression of H-Y antigen in human males with two Y chromosomes. *New Eng. J. Med.* **293**: 1070-1072, 1975b.
- WASBURN, L. L. & EICHER, E. M. Sex reversal in XY mice caused by dominant mutation on chromosome 17. *Nature* **303**: 338-340, 1983.
- WELSHONS, W. J. & RUSSEL, L. B. The Y chromosome as the bearer of male determining factors in the mouse. *Proc. Natl. Acad. Sci. USA* **45**: 560-566, 1959.
- WILSON, E. B. The chromosomes in relation to the determination of sex in insects. *Science* **22**: 500-502, 1905.

- WILSON, J. D.; GRIFFIN, J. E.; LESHIN, M.; GEORGE, F. W. Role of gonadal hormones in development of the sexual phenotypes. *Hum. Genet.* **58**: 78-84, 1981.
- WITKOP, C. J. & RAO, S. Inherited defects in tooth structure. *Brith defects* **7**: 153- 184, 1971.
- WOLFE, J.; DARLING, S. M.; ERICKSON, R. P.; CRAIG, R. W.; BUCKLE, V. J.; RIGBY, P. W. J.; WILLARD, H. F.; GOODFELLOW, P. N. Isolation and characterization of an alphoid centromeric repeat family from the human Y chromosome. *J. Molec. Biol.* **182**: 477-485, 1985.
- YANISCH-PERRON, C.; VIEIRA, J.; MESSING, J. Improved M13 phage cloning vectors and hosts strain: nucleotide sequences of the M13mp18 and pUC19 vectors. *Gene* **33**:103, 1985.
- YEN, P. H.; MARSH, B.; ALLEN, E.; TSAI, S. P.; ELLISON, J.; CONNOLLY, L.; NEISWANGER, K. & SHAPIRO, L. J. The human X-linked steroid sulfatase gene and a Y-encoded pseudogene: evidence for an inversion of the Y chromosome during primate evolution. *Cell* **55**: 1123-1135, 1988.
- YUNIS, J. J.; PRAKASH, O. The origin of man: A chromosomal pictorial legacy. *Science* **215**: 1525-1529, 1982.

## *APÊNDICE*

## APÊNDICE I

### A - Linhagens bacterianas utilizadas:

**1 - Bactéria DH5 $\alpha$ :** esta linhagem é defectiva em recombinação (*Rec A1*). A deleção de genes do operon *lac* ( $\Delta lacU16a$ ) e a presença do fragmento *lacZΔM15* no profago  $\phi 80$  permite a utilização de  $\alpha$ -complementação na seleção dos recombinantes. A ausência de superprodução do repressor do operon *lac* (*lacIq*) possibilita a realização do teste de complementação na ausência de IPTG.

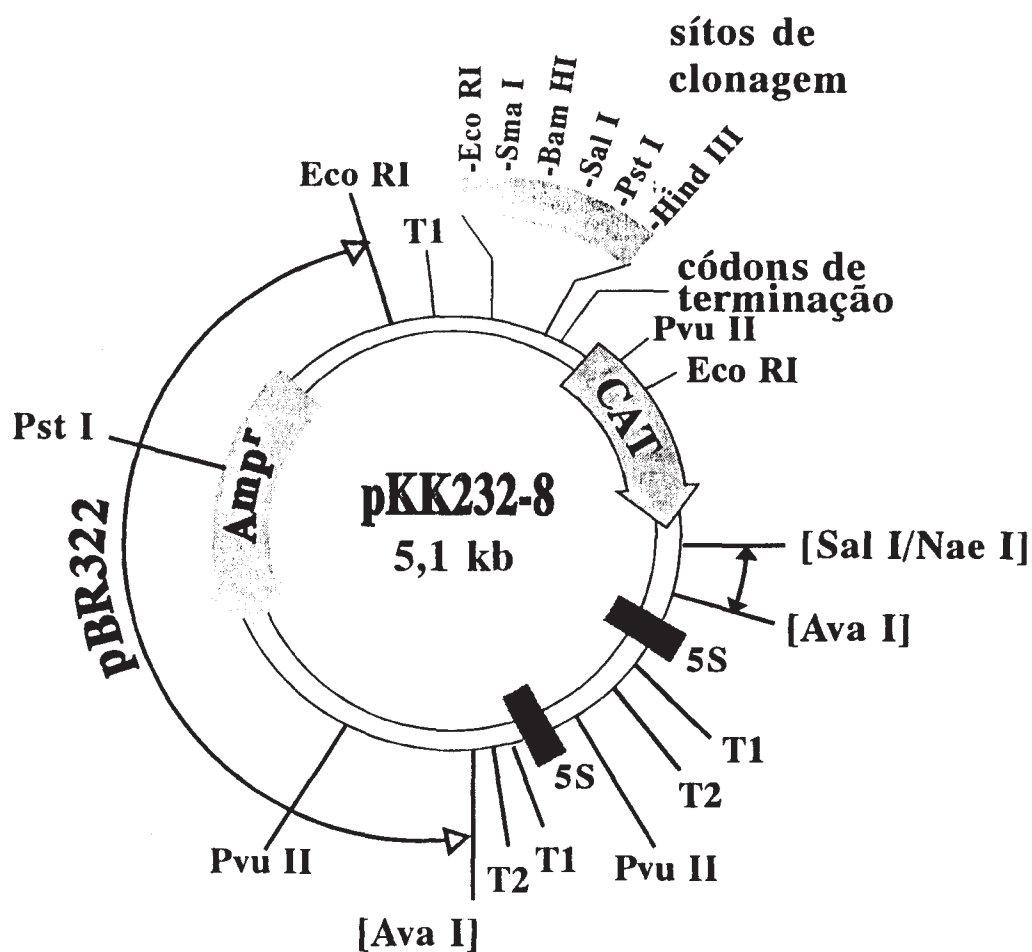
Genótipo relevante: *F- supE44 Δ(lacZYA-argF) U169 (φ80lacZΔM15) hsdR17 rec A1 end A1 gyrA96 thi-relA1* (HANAHAN, 1983).

**2 - Bactéria HB101:** esta linhagem é um híbrido das linhagens de *E.coli* K-12 e *E.coli* B. É uma hospedeira eficiente para transformação e obtenção de plasmídios em larga escala (BOYER & ROULLAND-DUSSOIX, 1969; BOLIVAR & BACKMAN, 1979).

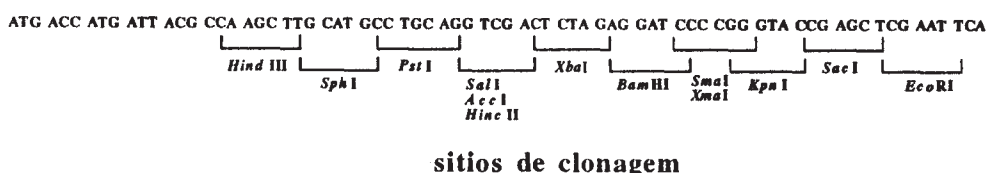
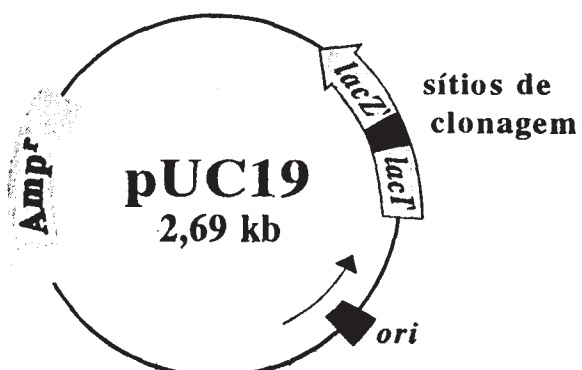
Genótipo relevante: *Δ(gpt-proA)62 leuB6 thi-1 lacY1 hsdS<sub>B</sub>20 recA rpsL20 (Str<sup>r</sup>) ara-14 galK2 xyl-5 mtl-1 supE44 mcrB<sub>B</sub>*.

## B - Vetores utilizados:

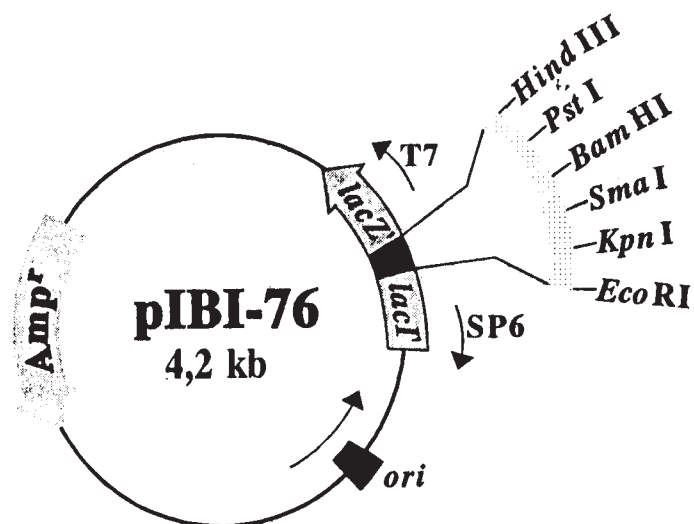
1 - Plasmídio pKK232-8: este vetor é derivado do plasmídio pBR322 e possui o gene que codifica para enzima cloranfenicol acetil-transferase (CAT) com a sua região promotora deletada. Por possuir os sítios de clonagem na região 5'-terminal do gene CAT permite a análise de regiões promotoras nele inseridas (BROSIUS, J., 1984).



**2 - Plasmídio pUC19:** possui 2690 bp e possibilita a identificação histoquímica das colônias obtidas pelo plaqueamento das células transformadas por um processo conhecido como  $\alpha$ -complementação. Este vetor possui os sítios de clonagem inseridos dentro do gene *lacZ* que é a parte N-terminal que codifica para a enzima  $\beta$ -galactosidase do operon *lac* de *E.coli*. Esta parte do operon pode então ser complementada por uma forma defectiva da  $\beta$ -galactosidase codificada pela célula hospedeira. Obtida a  $\alpha$ -complementação, a proteína sintetizada tem a capacidade de degradar o substrato X-gal que desenvolverá nas colônias transformadas a coloração azul. Uma vez clonado um fragmento no plasmídio haverá a inativação do gene *lacZ*, impossibilitando a complementação do polipeptídio, as colônias transformadas recombinantes vão se apresentar com coloração branca. Além disso, este plasmídio possui o gene que confere à bactéria resistência ao antibiótico ampicilina (NORRANDER *et al.*; 1983).



3 - Plasmídio pIBI-76: este plasmídio é derivado do vetor pEMBL8(-) e contém a origem de replicação do bacteriófago F1 permitindo a produção de DNA simples fita. Possui o promotor T7 na fita não codificante e SP6 na fita codificante. Contém os marcadores de seleção para resistência à ampicilina e identificação histoquímica pela  $\beta$ -galactosidase



## APÊNDICE II - SEQÜÊNCIAS DOS SUBFRAGMENTOS

### A - Subfragmento Y-1.b2:

#### 1 - Seqüência de bases:

11	21	31	41	51	
5'	GATCCTGTCA	AACTGAGTTA	AAAGAAGGAT	AAATAGTAAC	AGGGTCATGA
3'	CTAGGACAGT	TTGACTCAAT	TTTCTTCCTA	TTTATCATTG	TCCCAGTACT
61	71	81	91	101	
ATTTTTTCC	TGGTATCTTC	AGCATATAGT	TCTGAGCTGA	TCAACAGCCT	
TAAAAAAAGG	ACCATAGAACG	TCGTATATCA	AGACTCGACT	AGTTGTCGGA	
111	121	131	141	151	
CATCACCCAT	TACCATCTGT	TGATTTACAG	TACCCAATGC	CTGTCCAATT	
GTAGTGGGTA	ATGGTAGACA	ACTAAATGTC	ATGGGTTACG	GACAGGTTAA	
161	171	181	191	201	
CCAAGCAATT	GATCAGATGT	GATATTAAATA	AGAGGTTGGG	CCTGAGCATT	
GGTTCGTTAA	CTAGTCTACA	CTATAATTAT	TCTCCAACCC	GGACTCGTAA	
211	221	231	241	251	
TCTCGCCTGC	CTGACTTGTT	GCCTTCATCC	TGTCCACCAG	GTTTAAATT	
AGAGCGGACG	GAUTGAACAA	CGGAAGTAGG	ACAGGTGGTC	CAAATTTAA	
261	271	281	291	301	
GGAGAAATTG	AGATGGGAC	AGGGTGGATT	GAGCTAATGA	CTCCAATCCA	
CCTCTTAAAC	TCTACCCCTG	TCCCACCTAA	CTCGATTACT	GAGGTTAGGT	
311	321	331	341	351	
TAGGTATTAA	GGGCCTGTTA	TAAGCCGCGA	AATTATAATG	AGGAATGAAC	
ATCCATAATT	CCCGGACAAT	ATTGGCGCCT	TTAATATTAC	TCCTTACTTG	
361	371	381	391	401	
CTCAGAAGAA	TTTGGCTAT	ATTGCTTCAAT	TGCTTTCTTA	AATTGCTTGT	
GAGTCTTCTT	AAACCGGATA	TAACAGGTTA	ACGAAAGAAT	TTAACGAACA	
411	421	431	441	451	
CCAATTGGC	CTATATTGTC	CAATTGCTT	CTTAAATTGC	TTGTCCAATT	
GGTTAAACCG	GATATAACAG	GTAAACGAAA	GAATTAAACG	AACAGGTTAA	
461	471	481	491	501	
TGGGCCTATA	TTGTCCAATT	GCTTTTTAAT	ATTTTTAAAA	GAAAATGGCT	
ACCCGGATAT	AACAGGTTAA	CGAAAAATTA	TAAAAATTCTT	CTTTTACCGA	
511	521	531	541	551	
CCCAGCAGGC	CCGAGCATGT	TCTCTGGGCT	CCTGAGCTGG	AGAAATAATT	
GGGTCGTCCG	GGCTCGTACA	AGAGACCCGA	GGACTCGACC	TCTTTATTAA	
561	571	581	591	601	
ACCAGAAACT	GCCAAGCATC	CAAATCCCCC	ATTCTTGTG	CCTGTCAAAT	
TGGTCTTGA	CGGTTCGTAG	GTTCAGGGGG	TAAAGAACAC	GGACAGTTA	
611	621	631	641	651	
GGATGCCTGA	ATTGCCCTG	CACCATAATT	TGTATTTGGA	CTGGCTCACA	
CCTACGGACT	TAACGGGGAC	GTGGTATTAA	ACATAAACCT	GACCGAGTGT	
661	671	681	691	701	
GCATTTTCT	CCCACAATT	ACAGGTGGAC	AAGCCTGGAT	CATTCCCTCA	
CGTAAAAAGA	GGGTGTTAAT	TGTCCACCTG	TTCCGGACCTA	GTAAGGGAGT	
711	721				
CCGTAATTGG	CTGTTGGGCT	GTAAAGCTT	3'		
GGCATTAAACC	GACAACCCGA	CAATTGCAA	5'		

## 2 - Tradução da seqüência:

Ile Leu Ser Asn \*\*\* Val Lys Arg Arg Ile Asn Ser Asn Arg Val Met Asn Phe  
 Asp Pro Val Lys Leu Ser \*\*\* Lys Lys Asp Lys \*\*\* \*\*\* Gln Gly His Glu Phe  
 Gly Ser Cys Gln Thr Glu Leu Lys Glu Gly \*\*\* Ile Val Thr Gly Ser \*\*\* Ile  
 -----  
 5' **GGA TCC TGT CAA ACT GAG TTA AAA GAA GGA TAA ATA GTA ACA GGG TCA TGA ATT**  
       9          18          27          36          45          54  
 3' **CCT AGG ACA GTT TGA CTC AAT TTT CTT CCT ATT TAT CAT TGT CCC AGT ACT TAA**  
 -----  
 Ser Gly Thr Leu Ser Leu \*\*\* Phe Phe Ser Leu Tyr Tyr Cys Pro \*\*\* Ser Asn  
 Ile Arg Asp Phe Gln Thr Leu Leu Ile Phe Leu Leu Leu Thr Met Phe Lys  
 Asp Gln \*\*\* Val Ser Asn Phe Ser Pro Tyr Ile Thr Val Pro Asp His Ile Lys  
 -----  
 Phe Pro Gly Ile Phe Ser Ile \*\*\* Phe \*\*\* Ala Asp Gln Gln Pro His His Pro  
 Phe Ser Trp Tyr Leu Gln His Ile Val Leu Ser \*\*\* Ser Thr Ala Ser Ser Pro  
 Phe Phe Leu Val Ser Ser Ala Tyr Ser Ser Glu Leu Ile Asn Ser Leu Ile Thr  
 -----  
 TTT TTC CTG GTA TCT TCA GCA TAT AGT TCT GAG CTG ATC AAC AGC CTC ATC ACC  
       63          72          81          90        99          108  
**AAA AAG GAC CAT AGA AGT CGT ATA TCA AGA CTC GAC TAG TTG TCG GAG TAG TGG**  
 -----  
 Lys Glu Gln Tyr Arg \*\*\* Cys Ile Thr Arg Leu Gln Asp Val Ala Glu Asp Gly  
 Lys Gly Pro Ile Lys Leu Met Tyr Asn Gln Ala Ser \*\*\* Cys Gly \*\*\* \*\*\* Gly  
 Lys Arg Thr Asp Glu Ala Tyr Leu Glu Ser Ser Ile Leu Leu Arg Met Val Trp  
 -----  
 Leu Pro Ser Val Asp Leu Gln Tyr Pro Met Pro Val Gln Phe Gln Ala Ile Asp  
 Ile Thr Ile Cys \*\*\* Phe Thr Val Pro Asn Ala Cys Pro Ile Pro Ser Asn \*\*\*  
 His Tyr His Leu Leu Ile Tyr Ser Thr Gln Cys Leu Ser Asn Ser Lys Gln Leu  
 -----  
**CAT TAC CAT CTG TTG ATT TAC AGT ACC CAA TGC CTG TCC AAT TCC AAG CAA TTG**  
       117          126          135          144          153          162  
**GTA ATG GTA GAC AAC TAA ATG TCA TGG GTT ACG GAC AGG TTA AGG TTC GTT AAC**  
 -----  
 Met Val Met Gln Gln Asn Val Thr Gly Leu Ala Gln Gly Ile Gly Leu Leu Gln  
 Asn Gly Asp Thr Ser Lys Cys Tyr Gly Ile Gly Thr Trp Asn Trp Ala Ile Ser  
 \*\*\* Trp Arg Asn Ile \*\*\* Leu Val Trp His Arg Asp Leu Glu Leu Cys Asn Ile  
 -----  
 Gln Met \*\*\* Tyr \*\*\* \*\*\* Glu Val Gly Pro Glu His Phe Ser Pro Ala \*\*\* Leu  
 Ser Asp Val Ile Leu Ile Arg Gly Trp Ala \*\*\* Ala Phe Leu Ala Cys Leu Thr  
 Ile Arg Cys Asp Ile Asn Lys Arg Leu Gly Leu Ser Ile Ser Arg Leu Pro Asp  
 -----  
**ATC AGA TGT GAT ATT AAT AAG AGG TTG GGC CTG AGC ATT TCT CGC CTG CCT GAC**  
       171          180          189          198          207          216  
**TAG TCT ACA CTA TAA TTA TTC TCC AAC CCG GAC TCG TAA AGA GCG GAC GGA CTG**  
 -----  
 Asp Ser Thr Ile Asn Ile Leu Pro Gln Ala Gln Ala Asn Arg Ala Gln Arg Val  
 \*\*\* Ile His Tyr \*\*\* Tyr Ser Thr Pro Gly Ser Cys Lys Glu Gly Ala Gln Ser  
 Leu His Ser Ile Leu Leu Asn Pro Arg Leu Met Glu Arg Arg Gly Ser Lys  
 -----  
 Val Ala Phe Ile Leu Ser Thr Arg Phe \*\*\* Ile Gly Glu Ile Glu Met Gly Thr  
 Cys Cys Leu His Pro Val His Gln Val Leu Asn Trp Arg Asn \*\*\* Asp Gly Asp  
 Leu Leu Pro Ser Ser Cys Pro Pro Gly Phe Lys Leu Glu Lys Leu Arg Trp Gly  
 -----  
**TTG TTG CCT TCA TCC TGT CCA CCA GGT TTT AAA TTG GAG AAA TTG AGA TGG GGA**  
       225          234          243          252          261          270  
**AAC AAC GGA AGT AGG ACA GGT GGT CCA AAA TTT AAC CTC TTT AAC TCT ACC CCT**  
 -----  
 Gln Gln Arg \*\*\* Gly Thr Trp Trp Thr Lys Phe Gln Leu Phe Gln Ser Pro Ser  
 Thr Ala Lys Met Arg Asp Val Leu Asn \*\*\* Ile Pro Ser Ile Ser Ile Pro Val  
 Asn Gly Glu Asp Gln Gly Pro Lys Leu Asn Ser Phe Asn Leu His Pro Cys

Gly Trp Ile Glu Leu Met Thr Pro Ile His Arg Tyr \*\*\* Gly Pro Val Ile Ser  
 Arg Val Asp \*\*\* Ala Asn Asp Ser Asn Pro \*\*\* Val Leu Arg Ala Cys Tyr Lys  
 Gln Gly Gly Leu Ser \*\*\* \*\*\* Leu Gln Ser Ile Gly Ile Lys Gly Leu Leu \*\*\*  
 -----  
**CAG GGT GGA TTG AGC TAA TGA CTC CAA TCC ATA GGT ATT AAG GGC CTG TTA TAA**  
 279        288        297        306        315        324  
**GTC CCA CCT AAC TCG ATT ACT GAG GTT AGG TAT CCA TAA TTC CCG GAC AAT ATT**  
 -----  
 Leu Thr Ser Gln Ala Leu Ser Glu Leu Gly Tyr Thr Asn Leu Ala Gln \*\*\* Leu  
 Pro His Ile Ser Ser Ile Val Gly Ile Trp Leu Tyr \*\*\* Pro Gly Thr Ile Leu  
 Pro Pro Asn Leu \*\*\* His Ser Trp Asp Met Pro Ile Leu Pro Arg Asn Tyr Ala  
 -----  
 Arg Glu Ile Ile Met Arg Asn Glu Pro Gln Lys Asn Leu Ala Tyr Ile Val Gln  
 Pro Arg Asn Tyr Asn Glu Glu \*\*\* Thr Ser Glu Glu Phe Gly Leu Tyr Cys Pro  
 Ala Ala Lys Leu \*\*\* \*\*\* Gly Met Asn Leu Arg Arg Ile Trp Pro Ile Leu Ser  
 -----  
**GCC GCG AAA TTA TAA TGA GGA ATG AAC CTC AGA AGA ATT TGG CCT ATA TTG TCC**  
 333        342        351        360        369        378  
**CGG CGC TTT AAT ATT ACT CCT TAC TTG GAG TCT TCT TAA ACC GGA TAT AAC AGG**  
 -----  
 Gly Arg Phe \*\*\* Leu Ser Ser His Val Glu Ser Ser Asn Pro Arg Tyr Gln Gly  
 Arg Ser Ile Ile Ile Leu Phe Ser Gly \*\*\* Phe Phe Lys Ala \*\*\* Ile Thr Trp  
 Ala Phe Asn Tyr His Pro Ile Phe Arg Leu Leu Ile Gln Gly Ile Asn Asp Leu  
 -----  
 Leu Leu Ser \*\*\* Ile Ala Cys Pro Ile Trp Pro Ile Leu Ser Asn Cys Phe Leu  
 Ile Ala Phe Leu Asn Cys Leu Ser Asn Leu Ala Tyr Ile Val Gln Leu Leu Ser  
 Asn Cys Phe Leu Lys Leu Leu Val Gln Phe Gly Leu Tyr Cys Pro Ile Ala Phe  
 -----  
**AAT TGC TTT CTT AAA TTG CTT GTC CAA TTT GGC CTA TAT TGT CCA ATT GCT TTC**  
 387        396        405        414        423        432  
**TTA ACG AAA GAA TTT AAC GAA CAG GTT AAA CCG GAT ATA ACA GGT TAA CGA AAG**  
 -----  
 Ile Ala Lys Lys Phe Gln Lys Asp Leu Lys Ala \*\*\* Ile Thr Trp Asn Ser Glu  
 Asn Ser Glu \*\*\* Ile Ala Gln Gly Ile Gln Gly Ile Asn Asp Leu Gln Lys Arg  
 Gln Lys Arg Leu Asn Ser Thr Trp Asn Pro Arg Tyr Gln Gly Ile Ala Lys Lys  
 -----  
 Lys Leu Leu Val Gln Phe Gly Pro Ile Leu Ser Asn Cys Phe Leu Ile Phe Leu  
 \*\*\* Ile Ala Cys Pro Ile Trp Ala Tyr Ile Val Gln Leu Leu Phe Asn Ile Phe  
 Leu Asn Cys Leu Ser Asn Leu Gly Leu Tyr Cys Pro Ile Ala Phe \*\*\* Tyr Phe  
 -----  
**TTA AAT TGC TTG TCC AAT TTG GGC CTA TAT TGT CCA ATT GCT TTT TAA TAT TTT**  
 441        450        459        468        477        486  
**AAT TTA ACG AAC AGG TTA AAC CCG GAT ATA ACA GGT TAA CGA AAA ATT ATA AAA**  
 -----  
 \*\*\* Ile Ala Gln Gly Ile Gln Ala \*\*\* Ile Thr Trp Asn Ser Lys Leu Ile Lys  
 Leu Asn Ser Thr Trp Asn Pro Gly Ile Asn Asp Leu Gln Lys Lys Ile Asn Lys  
 Phe Gln Lys Asp Leu Lys Pro Arg Tyr Gln Gly Ile Ala Lys \*\*\* Tyr Lys \*\*\*  
 -----  
 Lys Glu Asn Gly Ser Gln Gln Ala Arg Ala Cys Ser Leu Gly Ser \*\*\* Ala Gly  
 Lys Arg Lys Trp Leu Pro Ala Gly Pro Ser Met Phe Ser Gly Leu Leu Ser Trp  
 \*\*\* Lys Lys Met Ala Pro Ser Arg Pro Glu His Val Leu Trp Ala Pro Glu Leu  
 -----  
**TAA AAG AAA ATG GCT CCC AGC AGG CCC GAG CAT GTT CTC TGG GCT CCT GAG CTG**  
 495        504        513        522        531        540  
**ATT TTC TTT TAC CGA GGG TCG TCC GGG CTC GTA CAA GAG ACC CGA GGA CTC GAC**  
 -----  
 Leu Leu Phe His Ser Gly Ala Pro Gly Leu Met Asn Glu Pro Ser Arg Leu Gln  
 Phe Ser Phe Pro Glu Trp Cys Ala Arg Ala His Glu Arg Pro Glu Gln Ala Pro  
 Phe Phe Ile Ala Gly Leu Leu Gly Ser Cys Thr Arg Gln Ala Gly Ser Ser Ser

Glu Ile Ile Thr Arg Asn Cys Gln Ala Ser Lys Ser Pro Ile Ser Cys Ala Cys  
 Arg Asn Asn Tyr Gln Lys Leu Pro Ser Ile Gln Ile Pro His Phe Leu Cys Leu  
 Glu Lys \*\*\* Leu Pro Glu Thr Ala Lys His Pro Asn Pro Pro Phe Leu Val Pro  
 ---  
**GAG AAA TAA TTA CCA GAA ACT GCC AAG CAT CCA AAT CCC CCA TTT CTT GTG CCT**  
 549 558 567 576 585 594  
**CTC TTT ATT AAT GGT CTT TGA CGG TTC GTA GGT TTA GGG GGT AAA GAA CAC GGA**  
 ---  
 Leu Phe Leu \*\*\* Trp Phe Ser Gly Leu Met Trp Ile Gly Trp Lys Lys His Arg  
 Ser Ile Ile Val Leu Phe Gln Trp Ala Asp Leu Asp Gly Met Glu Gln Ala Gln  
 Phe Tyr Asn Gly Ser Val Ala Leu Cys Gly Phe Gly Gly Asn Arg Thr Gly Thr  
 ---  
 Gln Met Asp Ala \*\*\* Ile Ala Pro Ala Pro \*\*\* Phe Val Phe Gly Leu Ala His  
 Ser Asn Gly Cys Leu Asn Cys Pro Cys Thr Ile Ile Cys Ile Trp Thr Gly Ser  
 Val Lys Trp Met Pro Glu Leu Pro Leu His His Asn Leu Tyr Leu Asp Trp Leu  
 ---  
**GTC AAA TGG ATG CCT GAA TTG CCC CTG CAC CAT AAT TTG TAT TTG GAC TGG CTC**  
 603 612 621 630 639 648  
**CAG TTT ACC TAC GGA CTT AAC GGG GAC GTG GTA TTA AAC ATA AAC CTG ACC GAG**  
 ---  
 Asp Phe Pro His Arg Phe Gln Gly Gln Val Met Ile Gln Ile Gln Val Pro Glu  
 \*\*\* Ile Ser Ala Gln Ile Ala Gly Ala Gly Tyr Asn Thr Asn Pro Ser Ala \*\*\*  
 Leu His Ile Gly Ser Asn Gly Arg Cys Trp Leu Lys Tyr Lys Ser Gln Ser Val  
 ---  
 Ser Ile Phe Leu Pro Gln Leu Thr Gly Gln Ala Trp Ile Ile Pro Ser Pro  
 Gln His Phe Ser Pro Thr Ile Asn Arg Trp Thr Ser Leu Asp His Ser Leu Thr  
 Thr Ala Phe Phe Ser His Asn \*\*\* Gln Val Asp Lys Pro Gly Ser Phe Pro His  
 ---  
**ACA GCA TTT TTC TCC CAC AAT TAA CAG GTG GAC AAG CCT GGA TCA TTC CCT CAC**  
 657 666 675 684 693 702  
**TGT CGT AAA AAG AGG GTG TTA ATT GTC CAC CTG TTC GGA CCT AGT AAG GGA GTG**  
 ---  
 Cys Cys Lys Glu Gly Val Ile Leu Leu His Val Leu Arg Ser \*\*\* Glu Arg Val  
 Leu Met Lys Arg Gly Cys Asn Val Pro Pro Cys Ala Gln Ile Met Gly Glu Gly  
 Ala Asn Lys Glu Trp Leu \*\*\* Cys Thr Ser Leu Gly Pro Asp Asn Gly \*\*\* Arg  
 ---  
 \*\*\* Leu Ala Val Gly Leu Leu Ser  
 Val Ile Gly Cys Trp Ala Val Lys Leu  
 Arg Asn Trp Leu Leu Gly Cys \*\*\* Ala  
 ---  
**CGT AAT TGG CTG TTG GGC TGT TAA GCT T 3'**  
 711 720 729  
**GCA TTA ACC GAC AAC CCG ACA ATT CGA A 5'**  
 ---  
 Thr Ile Pro Gln Gln Ala Thr Leu Ser  
 Tyr Asn Ala Thr Pro Ser Asn Leu Lys  
 Leu Gln Ser Asn Pro Gln \*\*\* Ala

### 3 - Mapa de restrição da seqüência:

\*\*\*\*\* 10 20 30 40 50 60 \*

5' GGATCCTGTCAAACGTGAGTTAAAAGAAGGATAAAATAGTAACAGGGTCATGAATTTC  
 BamHI AlwI DdeI MseI MaeIII BspHI NlaIII EcoRII  
 BstI BinI NlaIV MboII  
 BstYI DpnI TspEI  
 DpnI MboI  
 MfI  
 NdeII  
 NlaIV  
 Sau3AI XbaII

70 80 90 \*\*\*\*\* 100 110 120

CTGGTATCTTCAGCATATAGTTCTGAGCTGATCAACAGCCTCATCACCCATTACCATCTG  
 ApyI Eco57I DdeI AluIDpnI CviJI MnII  
 BstNI BclI HphI  
 MvaI CviJI  
 ScrFI MboI  
 NdeII  
 Sau3AI

130 140 150 160 \*\*\*\*\* 170 180

TTGATTACAGTACCCAAATGCCTGTCCAATTCCAAGCAATTGATCAGATGTGATATTAAT  
 TaqII RsaI TspEI MfeI BclI AseI  
 TspEI DpnI MnII  
 MboI MseI  
 NdeII Tth111II  
 Sau3AI VspI  
 190 200 210 220 230 240 \*\*\*  
 250 260 270 280 290 300

AAGAGGTTGGCCTGAGCATTCTGCCTGCCTGACTTGTTGCCTCATCCTGTCCACCA  
 AsuIDdeI FokI ApyI  
 Cfr13I  
 CviJI  
 HaeIII  
 NspIV  
 Pali  
 Sau96I BstNI  
 EcoRII  
 MvaI  
 ScrFI

\*\* GGTAAATTGGAGAAATTGAGATGGGACAGGGTGGATTGAGCTAATGACTCCAATCC  
 AhaIII TspEI FinI AluI Hinfi  
 DraI  
 MseI CviJI  
 TspEI PleI

310 320 330 340 350 360

ATAGGTATTAAGGCCTGTTATAAGCCGCAAATTATAATGAGGAATGAACCTCAGAAGA  
 MseIASuI AccIIMnII DdeI TspEI  
 Cfr13I BstUI  
 CviJI CviJI TspEI  
 DraII Fnu4HI  
 EcoO109I ThaI  
 HaeIII  
 NspIV  
 Pali  
 Sau96I

370            380            390            400            410            420  
 ATTGGCCTATATTGTCCAATTGCTTCTAAATTGCTTGTCCAATTGGCCTATATTGT  
 ^ ^ ^ ^ ^ ^  
 MnII CviJI      MfeI      MseI      TspEI      CviJI  
 HaeI      TspEI      TspEI  
 HaeIII      Tth111II  
 MboII  
 Pali  
 430            440            450            460            470            480  
 CCAATTGCTTCTAAATTGCTTGTCCAATTGGCCTATATTGTCCAATTGCTTTAA  
 ^ ^ ^ ^ ^ ^  
 MfeI      MseI      TspEI AsuI      MfeI      MseI  
 TspEI      TspEI      Cfr13I  
 Tth111II      CvIJI  
 HaeIII  
 NspIV  
 Pali  
 Sau96I  
 490            500            510            520            530            540  
 TATTTTAAAAGAAAATGGCTCCCAGCAGGCCCGAGCATGTTCTCTGGGCTCCTGAGCTG  
 ^ ^ ^ ^ ^ ^  
 SspI AhaIII      CviJI      AquI      NlaIII      AocII AluI  
 DraI      NlaIV      AsuI      Nsp(7524)I BanII CviJI  
 MseI                               Bsp1286I  
                               CviJI GsU  
                               DdeI  
                               EcoT38I  
                               NlaIV  
                               NspII  
                               SdU  
                               Sau96I  
 550            560            570            580            590            600  
 GAGAAATAATTACCAAGAAACTGCCAAGCATCCAAATCCCCATTTCTTGTGCCTGTCAAA  
 ^ ^ ^ ^ ^ ^  
 TspEI FokI AlwNI      SfaNI      SfaNI  
                     Tth111II  
 610            620            630            640            650            660  
 TGGATGCCTGAATTGCCCTGCACCATAATTGTATTGGACTGGCTCACAGCATTTTC  
 ^ ^ ^ ^ ^ ^  
 TspEI FokI      TspEI                     BsrI  
                               CviJI  
 670            680            690            700            710            720  
 \*\*\*\*\*  
 TCCCACAATTACAGGTGGACAAGGCTGGATCATTCCCTCACCGTAATTGGCTGTTGGC  
 ^ ^ ^ ^ ^ ^  
 MseI      ApyIDpnI AlwI      MnII CviJI      CviJI  
 TspEI      BstNIIphI BinI      TspEI  
           CviJI  
           EcoRII  
           MboI  
           MvaI  
           NdeII  
           Sau3AI  
           ScrFI  
 730  
 TGTTAACGCTT 3'  
 ^ ^ ^  
 MseI AluI  
 CviJI  
 HindIII

## B - Subfragmento Y-1.c:

### 1 - Seqüência de bases:

	10	20	30	40	50
5'	GAATTCAAAT	TGTTATCTCC	TCCACTGTTTC	CCTGGAGTGC	TAACAGGTGA
3'	CTTAAGTTA	ACAATAGAGG	AGGTGACAAG	GGACCTCACCG	ATTGTCCACT
	60	70	80	90	100
	CAGAACATAGCT	CAACTGTTGC	TTTTACCATA	TGTTAAGTTA	GGAGAAAATCT
	GTCTTATCGA	GTTGACAACG	AAAATGGTAT	ACAATTCAAT	CCTCTTTAGA
	110	120	130	140	150
	CAGAAAAAAA	GGATATGGAG	CACAAATCAG	CAGGCAAGGC	ACCCCTATTGG
	GTCTTTTTT	CCTATACCTC	GTGTTAGTC	GTCCGTTCCG	TGGGATAACC
	160	170	180	190	200
	TAAATCAAGC	TCTGACAATA	GTCCATTGT	AGGTCACTAT	TCAAGGAAAA
	ATTTAGTTCG	AGACTGTTAT	CAGGATAACA	TCCAGTGATA	AGTTCCCTTT
	210	220	230	240	250
	CAATTGAGG	CTCTGGTCGA	TACAGGAGCA	GACGTGTCAT	CATAGCTTT
	GTAAACTCC	GAGACCAGCT	ATGTCCTCGT	CTGCACAGTA	GTATCGAAAA
	260	270	280	290	300
	ATCAACGGCC	CAAAAATGA	CCCCAACAAA	AGGCCAGTG	GGTCTTGTG
	TAGTTGCCGG	GTGTTGACT	GGGTTGTTT	TCCGGGTAC	CCAGAACAAAC
	310	320	330	340	350
	GGATTGAGGA	TTTGCTTATA	TCTCACCAGG	AGAGAATCAA	CTTCTTGTCT
	CCTAACTCCT	AAACGAATAT	AGAGTGGTCC	TCTCTTAGTT	GAAGAACAGA
	360	370	380	390	
	GGGTACCCAC	AAGACATCTT	AAGCTGTGCC	AGGAGCCAGA	ATTC 3'
	CCCATGGGTG	TTCTGTAGAA	TTCGACACGG	TCCTCGGTCT	TAAG 5'

## 2 - Tradução da seqüência:

Ile Gln Ile Val Ile Ser Ser Thr Val Pro Trp Ser Ala Asn Arg \*\*\* Gln Asn Asn Ser Asn Cys Tyr Leu Leu His Cys Ser Leu Glu Cys \*\*\* Gln Val Thr Glu Glu Phe Lys Leu Leu Ser Pro Pro Leu Phe Pro Gly Val Leu Thr Gly Asp Arg

5' GAA TTC AAA TTG TTA TCT CCT CCA CTG TTC CCT GGA GTG CTA ACA GGT GAC AGA  
9 18 27 36 45 54

3' CTT AAG TTT AAC AAT AGA GGA GGT GAC AAG GGA CCT CAC GAT TGT CCA CTG TCT  
Phe Glu Phe Gln \*\*\* Arg Arg Trp Gln Glu Arg Ser His \*\*\* Cys Thr Val Ser Ile \*\*\* Ile Thr Ile Glu Glu Val Thr Gly Gln Leu Ala Leu Leu His Cys Phe Asn Leu Asn Asn Asp Gly Gly Ser Asn Gly Pro Thr Ser Val Pro Ser Leu Ile

Ser Ser Thr Val Ala Phe Thr Ile Cys \*\*\* Val Arg Arg Asn Leu Arg Lys Lys \*\*\* Leu Asn Cys Cys Phe Tyr His Met Leu Ser \*\*\* Glu Lys Ser Gln Lys Lys Ile Ala Gln Leu Leu Leu Pro Tyr Val Lys Leu Gly Glu Ile Ser Glu Lys

ATA GCT CAA CTG TTG CTT TTA CCA TAT GTT AAG TTA GGA GAA ATC TCA GAA AAA  
63 72 81 90 99 108

TAT CGA GTT GAC AAC GAA AAT GGT ATA CAA TTC AAT CCT CTT TAG AGT CTT TTT  
Tyr Ser Leu Gln Gln Lys \*\*\* Trp Ile Asn Leu \*\*\* Ser Phe Asp \*\*\* Phe Phe Leu Glu Val Thr Ala Lys Val Met His \*\*\* Thr Leu Leu Phe Arg Leu Phe Phe Ala \*\*\* Ser Asn Ser Lys Gly Tyr Thr Leu Asn Pro Ser Ile Glu Ser Phe Phe

Gly Tyr Gly Ala Gln Ile Ser Arg Gln Gly Thr Leu Leu Val Asn Gln Ala Leu Arg Ile Trp Ser Thr Asn Gln Ala Arg His Pro Ile Gly Lys Ser Ser Ser Lys Asp Met Glu His Lys Ser Ala Gly Lys Ala Pro Tyr Trp \*\*\* Ile Lys Leu

AAG GAT ATG GAG CAC AAA TCA GCA GGC AAG GCA CCC TAT TGG TAA ATC AAG CTC  
117 126 135 144 153 162

TTC CTA TAC CTC GTG TTT AGT CGT CCG TTC CGT GGG ATA ACC ATT TAG TTC GAG  
Leu Ile His Leu Val Phe \*\*\* Cys Ala Leu Cys Gly Ile Pro Leu Asp Leu Glu Pro Tyr Pro Ala Cys Ile Leu Leu Cys Pro Val Arg Asn Thr Phe \*\*\* Ala Arg Ser Ile Ser Cys Leu Asp Ala Pro Leu Ala Gly \*\*\* Gln Tyr Ile Leu Ser Gln

Thr Ile Val Leu Leu \*\*\* Val Thr Ile Gln Gly Lys Gln Phe Glu Ala Leu Val Asp Asn Ser Pro Ile Val Gly His Tyr Ser Arg Lys Thr Ile \*\*\* Gly Ser Gly \*\*\* Gln \*\*\* Ser Tyr Cys Arg Ser Leu Phe Lys Glu Asn Asn Leu Arg Leu Trp

TGA CAA TAG TCC TAT TGT AGG TCA CTA TTC AAG GAA AAC AAT TTG AGG CTC TGG  
171 180 189 198 207 216

ACT GTT ATC AGG ATA ACA TCC AGT GAT AAG TTC CTT TTG TTA AAC TCC GAG ACC  
Ser Leu Leu Gly Ile Thr Pro \*\*\* \*\*\* Glu Leu Phe Val Ile Gln Pro Glu Pro Val Ile Thr Arg Asn Tyr Thr Val Ile \*\*\* Pro Phe Cys Asn Ser Ala Arg Thr Cys Tyr Asp \*\*\* Gln Leu Asp Ser Asn Leu Ser Phe Leu Lys Leu Ser Gln Asp

Asp Thr Gly Ala Asp Val Ser Ser \*\*\* Leu Leu Ser Thr Ala Gln Lys Leu Thr Arg Tyr Arg Ser Arg Arg Val Ile Ile Ala Phe Ile Asn Gly Pro Lys Thr Asp Ser Ile Gln Glu Gln Thr Cys His His Ser Phe Tyr Gln Arg Pro Lys Asn \*\*\*

TCG ATA CAG GAG CAG ACG TGT CAT CAT AGC TTT TAT CAA CGG CCC AAA AAC TGA  
225 234 243 252 261 270

AGC TAT GTC CTC GTC TGC ACA GTA GTA TCG AAA ATA GTT GCC GGG TTT TTG ACT  
Arg Tyr Leu Leu Leu Arg Thr Met Met Ala Lys Ile Leu Pro Gly Phe Val Ser Ser Val Pro Ala Ser Thr Asp Asp Tyr Ser Lys Asp Val Ala Trp Phe Ser Val Ile Cys Ser Cys Val His \*\*\* \*\*\* Leu Lys \*\*\* \*\*\* Arg Gly Leu Phe Gln Gly

Gln Thr Lys Gly Pro Val Gly Leu Val Gly Ile Glu Asp Leu Leu Ile Ser His  
 Pro Asn Lys Arg Pro Ser Gly Ser Cys Trp Asp \*\*\* Gly Phe Ala Tyr Ile Ser  
 Pro Lys Gln Lys Ala Gln Trp Val Leu Leu Gly Leu Arg Ile Cys Leu Tyr Leu  
 ---  
**CCC AAA CAA AAG GCC CAG TGG GTC TTG TTG GGA TTG AGG ATT TGC TTA TAT CTC**  
     279       288       297       306       315       324  
**GGG TTT GTT TTC CGG GTC ACC CAG AAC CCT AAC TCC TAA ACG AAT ATA GAG**  
 ---  
 Gly Phe Leu Leu Gly Leu Pro Asp Gln Gln Ser Gln Pro Asn Ala \*\*\* Ile Glu  
 Trp Val Phe Pro Gly Thr Pro Arg Thr Pro Ile Ser Ser Lys Ser Ile Asp \*\*\*  
 Leu Cys Phe Ala Trp His Thr Lys Asn Pro Asn Leu Ile Gln Lys Tyr Arg Val  
 ---  
 Gln Glu Arg Ile Asn Phe Leu Ser Gly Tyr Pro Gln Asp Ile Leu Ser Cys Ala  
 Pro Gly Glu Asn Gln Leu Leu Val Trp Val Pro Thr Arg His Leu Lys Leu Cys  
 Thr Arg Arg Glu Ser Thr Ser Cys Leu Gly Thr His Lys Thr Ser \*\*\* Ala Val  
 ---  
**ACC AGG AGA GAA TCA ACT TCT TGT CTG GGT ACC CAC AAG ACA TCT TAA GCT GTG**  
     333       342       351       360       369       378  
**TGG TCC TCT CTT AGT TGA AGA ACA GAC CCA TGG GTG TTC TGT AGA ATT CGA CAC**  
 ---  
 Gly Pro Ser Phe \*\*\* Ser Arg Thr Gln Thr Gly Val Leu Cys Arg Leu Ser His  
 Trp Ser Leu Ile Leu Lys Lys Asp Pro Tyr Gly Cys Ser Met Lys Leu Gln Ala  
 Leu Leu Ser Asp Val Glu Gln Arg Pro Val Trp Leu Val Asp \*\*\* Ala Thr Gly  
 ---  
 Arg Ser Gln Asn  
 Gln Glu Pro Glu Phe  
 Pro Gly Ala Arg Ile  
 ---  
**CCA GGA GCC AGA ATT C 3'**  
     387  
**GGT CCT CGG TCT TAA G 5'**  
 ---  
 Trp Ser Gly Ser Asn  
 Leu Leu Trp Phe Glu  
 Pro Ala Leu Ile

### **3 - Mapa de restrição da seqüência:**

5' GAATTCAAATTGTTATCTCCTCCACTGTTCCCTGGAGTGCTAACAGGTGACAGAAATAGCT  
 ^ \* \* \* \*  
 EcoRI TspEI ApyI MaeIII AluI  
 RsrI BstNI Tsp45I CviJI HphI  
 TspEI EcoRII GsuI  
 MnI MvaI ScrFI  
 SecI  
 70 80 90 100 110 120  
 CAACTGTTGCTTTACCATATGTTAAGTTAGGAGAAATCTCAGAAAAAAAGGATATGGAG  
 ^ ^ NdeI MseI DdeI  
 130 140 150 160 170 180  
 CACAAATCAGCAGGCAAGGCACCCTATTGGTAAATCAAGCTCTGACAATAGTCCTATTGT  
 ^ ^ AocII BanI AluI EcoNI  
 Bsp1286I NlaIV CviJI  
 HgiAI  
 NspII  
 SduI  
 190 200 210 220 230 240  
 AGGTCACTATTCAAGGAAAACAATTGAGGCTCTGGTCGATACAGGAGCAGACGTGTCAT  
 ^ ^ ^ ^ MaeIII MnI CviJI TaqI AfI III  
 Tsp45I TspEI TthHB8I MaeII SstIII  
 250 260 270 280 290 300  
 CATAGCTTTATCAACGGCCAAAAACTGACCCAAACACAAAAGGCCAGTGGTCTTGTGTT  
 ^ ^ ^ ^ ^ ^ AluI AsuI BcefI AsuI Tth111II MnI  
 CviJI Cfr13I CviJI Cfr13I BsrI  
 HaeIII CviJI HaeIII CviJI  
 NspIV Pali NspIV Pali  
 Sau96I Sau96I  
 310 320 330 340 350 360  
 GGATTGAGGATTGCTTATATCTCACCAAGGAGAGAACATCAACTTCTTGTCTGGTACCCAC  
 ^ ^ ^ \* \* \* \* HphI ApyI HinFI Asp718I  
 BstNI EcoRII BstNI BanIKpnI  
 EcoRI MvaI ScrFI NlaIV  
 RsaI  
 370 380 390  
 AAGACATCTTAAGCTGTGCCAGGAGCCAGAACATTCA 3'  
 ^ ^ ^ \* \* \* \* AflII AluI ApyI CviJI  
 MseI CviJI BstNI EcoRI  
 EcoRII NlaIV RsrI  
 MvaI TspEI  
 ScrFI